

การออกแบบระบบแสงที่เหมาะสมสำหรับพีซีสมุนไพรรุ่นโรงเรียน



วิทยานิพนธ์นี้เป็นส่วนหนึ่งของการศึกษาตามหลักสูตรปริญญาสถาปัตยกรรมศาสตรมหาบัณฑิต  
สาขาวิชาสถาปัตยกรรม ภาควิชาสถาปัตยกรรมศาสตร์  
คณะสถาปัตยกรรมศาสตร์ จุฬาลงกรณ์มหาวิทยาลัย  
ปีการศึกษา 2563  
ลิขสิทธิ์ของจุฬาลงกรณ์มหาวิทยาลัย

LIGHTING SYSTEM DESIGN FOR MEDICINAL PLANTS IN GREENHOUSES



Mr. Chullapatch Maikaewthanahwattana

จุฬาลงกรณ์มหาวิทยาลัย  
**CHULALONGKORN UNIVERSITY**

A Thesis Submitted in Partial Fulfillment of the Requirements  
for the Degree of Master of Architecture in Architecture

Department of Architecture

FACULTY OF ARCHITECTURE

Chulalongkorn University

Academic Year 2020

Copyright of Chulalongkorn University

หัวข้อวิทยานิพนธ์	การออกแบบระบบแสงที่เหมาะสมสำหรับพืชสมุนไพรใน โรงเรือน
โดย	นายจุลพัฒน์ ไม้แก้วธวัชณ์
สาขาวิชา	สถาปัตยกรรม
อาจารย์ที่ปรึกษาวิทยานิพนธ์หลัก	รองศาสตราจารย์ ดร.วรสันต์ บุรณากาญจน์

---

คณะสถาปัตยกรรมศาสตร์ จุฬาลงกรณ์มหาวิทยาลัย อนุมัติให้หัวข้อวิทยานิพนธ์ฉบับนี้เป็นส่วน  
หนึ่งของการศึกษาตามหลักสูตรปริญญาสถาปัตยกรรมศาสตรมหาบัณฑิต

.....	คณบดีคณะสถาปัตยกรรมศาสตร์ (รองศาสตราจารย์ ดร.ปิ่นรัชฎ์ กาญจนะจิติ)
คณะกรรมการสอบวิทยานิพนธ์	ประธานกรรมการ (รองศาสตราจารย์ ดร.ฐานิศวร์ เจริญพงศ์)
.....	อาจารย์ที่ปรึกษาวิทยานิพนธ์หลัก (รองศาสตราจารย์ ดร.วรสันต์ บุรณากาญจน์)
.....	กรรมการ (ผู้ช่วยศาสตราจารย์ ดร.เทิดศักดิ์ เตชะกิจขจร)
.....	กรรมการ (อาจารย์ ดร.ภัทร์ สีสัมพรโรจน์)
.....	กรรมการภายนอกมหาวิทยาลัย (รองศาสตราจารย์ ดร.ชวลิต นิตยะ)

จุลพัฒน์ ไม้แก้วธวัชณ์ : การออกแบบระบบแสงที่เหมาะสมสำหรับพืชสมุนไพรใน  
โรงเรือน. ( LIGHTING SYSTEM DESIGN FOR MEDICINAL PLANTS IN  
GREENHOUSES) อ.ที่ปรึกษาหลัก : รศ. ดร.วรสันต์ บุรณากาญจน์

จากการทดสอบหลอดแอลอีดี (LEDs) พบว่า ความยาวคลื่นแสงในช่วง PAR มี ปริมาณโฟตอนแสงสม่ำเสมอน้อยกว่าแสงอาทิตย์, การกระจายแสงเป็นแบบกระจุกเมื่ออยู่ชิดแต่ กระจายเมื่ออยู่ห่าง, และเป็นอุปกรณ์ใช้ไฟฟ้ากระแสสลับ งานวิจัยนี้ทำการศึกษาอิทธิพลของช่วง ความยาวคลื่นแสง, มุมองศาแผ่นสะท้อนแสง, และพลังงานทดแทน ต่อลักษณะการเจริญเติบโต ของพืช เพื่อศึกษาแนวทางการออกแบบระบบแสงที่เหมาะสมสำหรับการปลูกพืช โดยใช้หลอด แอลอีดี R: G: B = 2.04 : 2.12 : 1.00 , R: G: B = 1.47: 1.83: 1.00 และ 2.53: 2.67: 1.00 เปรียบเทียบกับ แสงอาทิตย์ R: G: B = 1.11: 1.20: 1.00 ร่วมกับมุมองศาแผ่นสะท้อนแสงทามุม 60° และ 90° จากระนาบพื้น และระบบโซลาเซลล์กระแสตรงเป็นอุปกรณ์ในการศึกษา โดยศึกษา *Cannabis sativa* L. (กัญชา) เป็นข้อมูลตั้งต้นและเลือก *Tagetes erecta* L. (ดาวเรือง) เป็นพืช ตัวอย่าง ผลการศึกษาพบว่า ช่วงความยาวคลื่นแสงของแสงอาทิตย์ R: G: B = 1.11 : 1.20 : 1.00 ส่งผลให้ดาวเรืองมีการสร้างมวลลำต้นและมวลดอกมากที่สุด, แผ่นสะท้อนแสงทำมุม 60° จาก ระนาบพื้น ส่งผลให้ดาวเรืองมีการสร้างมวลเพิ่มขึ้นทุกส่วน และกัญชามีการสร้างมวลลำต้นและ มวลดอกเพิ่มขึ้น, รวมถึงการใช้ระบบโซลาเซลล์กระแสตรงสำหรับปลูกพืชมีประสิทธิภาพในการ สร้างมวลเฉลี่ย 83% จากไฟฟ้า โดยมีการค้นพบหลักการสำคัญเกี่ยวกับการสะท้อนแสงเข้าสู่ ด้านข้างของต้นพืช เมื่อต้นพืชได้รับแสงบริเวณใต้ใบเพิ่มขึ้น จะไปกระตุ้นรงควัตถุดูดซับแสงในชั้น Spongy mesophyll บริเวณใต้ใบที่มีสัดส่วนค่าการสังเคราะห์เป็น 62% ของการได้รับแสงเหนือ ใบ ส่งผลทำให้ ต้นพืชมีการเจริญเติบโตเพิ่มมากขึ้น

สาขาวิชา สถาปัตยกรรม

ลายมือชื่อนิสิต .....

ปีการศึกษา 2563

ลายมือชื่อ อ.ที่ปรึกษาหลัก .....

# # 6173309825 : MAJOR ARCHITECTURE

KEYWORD: Light Wavelength, Light Reflector, Renewable Energy, Plant Growth,  
Marigold, Marijuana

Chullapatch Maikaewthanahwattana : LIGHTING SYSTEM DESIGN FOR  
MEDICINAL PLANTS IN GREENHOUSES. Advisor: Assoc. Prof. VORASUN  
BURANAKARN, Ph.D.

From the LED lamp testing, the number of photons in PAR was less uniform than sunlight, the distribution of light was centralized when close but exhale when far from the plant area, and required alternating current power. So, this research will study the effect of light wavelength, angle degree of the light reflector, and renewable energy on plant growth characteristics. To study the guidelines for designing a suitable lighting system for growing plants. The LED lamps with different R: G: B ratios, reflectors tilted 60 and 90 degrees tilted from the ground plain, and Photovoltaic Direct current (DC) power are the research instruments. A *Cannabis sativa* L. (Marijuana) growth was studied and a *Tagetes erecta* L. (Marigold) was selected as a sample plant. The results of the study showed that the wavelengths of sunlight R: G: B = 1.11: 1.20: 1.00 resulted in marigolds producing the most shoot and flower mass. The reflector at a 60o tilted resulted in Marigold has increased all mass and Marijuana has increased shoot and flower mass. And the use of DC solar cells has an average efficiency of mass growth of about 83% from AC. The key principles in this research concerning light reflection onto the sides of plants. When the plant gets more light under the leaves. It stimulates the photosynthetic pigment in the spongy mesophyll, resulting in increased plant growth.

Field of Study: Architecture

Student's Signature .....

Academic Year: 2020

Advisor's Signature .....

## กิตติกรรมประกาศ

วิทยานิพนธ์ระดับมหาบัณฑิต สาขาสถาปัตยกรรม คณะสถาปัตยกรรมศาสตร์ จุฬาลงกรณ์มหาวิทยาลัย ได้รับการอนุเคราะห์เข้าใช้สถานที่ดำเนินงานวิจัยและตัวอย่างต้นกัญชาภายใต้การดูแลของ ผู้ช่วยศาสตราจารย์ ดร. ปรีดา นาเทเวศน์ หัวหน้าโครงการวิจัยการศึกษาการตอบสนองต่ออิทธิพลของแสงและการแสดงออกทางพันธุกรรมของสายพันธุ์กัญชา ภายใต้การอนุญาตผลิตซึ่งยาเสพติดให้โทษประเภท 5 ตามหนังสือสำคัญที่ 7/2562 (ปลูก) คณะผลิตกรรมการเกษตร มหาวิทยาลัยแม่โจ้ และขอขอบพระคุณ นายรามิล จิระภิญโญ ผู้ช่วยดำเนินงานวิจัยเกี่ยวกับกัญชา สถานที่ดำเนินงานวิจัยเกี่ยวกับดาวเรืองได้รับการอนุเคราะห์จาก บริษัท มิ่งฟง นิตติ้ง กรุ๊ป 1985 จำกัด ภายใต้การดูแลของ ดร. อภิวิษณุ วรรณะ ผู้ดูแลและสนับสนุนการดำเนินงานวิจัย

ขอขอบพระคุณการสนับสนุนโคมแอลอีดีสีสัดส่วน R: G: B = 2.04: 2.12: 1.00 และอุปกรณ์วัดแสงจาก บริษัท ไลท์ติ้ง แอนด์ อีควิปเมนต์ จำกัด (มหาชน), ขอขอบพระคุณการสนับสนุนแผงโซลาเซลล์ 360 วัตต์ จาก บริษัท กันกุลเอ็นจิเนียริง จำกัด (มหาชน)

ขอขอบพระคุณ รองศาสตราจารย์ ดร. พงศ์เทพ อัครธนกกุล ผู้อำนวยการศูนย์เทคโนโลยีชีวภาพเกษตร มหาวิทยาลัยเกษตรศาสตร์ และ ดร. วินัย อุดขาว ศูนย์เทคโนโลยีชีวภาพเกษตร มหาวิทยาลัยเกษตรศาสตร์ วิทยาเขตกำแพงแสน สำหรับการสนับสนุนข้อมูลและอุปกรณ์วัดปริมาณคลอโรฟิลล์ในใบพืช

ขอขอบพระคุณอาจารย์ที่ปรึกษา รองศาสตราจารย์ ดร. วรสันต์ บุรณากาญจน์ สำหรับการให้คำปรึกษา พัฒนา และแนะนำแนวทางการทำวิทยานิพนธ์ให้สำเร็จลุล่วงไปด้วยดี ขอขอบพระคุณรองศาสตราจารย์ ดร. ฐานิศวร์ เจริญพงศ์ ในฐานะประธานการสอบวิทยานิพนธ์ ผู้ช่วยศาสตราจารย์ ดร. เทิดศักดิ์ เตชะกิจขจร และ อาจารย์ ดร. ภัทร์ สีสัมพรโรจน์ ในฐานะกรรมการสอบวิทยานิพนธ์ รองศาสตราจารย์ ดร. ขวลิต นิตยะ ในฐานะกรรมการสอบวิทยานิพนธ์ภายนอก สำหรับแนวทางการปรับปรุงและการพัฒนาหัวข้อวิจัย

ท้ายที่สุด ขอขอบพระคุณ นาวาโทสมทรง วงษ์พยัคฆ์ (บิดา) และ นาวาโทหญิงธนัญศรณ์ ไม้แก้วธนวัฒน์ (มารดา) สำหรับการสนับสนุนในทุกด้านตลอดการทำวิทยานิพนธ์ และขอขอบพระคุณ นายวาทัญญู อิมอำไภย และ ร้านสวนจิตร สำหรับการให้สัมภาษณ์ข้อมูลเพิ่มเติม

จุลพัฒน์ ไม้แก้วธนวัฒน์

## สารบัญ

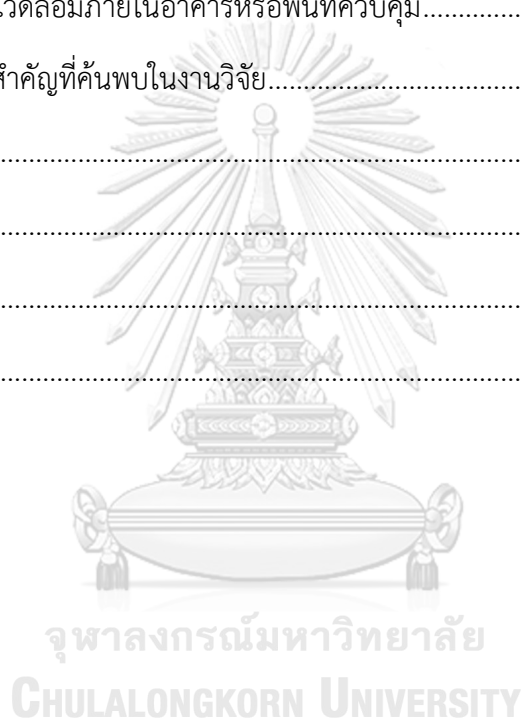
	หน้า
บทคัดย่อภาษาไทย.....	ค
บทคัดย่อภาษาอังกฤษ.....	ง
กิตติกรรมประกาศ.....	จ
สารบัญ.....	ฉ
สารบัญตาราง.....	ญ
สารบัญรูปภาพ.....	ฎ
บทที่ 1 บทนำ.....	1
1.1. ความสำคัญและที่มาของปัญหา.....	1
1.2. วัตถุประสงค์ในงานวิจัย.....	3
1.3. ขอบเขตการดำเนินงานวิจัย.....	3
1.4. นิยามศัพท์เฉพาะ.....	4
1.5. ระเบียบวิธีการดำเนินการวิจัย.....	4
1.6. ขั้นตอนดำเนินงานวิจัย.....	5
1.7. ประโยชน์ที่คาดว่าจะได้รับ.....	5
บทที่ 2 การทบทวนวรรณกรรม.....	6
2.1. การจำแนกกลุ่มวรรณกรรมและงานวิจัยที่เกี่ยวข้อง.....	6
2.2. วรรณกรรมและงานวิจัยเกี่ยวกับตัวแปรอิสระ.....	6
2.2.1. ช่วงความยาวคลื่นแสง.....	6
2.2.2. มุมองศาผ่านสะท้อนแสง.....	10
- การสะท้อนแสง.....	10
- มุมองศาผ่านสะท้อนแสง.....	12

- การตอบสนองของพืชต่อมุมมองศาผ่านสะท้อนแสง .....	13
2.2.3. แหล่งพลังงานไฟฟ้าสำหรับหลอดแอลอีดี .....	15
2.3. วรรณกรรมและงานวิจัยเกี่ยวกับตัวแปรควบคุม .....	17
2.3.1. ปริมาณแสงรวมต่อวัน.....	17
- ความเข้มแสง.....	17
- ความยาวของช่วงที่ได้รับแสง.....	18
- ปริมาณแสงรวมที่พืชได้รับในหนึ่งวัน .....	19
2.3.2. ปัจจัยอื่นที่ส่งผลร่วมกับปัจจัยแสง .....	20
- ปริมาณคาร์บอนไดออกไซด์.....	20
- อุณหภูมิอากาศ.....	21
2.4. วรรณกรรมและงานวิจัยเกี่ยวกับพืชตัวอย่าง .....	24
2.4.1. การเจริญเติบโตของกัญชา.....	24
2.4.2. การเจริญเติบโตของดาวเรือง.....	27
บทที่ 3 ระเบียบวิธีดำเนินงานวิจัย.....	30
3.1. สรุปข้อมูลสำหรับการออกแบบวิธีดำเนินงานวิจัย .....	30
3.1.1. ตัวแปรอิสระ.....	30
3.1.2. ตัวแปรควบคุม.....	30
3.2. การออกแบบวิธีดำเนินงานวิจัย .....	31
3.2.1. การออกแบบกรรมวิธีการวิจัย.....	31
- การออกแบบตัวแปรอิสระในกรรมวิธีการวิจัย.....	31
- การควบคุมตัวแปรอื่นในกรรมวิธีการวิจัย .....	34
3.2.2. แบบการติดตั้งหลอดแอลอีดีและแผ่นสะท้อนแสงในกรรมวิธีการวิจัย .....	37
- แบบการติดตั้งสำหรับดาวเรืองระยะทำใบ-ทำดอก .....	37
- แบบการติดตั้งสำหรับกัญชาระยะทำดอก .....	38



- แบบการติดตั้งสำหรับกัญชาระยะทำใบ .....	40
3.2.2. รายละเอียดอุปกรณ์ที่ใช้ในกรรมวิธีการวิจัย.....	41
- แหล่งกำเนิดแสงในงานวิจัย .....	41
- แผ่นสะท้อนแสง .....	43
- ระบบโซลาเซลล์กระแสตรง .....	45
- พืชตัวอย่างในงานวิจัย .....	46
3.3. การบันทึกผลงานวิจัย.....	47
3.3.1. การเจริญเติบโตด้านการสร้างมวล .....	47
- น้ำหนักแห้ง .....	47
3.3.2. การเจริญเติบโตด้านปริมาณเพื่อเปรียบเทียบการสร้างมวล.....	48
- จำนวนใบ.....	48
- จำนวนดอก.....	48
- ปริมาตรดอก.....	48
- ขนาดทรงพุ่ม .....	48
- ลักษณะต้น .....	49
3.4. วิธีอภิปรายผลงานวิจัย .....	51
บทที่ 4 ผลวิจัยและอภิปรายผล .....	52
4.1. รูปแบบการแสดงผลวิจัยและอภิปรายผล .....	52
4.2. เครื่องมือในการแสดงผลวิจัยและอภิปรายผล.....	52
4.3. ระยะเวลาเจริญเติบโตของพืชที่บันทึกผลวิจัยและอภิปรายผล.....	53
4.4. ผลวิจัยและอภิปรายอิทธิพลของช่วงความยาวคลื่นแสง.....	55
4.5. ผลวิจัยและอภิปรายอิทธิพลของมุมมองฉากแผ่นสะท้อนแสง.....	56
4.6. ผลวิจัยและอภิปรายอิทธิพลของแหล่งพลังงานไฟฟ้าสำหรับหลอดแอลอีดี .....	60
บทที่ 5 สรุปผลวิจัยและข้อเสนอแนะ .....	62

5.1. สิ่งที่ค้นพบในงานวิจัย.....	62
5.1.1. อิทธิพลของช่วงความยาวคลื่นแสง.....	62
5.1.2. อิทธิพลของมุมมองตาแผ่นสะท้อนแสง.....	63
5.1.3. อิทธิพลของแหล่งพลังงานไฟฟ้าสำหรับหลอดแอลอีดี.....	63
5.2. แนวทางการออกแบบระบบแสงที่เหมาะสมสำหรับกัญชาและดาวเรือง.....	64
5.2.1. สภาพแวดล้อมตามธรรมชาติหรือภายนอกอาคาร.....	64
5.2.2. สภาพแวดล้อมภายในอาคารหรือพื้นที่ควบคุม.....	65
5.3. สรุปหลักการสำคัญที่ค้นพบในงานวิจัย.....	65
5.4. ข้อเสนอแนะ.....	67
บรรณานุกรม.....	68
ภาคผนวก.....	71
ประวัติผู้เขียน.....	95



## สารบัญตาราง

	หน้า
ตารางที่ 1 ตัวอย่างค่าการสะท้อนแสงของวัสดุ (Stein et al., 1986).....	11
ตารางที่ 2 ผลการทดสอบนำร่ององศาการเอียงแผ่นสะท้อนแสง.....	13
ตารางที่ 3 สัดส่วนค่าการสังเคราะห์ในกรณีได้รับแสงเหนือใบและใต้ใบ.....	15
ตารางที่ 4 การเจริญเติบโตของดาวเรืองภายใต้อิทธิพลช่วงความยาวคลื่นแสง.....	55
ตารางที่ 5 การเจริญเติบโตของดาวเรืองภายใต้อิทธิพลมุมองศาแผ่นสะท้อนแสง.....	56
ตารางที่ 6 การเจริญเติบโตของดาวเรืองภายใต้อิทธิพลมุมองศาแผ่นสะท้อนแสง (ต่อ).....	57
ตารางที่ 7 การเจริญเติบโตของกัญชภายใต้อิทธิพลมุมองศาแผ่นสะท้อนแสง.....	58
ตารางที่ 8 การเจริญเติบโตของดาวเรืองภายใต้อิทธิพลแหล่งพลังงานไฟฟ้า.....	60
ตารางที่ 9 การเจริญเติบโตของดาวเรืองภายใต้อิทธิพลแหล่งพลังงานไฟฟ้า (ต่อ).....	61

## สารบัญรูปภาพ

	หน้า
ภาพที่ 1 ขั้นตอนดำเนินงานวิจัย .....	5
ภาพที่ 2 Photosynthetic Pigment ในช่วง PAR (Warren, 2011).....	9
ภาพที่ 3 ช่วงความยาวคลื่นแสงของแสงอาทิตย์, หลอดแอลอีดีชนิด Full spectrum .....	9
ภาพที่ 4 ช่วงความยาวคลื่นแสงของหลอดโซเดียมความดันสูง, หลอดเมทัลฮาไลด์.....	9
ภาพที่ 5 ประเภทการสะท้อนแสง Specular Reflection, Diffuse Reflection .....	11
ภาพที่ 6 กรรมวิธีการทดสอบนำร่ององศาการเอียงแผ่นสะท้อนแสง .....	12
ภาพที่ 7 รูปตัดขวางใบพืช (เนชั่นแนล จีโอกราฟฟิก, 2018).....	14
ภาพที่ 8 การวัดค่าการสังเคราะห์เนื้อใบและใต้ใบกัญชา .....	14
ภาพที่ 9 การติดตั้งระบบโซลาร์เซลล์กระแสตรง (Direct current : DC).....	16
ภาพที่ 10 กราฟ Light Saturation Point (Smullen, 2015) .....	18
ภาพที่ 11 กราฟ CO <sub>2</sub> Saturation Point (Smullen, 2015) .....	22
ภาพที่ 12 กราฟแสดงผลการทดสอบอัตราการสังเคราะห์แสงของปีโกเนีย 1 .....	22
ภาพที่ 13 กราฟ Optimum Temperature (Smullen, 2015) .....	23
ภาพที่ 14 กราฟแสดงผลการทดสอบอัตราการสังเคราะห์แสงของปีโกเนีย 2 .....	23
ภาพที่ 15 อุปกรณ์วัดค่าการสังเคราะห์แสงที่ใบกัญชา .....	25
ภาพที่ 16 วิธีการวัดค่าการสังเคราะห์แสงที่ใบกัญชา.....	25
ภาพที่ 17 แผนภูมิแสดงค่าการสังเคราะห์แสงที่ใบกัญชา .....	26
ภาพที่ 18 ผลการทดลองปลูกดาวเรืองของ Pan American Seed .....	28
ภาพที่ 19 ผลการทดลองปลูกดาวเรืองของ Owen และ Lopez.....	29
ภาพที่ 20 ผังการออกแบบตัวแปรอิสระในงานวิจัย .....	32
ภาพที่ 21 ตัวแปรอิสระในกรรมวิธีการวิจัยที่ 1 .....	33
ภาพที่ 22 ตัวแปรอิสระในกรรมวิธีการวิจัยที่ 2, 3 และ 4 ตามลำดับ.....	33
ภาพที่ 23 กรรมวิธีการวิจัยการปลูกดาวเรือง .....	35
ภาพที่ 24 กรรมวิธีการวิจัยการปลูกกัญชา .....	36
ภาพที่ 25 แบบการติดตั้งหลอดแอลอีดีและแผ่นสะท้อนแสง 1 .....	37
ภาพที่ 26 แบบการติดตั้งหลอดแอลอีดีและแผ่นสะท้อนแสง 2.....	38
ภาพที่ 27 แบบการติดตั้งหลอดแอลอีดีและแผ่นสะท้อนแสง 3 .....	39

ภาพที่ 28	แบบการติดตั้งหลอดแอลอีดีและแผ่นสะท้อนแสง 4 .....	40
ภาพที่ 29	แบบการติดตั้งหลอดแอลอีดีและแผ่นสะท้อนแสง 4 (ต่อ).....	41
ภาพที่ 30	หลอดแอลอีดี 36W 12-85V,และ หลอดแอลอีดี 240W 220-240V.....	42
ภาพที่ 31	การวัดค่าแสงด้วย Spectrometer .....	42
ภาพที่ 32	สเปกตรัมแสงของแสงอาทิตย์และหลอดแอลอีดี.....	42
ภาพที่ 33	วิธีวัดปริมาณการสะท้อนแสงเข้าด้านข้างต้นพืช .....	44
ภาพที่ 34	วิธีวัดปริมาณการสะท้อนแสงบริเวณเหนือใบพืช.....	45
ภาพที่ 35	การติดตั้งแผงโซลาเซลล์ .....	45
ภาพที่ 36	การเตรียมตัวอย่างกัญชา.....	46
ภาพที่ 37	การเตรียมตัวอย่างดาวเรือง.....	47
ภาพที่ 38	การทำแห้ง .....	49
ภาพที่ 39	การบันทึกน้ำหนักแห้ง.....	49
ภาพที่ 40	การบันทึกดอกเดี่ยว, ดอกคู่, และช่อดอกกัญชา .....	50
ภาพที่ 41	การบันทึกจำนวนตุ่มดอก, ดอกตูม, ดอกแย้ม และดอกบานดาวเรือง .....	50
ภาพที่ 42	การบันทึกปริมาตรดอกบาน .....	50
ภาพที่ 43	การบันทึกขนาดทรงพุ่ม.....	50
ภาพที่ 44	ต้นดาวเรืองระยะทำใบและทำดอก.....	54
ภาพที่ 45	ต้นกัญชาระยะทำใบและทำดอก.....	54
ภาพที่ 46	หลักการสำคัญที่ค้นพบในงานวิจัย.....	66
ภาพที่ 47	เอกสารได้รับความอนุเคราะห์เข้าใช้พื้นที่ปฏิบัติการและตัวอย่างต้นกัญชา.....	71
ภาพที่ 48	แผนภูมิแสดงจำนวนใบ ระยะทำใบและระยะทำดอก (กัญชา).....	72
ภาพที่ 49	แผนภูมิแสดงจำนวนดอกเดี่ยวและดอกคู่ ระยะทำดอก (กัญชา).....	72
ภาพที่ 50	แผนภูมิแสดงจำนวนช่อดอกและดอกรวมทั้งต้น ระยะทำดอก (กัญชา).....	73
ภาพที่ 51	แผนภูมิแสดงความสูงต้น ระยะทำใบและระยะทำดอก (กัญชา) .....	73
ภาพที่ 52	แผนภูมิแสดงความกว้างพุ่ม ระยะทำใบและระยะทำดอก (กัญชา) .....	74
ภาพที่ 53	แผนภูมิแสดงความยาวพุ่ม ระยะทำใบและระยะทำดอก (กัญชา) .....	74
ภาพที่ 54	แผนภูมิแสดงเส้นผ่านศูนย์กลางฐานต้น ระยะทำใบและระยะทำดอก (กัญชา) .....	75
ภาพที่ 55	แผนภูมิแสดงเส้นผ่านศูนย์กลางกลางต้น ระยะทำใบและระยะทำดอก (กัญชา).....	75
ภาพที่ 56	แผนภูมิแสดงการแตกกิ่ง ระยะทำใบและระยะทำดอก (กัญชา).....	76
ภาพที่ 57	แผนภูมิแสดงปริมาตรดอกฐานพุ่มและกลางพุ่ม ระยะทำดอก (กัญชา).....	76
ภาพที่ 58	แผนภูมิแสดงปริมาตรดอกเรื้อนยอด ระยะทำดอก (กัญชา).....	77

ภาพที่ 59	แผนภูมิแสดงจำนวนใบรวมทั้งต้น ระยะเวลาใบ (ดาวเรือง)	78
ภาพที่ 60	แผนภูมิแสดงจำนวนใบรวมทั้งต้น ระยะเวลาดอก (ดาวเรือง)	78
ภาพที่ 61	แผนภูมิแสดงจำนวนตุ่มดอก ระยะเวลาใบ (ดาวเรือง)	79
ภาพที่ 62	แผนภูมิแสดงจำนวนตุ่มดอก ระยะเวลาดอก (ดาวเรือง)	79
ภาพที่ 63	แผนภูมิแสดงจำนวนดอกตูม ระยะเวลาใบ (ดาวเรือง)	80
ภาพที่ 64	แผนภูมิแสดงจำนวนดอกตูม ระยะเวลาดอก (ดาวเรือง)	80
ภาพที่ 65	แผนภูมิแสดงจำนวนดอกแย้ม ระยะเวลาดอก (ดาวเรือง)	81
ภาพที่ 66	แผนภูมิแสดงจำนวนดอกบาน ระยะเวลาดอก (ดาวเรือง)	81
ภาพที่ 67	แผนภูมิแสดงจำนวนดอกรวมทั้งต้น ระยะเวลาใบ (ดาวเรือง)	82
ภาพที่ 68	แผนภูมิแสดงจำนวนดอกรวมทั้งต้น ระยะเวลาดอก (ดาวเรือง)	82
ภาพที่ 69	แผนภูมิแสดงน้ำหนักแห้งราก ระยะเวลาใบ (ดาวเรือง)	83
ภาพที่ 70	แผนภูมิแสดงน้ำหนักแห้งราก ระยะเวลาดอก (ดาวเรือง)	83
ภาพที่ 71	แผนภูมิแสดงน้ำหนักแห้งลำต้น ระยะเวลาใบ (ดาวเรือง)	84
ภาพที่ 72	แผนภูมิแสดงน้ำหนักแห้งลำต้น ระยะเวลาดอก (ดาวเรือง)	84
ภาพที่ 73	แผนภูมิแสดงน้ำหนักแห้งใบ ระยะเวลาใบ (ดาวเรือง)	85
ภาพที่ 74	แผนภูมิแสดงน้ำหนักแห้งใบ ระยะเวลาดอก (ดาวเรือง)	85
ภาพที่ 75	แผนภูมิแสดงน้ำหนักแห้งดอก ระยะเวลาใบ (ดาวเรือง)	86
ภาพที่ 76	แผนภูมิแสดงน้ำหนักแห้งดอก ระยะเวลาดอก (ดาวเรือง)	86
ภาพที่ 77	แผนภูมิแสดงน้ำหนักแห้งรวมทั้งต้น ระยะเวลาใบ (ดาวเรือง)	87
ภาพที่ 78	แผนภูมิแสดงน้ำหนักแห้งรวมทั้งต้น ระยะเวลาดอก (ดาวเรือง)	87
ภาพที่ 79	แผนภูมิแสดงความสูงต้น ระยะเวลาใบ (ดาวเรือง)	88
ภาพที่ 80	แผนภูมิแสดงความสูงต้น ระยะเวลาดอก (ดาวเรือง)	88
ภาพที่ 81	แผนภูมิแสดงความกว้างพุ่ม ระยะเวลาใบ (ดาวเรือง)	89
ภาพที่ 82	แผนภูมิแสดงความกว้างพุ่ม ระยะเวลาดอก (ดาวเรือง)	89
ภาพที่ 83	แผนภูมิแสดงความยาวพุ่ม ระยะเวลาใบ (ดาวเรือง)	90
ภาพที่ 84	แผนภูมิแสดงความยาวพุ่ม ระยะเวลาดอก (ดาวเรือง)	90
ภาพที่ 85	แผนภูมิแสดงเส้นผ่านศูนย์กลางฐานต้น ระยะเวลาใบ (ดาวเรือง)	91
ภาพที่ 86	แผนภูมิแสดงเส้นผ่านศูนย์กลางฐานต้น ระยะเวลาดอก (ดาวเรือง)	91
ภาพที่ 87	แผนภูมิแสดงเส้นผ่านศูนย์กลางกลางต้น ระยะเวลาใบ (ดาวเรือง)	92
ภาพที่ 88	แผนภูมิแสดงเส้นผ่านศูนย์กลางกลางต้น ระยะเวลาดอก (ดาวเรือง)	92
ภาพที่ 89	แผนภูมิแสดงจำนวนการแตกกิ่ง ระยะเวลาใบ (ดาวเรือง)	93

ภาพที่ 90 แผนภูมิแสดงจำนวนการแตกกิ่ง ระยะทำดอก (ดาวเรือง).....	93
ภาพที่ 91 แผนภูมิแสดงปริมาตรดอกบานรวมทั้งต้น ระยะทำดอก (ดาวเรือง).....	94



# บทที่ 1

## บทนำ

### 1.1. ความสำคัญและที่มาของปัญหา

ตั้งแต่อดีตจนถึงปัจจุบัน ปัจจัยพื้นฐานในการดำรงชีวิตของมนุษย์ล้วนมีความเกี่ยวข้องกับการใช้ประโยชน์จากพืชอยู่เสมอ ทั้งการปลูกพืชเพื่อเป็นอาหาร การใช้พืชเป็นวัสดุก่อสร้างที่อยู่อาศัย การใช้เส้นใยจากพืชถักทอเป็นเครื่องนุ่มห่ม และการนำส่วนประกอบของพืชเข้าตำรับยารักษาโรค ผลผลิตที่ได้จากการปลูกพืชจึงถือเป็นทรัพยากรที่มีความสำคัญ และการศึกษาเทคโนโลยีเกี่ยวกับการปลูกพืชจึงถือเป็นรากฐานสำคัญต่อการดำรงชีวิตของมนุษย์

เทคโนโลยีโรงงานผลิตพืช (Plant Factory) เป็นการนำองค์ความรู้ทางด้านเกษตรกรรม, วิศวกรรม, สถาปัตยกรรม, และ วิทยาศาสตร์ มาประยุกต์ใช้ในการควบคุมสภาพแวดล้อมให้มีความเหมาะสมต่อการเจริญเติบโตของพืช ภายในพื้นที่ที่เป็นระบบปิดหรือกึ่งเปิดกึ่งปิด ตัวอย่างเช่น การปลูกพืชภายในโรงเรือนปรับอากาศ หรือ การปลูกพืชภายในห้องควบคุมแสง เป็นต้น การควบคุมปัจจัยเกี่ยวกับสภาพแวดล้อมในโรงงานผลิตพืช จะต้องทำการควบคุมปัจจัยเสมือนการปลูกพืชตามธรรมชาติ ประกอบด้วย ปัจจัยแสง, ปริมาณคาร์บอนไดออกไซด์, อุณหภูมิอากาศ, และ ความชื้นสัมพัทธ์ในอากาศ โดยมีปัจจัยแสงเป็นตัวแปรสำคัญในการกระตุ้นกระบวนการสังเคราะห์แสง (Photosynthesis) อันเป็นจุดเริ่มต้นของการสร้างอาหารและการเจริญเติบโตของพืช

การควบคุมปัจจัยแสงในโรงงานผลิตพืช เกี่ยวข้องกับการใช้แสงประดิษฐ์จากหลอดไฟ (Artificial Light) เป็นแหล่งกำเนิดแสงสำหรับการปลูกพืช ทดแทนแสงอาทิตย์จากธรรมชาติ (Sunlight) จุดประสงค์เพื่อแก้ไขข้อจำกัดทางสภาพแวดล้อมที่ส่งผลเสียต่อคุณลักษณะของแสงอาทิตย์ในบริเวณพื้นที่ปลูก และเพื่อเพิ่มอัตราการเจริญเติบโตของพืชด้วยการออกแบบระบบแสงที่มีความเหมาะสมมากยิ่งขึ้น การใช้แสงประดิษฐ์ทดแทนแสงอาทิตย์ดังกล่าว จะต้องคำนึงถึงองค์ประกอบของแสงที่เกี่ยวข้องกับการเจริญเติบโตของพืช ประกอบด้วย 1) ช่วงความยาวคลื่นแสง (Light Wavelength), 2) ความเข้มแสง (Light Intensity), และ 3) ความยาวของช่วงที่ได้รับแสง (Light Duration) ที่ส่งผลโดยตรงต่ออัตราการสังเคราะห์แสงของพืช (Rate of photosynthesis) จากการศึกษางานวิจัยพบว่า เทคโนโลยี Light Emitting Diodes (LEDs) หรือหลอดแอลอีดี เป็นอุปกรณ์กำเนิดแสงประดิษฐ์ที่มีคุณสมบัติเหมาะสมในการนำมาใช้เป็นแหล่งกำเนิดแสงสำหรับการ



ปลูกพืชมากที่สุด เนื่องจากมีความยืดหยุ่นในการกำหนดช่วงความยาวคลื่นแสงมากที่สุด (Gupta and Agarwal, 2017), มีความเข้มแสงต่อหน่วยการบริโภคพลังงานไฟฟ้ามากที่สุด (Watts per  $\mu\text{mol}/\text{m}^2/\text{s}$ ), และมีค่าสัมประสิทธิ์การแปลงหน่วยพลังงานแสงใกล้เคียงกับแสงอาทิตย์มากที่สุด (Lux to  $\mu\text{mol}/\text{m}^2/\text{s}$ ) เมื่อเปรียบเทียบกับอุปกรณ์กำเนิดแสงประดิษฐ์ชนิดอื่น ๆ ประกอบด้วย หลอดฟลูออเรสเซนต์, หลอดเมทัลฮาไลด์, และ หลอดโซเดียมความดันสูง (กรวิทย์ กระจ่างพันธ์, ธิระวรรณ สืบธนวงษ์ และ สุขสันต์ หวังสถิตย์, 2561)

จากการทดสอบคุณสมบัติของแสงจากหลอดแอลอีดีเปรียบเทียบกับแสงอาทิตย์ พบข้อจำกัดของการนำหลอดแอลอีดีมาใช้เป็นแหล่งกำเนิดแสงทดแทนแสงอาทิตย์ 3 ประการ ได้แก่ 1) ช่วงความยาวคลื่นแสงจากหลอดแอลอีดีมีส่วนโฟตอนแสงสม่ำเสมอน้อยกว่าแสงอาทิตย์ ส่งผลทำให้พืชอาจดูดซับโฟตอนแสงมาใช้ในกระบวนการสังเคราะห์แสงได้เพิ่มขึ้นหรือลดลง, 2) ลักษณะการกระจายโฟตอนแสงของหลอดแอลอีดี มีลักษณะกระจุกตัวเมื่ออยู่ชิดพื้นที่ปลูก แต่กระจายเมื่ออยู่ห่างพื้นที่ปลูก ส่งผลทำให้อาจมีโฟตอนแสงที่ผลิตได้จากหลอดแอลอีดีสูญหายไปโดยไม่เกิดประโยชน์, และ 3) หลอดแอลอีดีเป็นอุปกรณ์ไฟฟ้า การใช้หลอดแอลอีดีเป็นแหล่งกำเนิดแสงสำหรับการปลูกพืชจึงมีต้นทุนทางด้านการบริโภคพลังงานสูง

จากข้อจำกัดของหลอดแอลอีดี นำไปสู่ที่มาและความสำคัญของการศึกษา 1) ผลของช่วงความยาวคลื่นแสงที่มีสัดส่วนโฟตอนแสงแตกต่างกัน, 2) ผลของการออกแบบมุมองศาแผ่นสะท้อนแสงเพื่อลดการสูญเสียโฟตอนแสงจากหลอดแอลอีดี, และ 3) ผลของการนำพลังงานทดแทนมาใช้เป็นแหล่งพลังงานไฟฟ้าสำหรับหลอดแอลอีดีเพื่อลดต้นทุนทางด้านพลังงาน ที่มีต่อลักษณะการเจริญเติบโตของพืชในด้านต่าง ๆ เพื่อนำข้อมูลที่ได้จากการศึกษาไปเป็นแนวทางในการออกแบบระบบแสงที่เหมาะสมสำหรับการเจริญเติบโตของพืช โดยเลือกศึกษาผลการเจริญเติบโตของ *Cannabis sativa* L. (กัญชา) เป็นข้อมูลตั้งต้น และเลือก *Tagetes erecta* L. (ดาวเรือง) เป็นพืชตัวอย่างในงานวิจัย เนื่องจากในปัจจุบันมีการนำส่วนประกอบของพืชทั้งสองมาใช้ประโยชน์อย่างแพร่หลาย ทั้งในส่วนราก ลำต้น ใบ และ ดอก ประกอบกับพืชทั้งสองเป็นพืชกลางแจ้ง เหมาะสำหรับการปลูกภายใต้ความเข้มแสงสูง จึงสามารถนำผลการเจริญเติบโตมาวิเคราะห์เปรียบเทียบได้

## 1.2. วัตถุประสงค์ในงานวิจัย

- 1.2.1. เพื่อศึกษาอิทธิพลของช่วงความยาวคลื่นแสงต่อลักษณะการเจริญเติบโตของพืช
- 1.2.2. เพื่อศึกษาอิทธิพลของมุมมองสามเหลี่ยมสะท้อนแสงต่อลักษณะการเจริญเติบโตของพืช
- 1.2.3. เพื่อศึกษาอิทธิพลของแหล่งพลังงานไฟฟ้าสำหรับหลอดแอลอีดีต่อลักษณะการเจริญเติบโตของพืช

## 1.3. ขอบเขตการดำเนินงานวิจัย

งานวิจัยชิ้นนี้มุ่งเน้นศึกษาเกี่ยวกับการนำหลอดแอลอีดีมาใช้เป็นแหล่งกำเนิดแสงสำหรับการปลูกพืช โดยมีวัตถุประสงค์เพื่อศึกษาอิทธิพลของช่วงความยาวคลื่นแสง, อิทธิพลของมุมมองสามเหลี่ยมสะท้อนแสง, และ อิทธิพลของแหล่งพลังงานทดแทนสำหรับหลอดแอลอีดี ที่มีต่อลักษณะการเจริญเติบโตของพืช จึงกำหนดขอบเขตการดำเนินงานวิจัยดังหัวข้อต่อไปนี้

- 1.3.1. กำหนดให้ ช่วงความยาวคลื่นแสง เป็นตัวแปรอิสระในงานวิจัย โดยทำการศึกษาเฉพาะช่วงความยาวคลื่นแสงจากหลอดแอลอีดีและแสงอาทิตย์เท่านั้น
- 1.3.2. กำหนดให้ มุมมองสามเหลี่ยมสะท้อนแสง เป็นตัวแปรอิสระในงานวิจัย โดยทำการประดิษฐ์แผ่นสะท้อนแสงศึกษาร่วมกับหลอดแอลอีดีเท่านั้น
- 1.3.3. กำหนดให้ แหล่งพลังงานไฟฟ้าสำหรับหลอดแอลอีดี เป็นตัวแปรอิสระในงานวิจัย โดยทำการศึกษาร่วมกับหลอดแอลอีดีเท่านั้น
- 1.3.4. กำหนดให้ สภาพแวดล้อมและองค์ประกอบของแสงที่เกี่ยวข้องกับการเจริญเติบโตของพืช เป็นตัวแปรควบคุมในงานวิจัย ประกอบด้วย ปริมาณแสงรวมต่อวัน (ความเข้มแสง  $\times$  ความยาวของช่วงที่ได้รับแสง), ปัจจัยอื่นที่ส่งผลร่วมกับปัจจัยแสง (ปริมาณคาร์บอนไดออกไซด์ และ อุณหภูมิอากาศ)
- 1.3.5. กำหนดให้ พืชในงานวิจัยหมายถึง กัญชาและดาวเรือง โดยทำการบันทึกข้อมูลการเจริญเติบโต ประกอบด้วย จำนวนใบ, จำนวนดอก, น้ำหนักแห้ง, ความสูงต้น, ทรงพุ่ม, เส้นผ่านศูนย์กลางลำต้น, การแตกกิ่ง-แตกยอด, ปริมาตรดอกบาน, และปริมาณคลอโรฟิลล์ที่ใบพืช

#### 1.4. นิยามศัพท์เฉพาะ

*โฟตอนแสง* หมายถึง อนุภาคของแสง

*ความเข้มแสง* หมายถึง ความหนาแน่นของปริมาณโฟตอนแสงที่พืชได้รับสำหรับการสังเคราะห์แสง (Photosynthetic photon flux density : PPFD) มีหน่วยเป็นไมโครโมลต่อตารางเมตรต่อ วินาที ( $\mu\text{mol}/\text{m}^2/\text{s}$ )

*ช่วงความยาวคลื่นแสง* หมายถึง แสงที่ประกอบไปด้วยโฟตอนแสงในช่วงความยาวคลื่น 400–700 นาโนเมตร (PAR) สำหรับการปลูกพืช นิยมอธิบายช่วงความยาวคลื่นแสงด้วยการจำแนกสัดส่วนปริมาณโฟตอนแสงในรูปแบบ PPFD-R (600-700 nm): PPFD-G (500-600 nm): PPFD-B (400-500) หรือ สัดส่วนแสงสีแดงต่อแสงสีเขียวต่อแสงสีน้ำเงิน (R: G: B) มีหน่วยเป็น  $\mu\text{mol}/\text{m}^2/\text{s}$

*ความยาวของช่วงที่ได้รับแสง* หมายถึง ระยะเวลาที่พืชได้รับแสงใน 24 ชั่วโมง หรือ หนึ่งวัน มีหน่วยเป็น ชั่วโมง/วัน

#### 1.5. ระเบียบวิธีการดำเนินการวิจัย

- 1.5.1. ทบทวนวรรณกรรมและงานวิจัยเกี่ยวข้อง เรื่องแสงสำหรับการเจริญเติบโตของพืช, หลักการสะท้อนแสง, พลังงานไฟฟ้าระบบโซลาร์เซลล์กระแสตรง, และการเจริญเติบโตของพืช
- 1.5.2. กำหนดขอบเขตและเครื่องมือที่ใช้ในงานวิจัย
- 1.5.3. กำหนดวิธีการบันทึกผลและอภิปรายผลการทดลอง
- 1.5.4. กำหนดวิธีการสรุปผลการทดลอง

## 1.6. ขั้นตอนดำเนินงานวิจัย

### ข้อมูลจากการทบทวนวรรณกรรมและงานวิจัยที่เกี่ยวข้อง

ศึกษาอิทธิพลของแสงที่มีต่อการเจริญเติบโตของพืช และศึกษาปัจจัยที่เกี่ยวข้องกับการปรับแต่งคุณลักษณะของแสงที่ได้จากหลอดแอลอีดี รวมถึงการใช้พลังงานทดแทน



### กำหนดขอบเขตของงานวิจัยและเครื่องมือที่ใช้ในงานวิจัย

ออกแบบกรรมวิธีการทดลองที่ใช้ในงานวิจัยให้สอดคล้องกับวัตถุประสงค์ของงานวิจัย



### บันทึกผลและอภิปรายผลการทดลอง

บันทึกผลการทดลองจากกรรมวิธีการทดลองแบบต่าง ๆ และนำมาวิเคราะห์เปรียบเทียบลักษณะ, แนวโน้ม และข้อสังเกตเฉพาะของผลการทดลองตามวัตถุประสงค์ของงานวิจัย



### สรุปผลการทดลอง

รายงานสิ่งที่ค้นพบในงานวิจัย พร้อมให้ข้อเสนอแนะแนวทางการนำผลการทดลองไปทำการศึกษาต่อยอด

CHULALONGKORN UNIVERSITY

ภาพที่ 1 ขั้นตอนดำเนินงานวิจัย

## 1.7. ประโยชน์ที่คาดว่าจะได้รับ

- 1.7.1. เพื่อทราบแนวทางการเลือกใช้ช่วงความยาวคลื่นแสงที่เหมาะสมต่อลักษณะการเจริญเติบโตของพืชที่ต้องการ
- 1.7.2. เพื่อทราบแนวทางการออกแบบมุมมองเสาแผ่นสะท้อนแสงที่เหมาะสมต่อลักษณะการเจริญเติบโตของพืชที่ต้องการ
- 1.7.3. เพื่อทราบแนวทางการเลือกใช้แหล่งพลังงานไฟฟ้าสำหรับหลอดแอลอีดี

## บทที่ 2

### การทบทวนวรรณกรรม

#### 2.1. การจำแนกกลุ่มวรรณกรรมและงานวิจัยที่เกี่ยวข้อง

จากวัตถุประสงค์ในงานวิจัยและการกำหนดขอบเขตการดำเนินงานวิจัย สามารถจำแนกการทบทวนวรรณกรรมและงานวิจัยที่เกี่ยวข้องเป็น 3 กลุ่ม ประกอบด้วย

กลุ่มที่ 1 วรรณกรรมและงานวิจัยเกี่ยวกับตัวแปรอิสระ ประกอบด้วย ช่วงความยาวคลื่นแสง, มุมองศาแผ่นสะท้อนแสง, และ แหล่งพลังงานไฟฟ้าสำหรับหลอดแอลอีดี

กลุ่มที่ 2 วรรณกรรมและงานวิจัยเกี่ยวกับตัวแปรควบคุม ประกอบด้วย ปริมาณแสงรวมต่อวัน (ความเข้มแสง x ความยาวของช่วงที่ได้รับแสง) และ ปัจจัยอื่นที่ส่งผลร่วมกับปัจจัยแสง (ปริมาณคาร์บอนไดออกไซด์ และ อุณหภูมิอากาศ)

กลุ่มที่ 3 วรรณกรรมและงานวิจัยเกี่ยวกับพืชตัวอย่าง ประกอบด้วย การเจริญเติบโตของกัญชา และ การเจริญเติบโตของดาวเรือง

#### 2.2. วรรณกรรมและงานวิจัยเกี่ยวกับตัวแปรอิสระ

ทำการทบทวนวรรณกรรมและงานวิจัยเกี่ยวกับ ช่วงความยาวคลื่นแสง, มุมองศาแผ่นสะท้อนแสง, และ แหล่งพลังงานไฟฟ้าสำหรับหลอดแอลอีดี โดยมีรายละเอียดดังต่อไปนี้

##### 2.2.1. ช่วงความยาวคลื่นแสง

ในเซลล์ของใบพืช ประกอบด้วยรงควัตถุดูดซับแสงหลากหลายชนิด (Photosynthetic Pigments) ทำหน้าที่ดูดซับโฟตอนแสงในช่วงความยาวคลื่นแสง 400-700 นาโนเมตร เรียกว่าช่วง Photosynthetically Active Radiation หรือ PAR (นักรังสีวิทยาและ ไชยยันต์ บุญมี, 2560) โดยมีคลอโรฟิลล์ เอ (Chlorophylls a) เป็น Primary Pigment ทำหน้าที่สังเคราะห์แสงโดยตรง และมีรงควัตถุชนิดอื่นทำหน้าที่ดูดซับโฟตอนแสงในช่วงอื่นที่คลอโรฟิลล์ เอ ไม่สามารถดูดซับได้ แล้วจึงส่งต่อให้คลอโรฟิลล์ เอ เรียกว่า Accessory Pigment จากพฤติกรรมการดูดซับโฟตอนแสงของรงควัตถุดูดซับแสงดังกล่าว ส่งผลทำให้พืชสามารถตอบสนองต่อช่วงความยาวคลื่นแสงจากแหล่งกำเนิดแสงต่างชนิดกัน ได้แตกต่างกัน (दनัย บุญยเกียรติ, ม.ป.ป.) (ภาพที่ 3)

จากการศึกษาสัดส่วนปริมาณโฟตอนแสงของแหล่งกำเนิดแสงชนิดต่าง ๆ พบว่า แสงอาทิตย์จากธรรมชาติ (Sunlight) มีลักษณะแสงแบบ Full spectrum กล่าวคือ มีปริมาณโฟตอนแสงครบทุกช่วงความยาวคลื่นแสง 400-700 นาโนเมตร (PAR) และมีสัดส่วนปริมาณโฟตอนแสงสม่ำเสมอมากที่สุด ในขณะที่หลอดแอลอีดี (LEDs) ที่มีความเหมาะสมในการนำมาใช้เป็นแหล่งกำเนิดแสงทดแทนแสงอาทิตย์มากที่สุด มีความสม่ำเสมอของปริมาณโฟตอนแสงน้อยกว่าแสงอาทิตย์ แต่มีความยืดหยุ่นในการนำมาใช้เนื่องจากมีลักษณะแสงทั้งแบบ Full spectrum เหมือนแสงอาทิตย์ และแบบ Narrow band ที่มีโฟตอนแสงเฉพาะช่วงใดช่วงหนึ่ง เหมาะสำหรับนำมาใช้ผสมแสงในการออกแบบ (ภาพที่ 4-5)

จากการศึกษาตัวอย่างงานวิจัยเกี่ยวกับการปลูกพืชด้วยแหล่งกำเนิดแสง ที่มีสัดส่วนปริมาณโฟตอนแสงแตกต่างกัน พบว่า ในการทดลองปลูกเบญจมาศของ Kim et al. (2004) การกำหนดให้ช่วงความยาวคลื่นแสงในกรรมวิธีการทดลอง มีสัดส่วนปริมาณโฟตอนแสงแตกต่างกัน ประกอบด้วย หลอดฟลูออเรสเซนต์, หลอดแอลอีดีสีน้ำเงิน, หลอดแอลอีดีสีแดง, หลอดแอลอีดีสีแดงและสีน้ำเงิน, หลอดแอลอีดีสีแดงและสีแดงไกล, และ หลอดแอลอีดีสีน้ำเงินและสีแดงไกล ส่งผลทำให้ อัตราการสังเคราะห์แสง, น้ำหนักสด-น้ำหนักแห้ง และ ขนาดของใบ, ความยาวก้านดอก, และ ลำต้นของเบญจมาศ สามารถเจริญเติบโตได้ดีที่สุดภายใต้ สัดส่วนปริมาณโฟตอนแสงต่างกัน

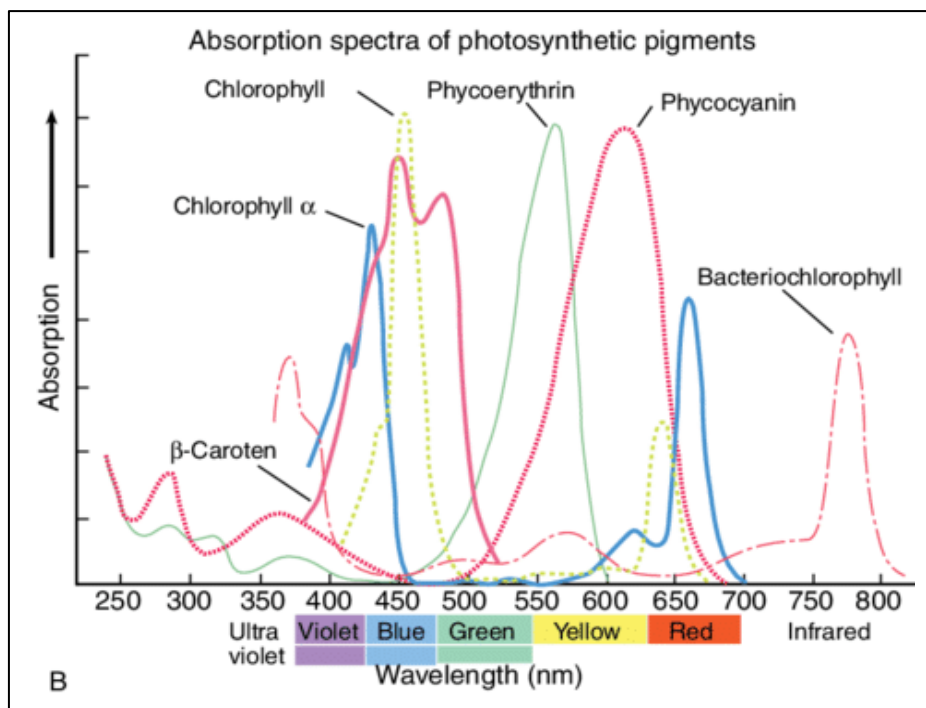
สอดคล้องกับการทดลองของ Chin and Chong (2012) การปลูกผักกาดหอมใน ห้องควบคุมและโรงเรือน ภายใต้แหล่งกำเนิดแสงที่มีสัดส่วนปริมาณโฟตอนแสงแตกต่างกัน ระหว่าง กรรมวิธีที่ 1 : หลอดแอลอีดีสีแดง+สีน้ำเงิน รับแสง 16 ชั่วโมงต่อวัน และ กรรมวิธีที่ 2 : แสงธรรมชาติ ส่งผลทำให้ อัตราส่วนพื้นที่ใบต่อพื้นที่ปลูก, น้ำหนักสดรวมทั้ง ต้น, และ ความกว้างใบของผักกาดหอม ได้ผลการเจริญเติบโตภายใต้การปลูกด้วยแสงใน กรรมวิธีที่ 1 มากกว่าแสงในกรรมวิธีที่ 2

สอดคล้องกับการทดลองของ Choi, Moon, and Kang (2015) การปลูกสตรอว์เบอร์รี่ในห้องควบคุม (Growth Chamber: GC) และ ในโรงเรือน (Plastic Greenhouse: PG) ภายใต้การกำหนดให้ตัวแปรแสงในกรรมวิธีการทดลองแต่ละกลุ่ม มีความแตกต่างกัน ดังนี้ กลุ่มที่ 1 : ปลูกใน GC ด้วยหลอดแอลอีดี ความเข้มแสง  $200 \mu\text{mol}/\text{m}^2/\text{s}$  รับแสง 16 ชั่วโมงต่อวัน ช่วงความยาวคลื่นแสงในแต่ละกรรมวิธีแบ่งเป็น แสงสีแดง, แสงสีน้ำเงิน และ แสงสีแดง+น้ำเงิน สัดส่วน 7:3 และ กลุ่มที่ 2 : ปลูกใน PG ด้วยแสงธรรมชาติร่วมกับหลอดแอลอีดี ความเข้มแสงหลอดแอลอีดี  $75 \mu\text{mol}/\text{m}^2/\text{s}$  รับแสงธรรมชาติ 9 ชั่วโมงต่อวัน ร่วมกับรับแสงจากหลอดแอลอีดี 6 ชั่วโมงต่อวัน ช่วงความยาวคลื่นแสงในแต่ละกรรมวิธี

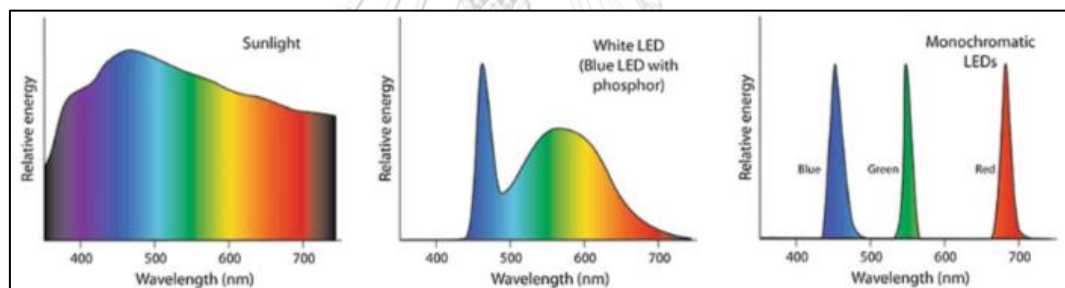
แบ่งเป็น แสงสีแดง, แสงสีน้ำเงิน และแสงสีแดง+น้ำเงิน สัดส่วน 7:3 ผลการทดลองพบว่าการปลูกใน GC แสงสีแดง+น้ำเงิน สร้างผลผลิตสตรอว์เบอร์รี่ได้มากที่สุด ในขณะที่แสงสีแดงและแสงสีน้ำเงินไม่มีความแตกต่าง ส่วนการปลูกใน PG แสงธรรมชาติร่วมกับแสงสีแดง+น้ำเงิน และแสงธรรมชาติร่วมกับแสงสีน้ำเงินสร้างผลผลิตสตรอว์เบอร์รี่ได้ไม่แตกต่างกันแต่มากกว่าผลผลิตที่ได้จากแสงธรรมชาติร่วมกับแสงสีแดง

และสอดคล้องกับการทดลองของ ชานนท์ ลาภจิต (2560) การปลูกผักบุ้งจีนในห้องควบคุม ภายใต้แหล่งกำเนิดแสงที่มีสัดส่วนปริมาณโฟตอนแสงแตกต่างกัน ประกอบด้วยหลอดฟลูออเรสเซนต์สีขาว, หลอดแอลอีดีสีขาว, หลอดแอลอีดีสีแดง, หลอดแอลอีดีสีน้ำเงิน, หลอดแอลอีดีสีแดงผสมสีน้ำเงิน อัตรา 1:1, และ หลอดแอลอีดีสีแดงผสมสีน้ำเงิน อัตรา 2:1 ผลการทดลองพบว่าการเจริญเติบโตทางด้าน ความสูงต้น, ความกว้างลำต้น, จำนวนใบต่อต้น, น้ำหนักสด-แห้งลำต้น, และ น้ำหนักสด-แห้งราก ของผักบุ้งจีน มีความแตกต่างกันอย่างมีนัยสำคัญ และการเลือกใช้สัดส่วนปริมาณโฟตอนแสงแต่ละแบบอาจส่งผลต่อลักษณะบางลักษณะของผักบุ้งจีน

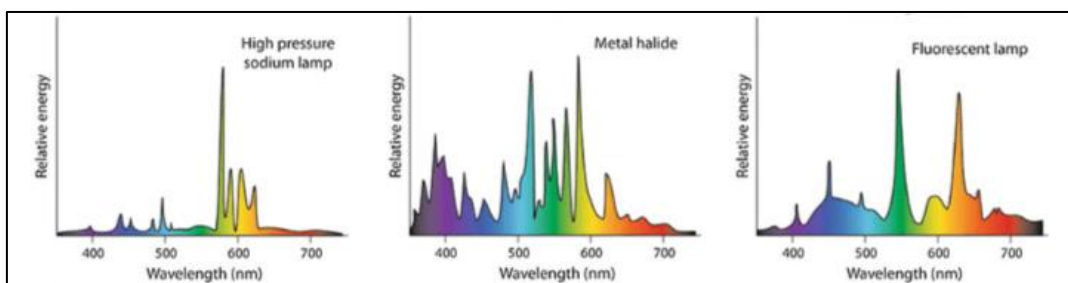
จากการทบทวนวรรณกรรมและงานวิจัยเกี่ยวกับช่วงความยาวคลื่นแสง สรุปได้ว่าจากพฤติกรรมการดูดซับแสงของใบพืช ส่งผลทำให้พืชแต่ละชนิดสามารถเจริญเติบโตภายใต้ช่วงความยาวคลื่นแสงแต่ละแบบได้แตกต่างกัน จึงควรทำการบันทึกผลการเจริญเติบโตของพืช เปรียบเทียบระหว่างการปลูกภายใต้ช่วงความยาวคลื่นแสงจากหลอดแอลอีดีและช่วงความยาวคลื่นแสงจากแสงอาทิตย์ในงานวิจัย



ภาพที่ 2 Photosynthetic Pigment ในช่วง PAR (Warren, 2011)



ภาพที่ 3 ช่วงความยาวคลื่นแสงของแสงอาทิตย์, หลอดแอลอีดีชนิด Full spectrum และ หลอดแอลอีดีชนิด Narrow band (Gupta and Agarwal, 2017)



ภาพที่ 4 ช่วงความยาวคลื่นแสงของหลอดโซเดียมความดันสูง, หลอดเมทัลฮาไลด์ และ หลอดฟลูออเรสเซนต์ (Gupta and Agarwal, 2017)



## 2.2.2. มุมองศาแผ่นสะท้อนแสง

### - การสะท้อนแสง

เมื่อแสงเดินทางไปกระทบกับวัตถุตัวกลาง (Medium) พฤติกรรมการเดินทางของแสงจะเกิดการเปลี่ยนแปลงไปตามลักษณะของวัตถุที่กระทบ ทั้งวัตถุที่มีสถานะเป็นของแข็ง ของเหลว และ แก๊ส การเปลี่ยนแปลงพฤติกรรมเดินทางของแสงสามารถจำแนกได้ 3 รูปแบบได้แก่ การดูดกลืนแสง (Light Absorption), การสะท้อนแสง (Light Reflection) และ การส่องผ่านแสง (Light Transmission) (ฉิมมวริทธิ์ ตาลจรัส, 2559) สำหรับงานวิจัยชิ้นนี้ ทำการศึกษาเฉพาะเรื่องการสะท้อนแสง (Light Reflection) เท่านั้น

การสะท้อนแสง (Light Reflection) เป็นพฤติกรรมที่แสงเดินทางย้อนกลับจากวัตถุที่แสงเดินทางไปกระทบ ความแตกต่างของพื้นผิววัตถุที่แสงเดินทางไปกระทบ จะส่งผลต่อคุณสมบัติการเดินทางย้อนกลับของแสง 2 ประการ ประกอบด้วย ปริมาณการเดินทางย้อนกลับของแสง (ค่าการสะท้อนแสง) และ ประเภทการเดินทางย้อนกลับของแสง (ประเภทการสะท้อนแสง) (Stein, Reynolds and McGuinness, 1986)

ค่าการสะท้อนแสง (Reflectance) คือ สัดส่วนการสะท้อนกลับของแสง นิยมแสดงในรูปแบบของสัดส่วนทศนิยมร้อย (%) หรือจำนวนเต็มหนึ่ง เมื่อแสงกระทบพื้นผิววัตถุแล้วสะท้อนกลับครึ่งหนึ่ง จะมีค่า Reflectance = 50% หรือ 0.50 เป็นต้น

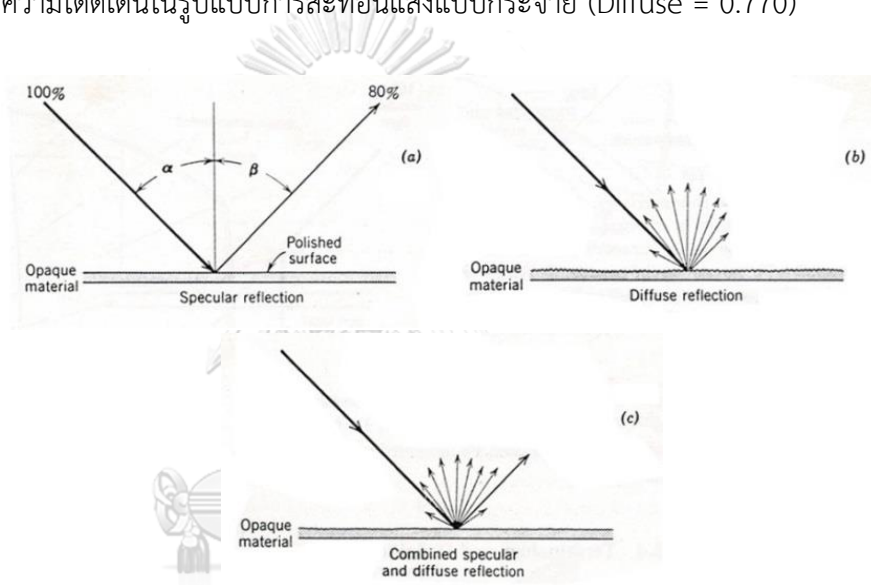
ประเภทการสะท้อนแสง สามารถจำแนกตามรูปแบบการเดินทางย้อนกลับของแสง (การสะท้อนแสง) ที่แตกต่างกัน 3 ประเภท ได้แก่

1) การสะท้อนแบบเสมือนกระจกเงา (Specular Reflection) เป็นลักษณะการสะท้อนแสงที่เกิดจากจากวัตถุทึบแสง (Opaque Material) ที่มีพื้นผิวเรียบมันวาว (Polished Surface) เป็นการสะท้อนแสงที่มีมุมตกกระทบเท่ากับมุมสะท้อน ตัวอย่างเช่น กระจกขัดเงา (Polished Glass) หรือหินขัดเงา (Polished Stone)

2) การสะท้อนแบบกระจาย (Diffuse Reflection) เป็นลักษณะการสะท้อนแสงที่เกิดจากจากวัตถุทึบแสง (Opaque Material) ที่มีพื้นผิวหยาบ (Rough Surface) เป็นการสะท้อนแสงที่แตกรังสีสะท้อนออกเป็นรังสีเล็ก ๆ ออกจากพื้นผิววัตถุทุกทิศทาง

3) การสะท้อนแบบผสม (Combined Specular and Diffuse Reflection) เป็นการสะท้อนแสงที่ผสมระหว่างการสะท้อนแสงในทิศทางตรงกันข้ามจากแหล่งกำเนิดแสงและการสะท้อนแสงแบบกระจายทั่วทุกทิศทาง ซึ่งเป็นประเภทการสะท้อนแสงของวัตถุส่วนใหญ่

จากการศึกษาค่าการสะท้อนแสง (Reflectance) และประเภทการสะท้อนแสง 3 รูปแบบ นำไปสู่การพิจารณาวัสดุที่มีความเหมาะสมในการนำมาประดิษฐ์แผ่นสะท้อนแสงในงานวิจัย จากตารางแสดงตัวอย่างค่าการสะท้อนแสงของวัสดุของ (Stein et al., 1986) พบว่า กระดาษสีขาวด้านมีคุณสมบัติที่เหมาะสมมากที่สุด เนื่องจากมีค่าการสะท้อนแสงที่สูงและมีความโดดเด่นในรูปแบบการสะท้อนแสงแบบกระจาย (Diffuse = 0.770)



ภาพที่ 5 ประเภทการสะท้อนแสง Specular Reflection, Diffuse Reflection และ Combined Specular and Diffuse Reflection (Stein et al., 1986)

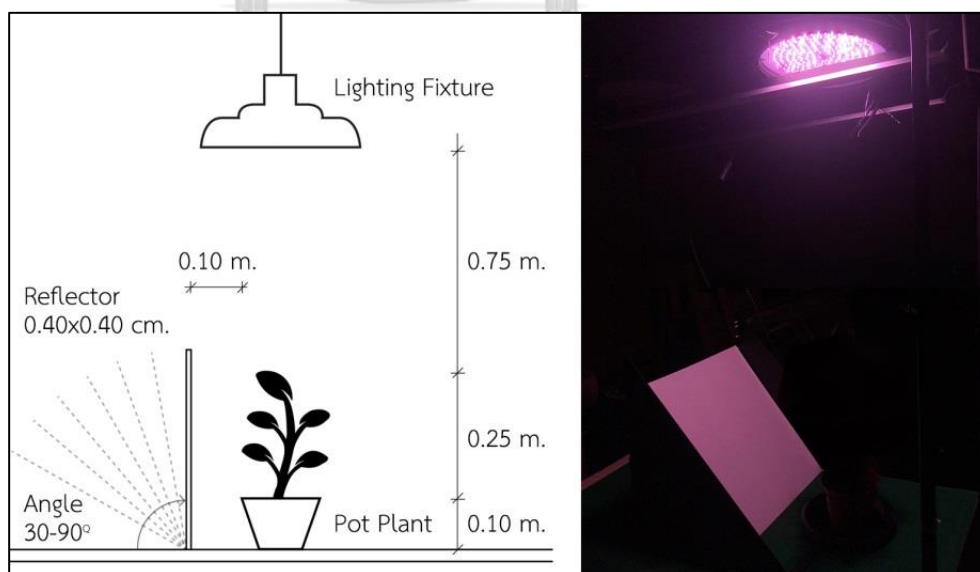
ตารางที่ 1 ตัวอย่างค่าการสะท้อนแสงของวัสดุ (Stein et al., 1986)

Material	Reflectance	
	Specular	Diffuse
Matte black paper	0.0005	0.040
Matte white paper	0.0030	0.770
Metallic paper-copper	0.1100	0.280
Super gloss black ink	0.0390	0.016
Newspaper	0.0065	0.680

- มุมองศาผ่านสะท้อนแสง

ในการปลูกพืชตามธรรมชาติ พืชจะได้รับแสงอาทิตย์ที่ส่องลงมาบริเวณเหนือใบพืช การติดตั้งหลอดแอลอีดีเพื่อเป็นแหล่งกำเนิดแสงสำหรับการปลูกพืช จึงนิยมติดตั้งบริเวณเหนือพื้นที่ปลูก เพื่อส่องแสงลงมาสู่บริเวณเหนือใบพืชเสมือนแสงอาทิตย์

การทดสอบนำร่องมุมองศาผ่านสะท้อนแสง จึงทำการทดสอบโดยการติดตั้งหลอดแอลอีดีที่บริเวณเหนือต้นพืช สูงจากเรือนยอดต้นพืชตัวอย่าง 0.75 ม. ทำการติดตั้งแผ่นสะท้อนแสงประดิษฐ์จากกระดาษชานอ้อยสีขาวด้าน ขนาด 0.40x0.40 ม. เอียงทำมุม 30–90° จากระนาบพื้น ทำการทดสอบปริมาณแสงที่สะท้อนเข้าสู่ด้านข้างของต้นพืชตัวอย่าง ด้วยแอปพลิเคชัน Lux Meter ใน iOS โดยทำการปริมาณแสงที่ตำแหน่งโคนต้น, กลางพุ่ม, และ เรือนยอด ของพืชตัวอย่าง (พืชตัวอย่างมีความสูงวัดจากฐานต้นถึงเรือนยอด 0.25 ม. ปลูกในกระถางสูง 0.10 ม. รวมระยะความสูง 0.35 ม.) ผลการทดสอบพบว่า การติดตั้งแผ่นสะท้อนแสงเอียงทำมุม 60° จากระนาบพื้น สามารถสะท้อนปริมาณแสงรวมทุกตำแหน่งเข้าสู่ต้นพืชตัวอย่างได้มากที่สุด (ตารางที่ 4) จึงเลือกใช้มุม 60° จากระนาบพื้นเป็นมุมองศาในการประดิษฐ์แผ่นสะท้อนแสงในงานวิจัย ร่วมกับมุม 90° จากระนาบพื้น เนื่องจากเป็นมุมมาตรฐานของเต็นท์ปลูกสำเร็จรูป



ภาพที่ 6 กรรมวิธีการทดสอบนำร่ององศาการเอียงแผ่นสะท้อนแสง

ตารางที่ 2 ผลการทดสอบนำร่ององศาการเอียงแผ่นสะท้อนแสง

มุมมอง แผ่นสะท้อนแสง	ความเข้มแสง (Lux)			
	โคนต้น	กลางพุ่ม	เรือนยอด	รวมทั้งต้น
ไม่มีแผ่นสะท้อนแสง	180	140	110	430
90°	1,100	1,300	1,700	4,100
80°	2,300	2,500	3,000	7,800
70°	3,100	3,500	3,800	10,400
60°	3,900	4,500	3,000	11,400
50°	4,500	3,300	1,900	9,700
40°	2,900	2,200	600	5,700
30°	2,200	1,100	200	3,500

- การตอบสนองของพืชต่อมุมมองแผ่นสะท้อนแสง

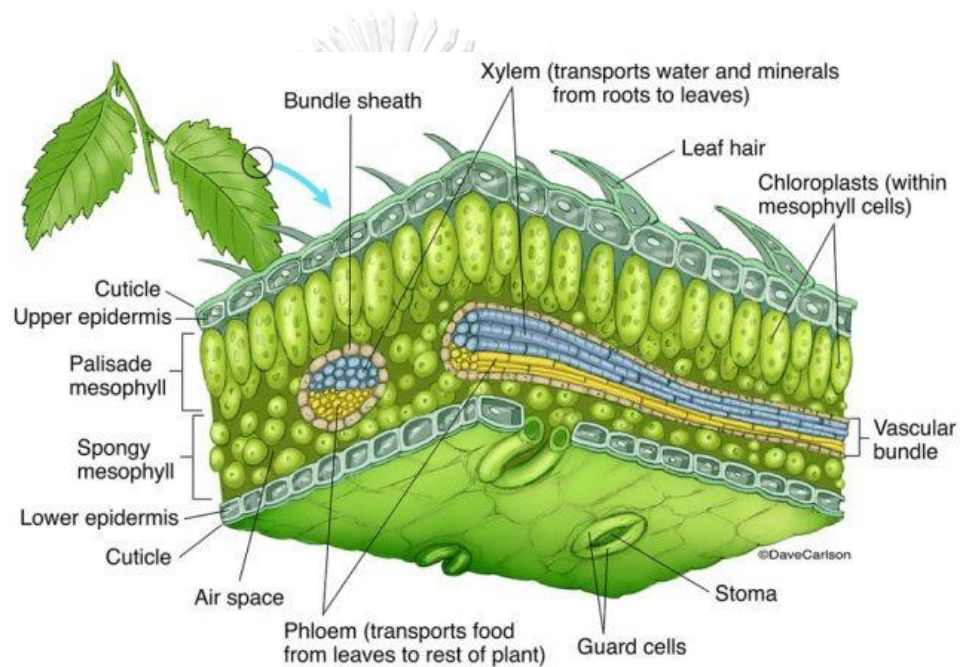
จากความสามารถในการสะท้อนแสงเข้าสู่ด้านข้างต้นพืช การตอบสนองของพืชต่อมุมมองแผ่นสะท้อนแสง มีแนวโน้มเกี่ยวข้องกับตำแหน่งรงควัตถุดูดซับแสง ที่อยู่ในชั้น Palisade mesophyll (ด้านบนใบ) และ Spongy mesophyll (ด้านล่างใบ) ในเซลล์ใบพืช เมื่อสามารถสะท้อนแสงเข้าสู่ด้านข้างต้นพืชได้มากขึ้น มีความเป็นไปได้ที่พืชจะได้รับแสงบริเวณใต้ใบเพิ่มมากขึ้น นำไปสู่การกระตุ้นรงควัตถุดูดซับแสงบริเวณด้านล่างใบ (ภาพที่ 0)

จากการขอความอนุเคราะห์เข้าร่วมดำเนินงานวิจัย ภายใต้โครงการวิจัยการศึกษา การตอบสนองต่ออิทธิพลของแสงและการแสดงออกทางพันธุกรรมของสายพันธุ์กัญชา ภายใต้การอนุญาตผลิตซึ่งยาเสพติดให้โทษประเภท 5 ตามหนังสือสำคัญที่ 7/2562 (ปลูก) คณะผลิตกรรมการเกษตร มหาวิทยาลัยแม่โจ้ ทำการทดสอบสัดส่วนค่าการสังเคราะห์แสง ในกรณีที่พืชได้รับแสงบริเวณเหนือใบ : บริเวณใต้ใบ โดยการสุ่มบันทึกค่าการสังเคราะห์แสง จากตัวอย่างใบกัญชาพันธุ์หางกระรอกที่บริเวณกลางพุ่มและเรือนยอด ด้วยระดับความเข้มแสง 1000, 1500, 2000 และ 2500  $\mu\text{mol}/\text{m}^2/\text{s}$

ผลการทดสอบพบว่า สัดส่วนค่าการสังเคราะห์แสง (ค่า A) ในกรณีที่ได้รับแสงบริเวณเหนือใบ : ใต้ใบ มีค่าเฉลี่ยเป็น 1.00 : 0.62 หมายความว่า ค่าการสังเคราะห์แสงในกรณีที่พืชได้รับแสงบริเวณใต้ใบ มีประสิทธิภาพคิดเป็น 62% จากการได้รับแสงเหนือใบของใบเดียวกัน แต่เนื่องด้วยการวัดค่าการสังเคราะห์แสง (ค่า A) เป็นการวัดอัตราการตรึง  $\text{CO}_2$

ของใบภายในปล่องวัด จึงไม่อาจสรุปได้ว่า หากได้รับแสงบริเวณเหนือใบและใต้ใบพร้อมกัน ค่าการสังเคราะห์แสงจะเพิ่มเป็น 162%

จากการทบทวนวรรณกรรมและงานวิจัยเกี่ยวกับมุมมองศาณนสะท้อนแสง สรุปได้ว่า ควรเลือกใช้กระดาษสีขาวด้านเป็นวัสดุปิดผิวในการประดิษฐ์แผ่นสะท้อนแสง และประดิษฐ์แผ่นสะท้อนแสงเอียงทำมุม  $60^{\circ}$  และมุม  $90^{\circ}$  จากระนาบพื้น เพื่อเปรียบเทียบผลการเจริญเติบโตของพืชในงานวิจัย เนื่องจากแผ่นสะท้อนแสงดังกล่าวมีแนวโน้มสามารถกระตุ้นการสังเคราะห์แสงในกรณีที่พืชได้รับแสงบริเวณใต้ใบ



ภาพที่ 7 รูปตัดขวางใบพืช (เนชั่นแนล จีโอกราฟฟิก, 2018)



ภาพที่ 8 การวัดค่าการสังเคราะห์เหนือใบและใต้ใบกัญชา

ตารางที่ 3 สัดส่วนค่าการสังเคราะห์ในกรณีได้รับแสงเหนือใบและใต้ใบ

ใบที่	ตำแหน่งใบ	ความเข้มแสง $\mu\text{mol}/\text{m}^2/\text{s}$	การสังเคราะห์แสง (ค่า A)		
			เหนือใบ	ใต้ใบ	เหนือใบ : ใต้ใบ
1	กลางพุ่ม	1000	19.71	13.09	1.00 : 0.66
2	กลางพุ่ม	1500	19.91	13.62	1.00 : 0.68
3	กลางพุ่ม	1500	21.81	13.55	1.00 : 0.62
4	เรือนยอด	1500	20.42	13.05	1.00 : 0.64
5	เรือนยอด	2000	24.63	15.34	1.00 : 0.62
6	เรือนยอด	2000	23.47	14.30	1.00 : 0.61
7	เรือนยอด	2000	27.90	15.29	1.00 : 0.55
8	เรือนยอด	2500	26.78	16.05	1.00 : 0.60
เฉลี่ย					1.00 : 0.62

### 2.2.3. แหล่งพลังงานไฟฟ้าสำหรับหลอดแอลอีดี

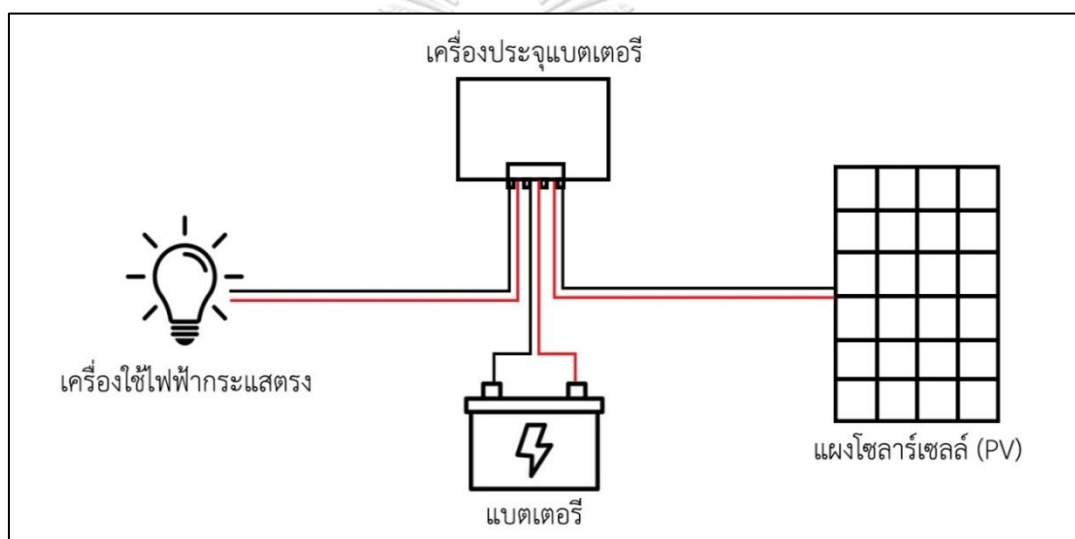
เซลล์แสงอาทิตย์ หรือ โซลาร์เซลล์ เป็นอุปกรณ์เปลี่ยนพลังงานแสงอาทิตย์เป็นพลังงานไฟฟ้า โดยอาศัยหลักการถ่ายเทพลังงานจากโฟตอนแสงไปสู่อิเล็กตรอนในสารกึ่งตัวนำที่อยู่ในแผงโซลาร์เซลล์ (Photovoltaic Cell: PV) เมื่ออิเล็กตรอนได้รับพลังงานเพียงพอจนสามารถเคลื่อนที่อย่างอิสระ อิเล็กตรอนจะเคลื่อนที่จนครบวงจร เกิดเป็นพลังงานไฟฟ้ากระแสตรงที่ผลิตได้จากแผงโซลาร์เซลล์ (วีระพงศ์ วงศ์ใหญ่, 2562)

การนำพลังงานไฟฟ้าจากโซลาร์เซลล์ไปใช้งาน จะต้องทำการติดตั้งระบบโซลาร์เซลล์ โดยมีอุปกรณ์ที่เกี่ยวข้อง ประกอบด้วย แผงโซลาร์เซลล์ (PV), เครื่องประจุแบตเตอรี่, เครื่องแปลงกระแสไฟฟ้า, และ แบตเตอรี่ เป็นต้น (สฤชดี คงทนไพศาล, 2554)

สำหรับการติดตั้งระบบโซลาร์เซลล์เพื่อใช้เป็นแหล่งพลังงานไฟฟ้าสำหรับหลอดแอลอีดี จะต้องอาศัยอุปกรณ์แปลงไฟฟ้ากระแสตรงจากแผงโซลาร์เซลล์เป็นไฟฟ้ากระแสสลับสำหรับหลอดแอลอีดี ซึ่งเป็นสาเหตุของการสูญเสียพลังงานไฟฟ้าจากอุปกรณ์ที่ติดตั้ง เรียกว่า กำลังไฟฟ้าสูญเสียในระบบ จากการศึกษาพบว่า การใช้อุปกรณ์แปลงกระแสไฟฟ้าทำให้เกิดการสูญเสียพลังงานไฟฟ้าราว 15-20% และการเสื่อมสภาพของแบตเตอรี่พร้อม

เครื่องประจุ ล้วนส่งผลต่อกำลังไฟฟ้าสูญเสียในระบบไม่แตกต่างกัน (กระทรวงพลังงาน กรมพัฒนาพลังงานทดแทนและอนุรักษ์พลังงาน, 2553)

จากการทบทวนวรรณกรรมและงานวิจัยเกี่ยวกับแหล่งพลังงานไฟฟ้า สรุปได้ว่า ควรทำการเปรียบเทียบผลการเจริญเติบโตของพืช ระหว่าง การปลูกภายใต้หลอดแอลอีดี กระแสตรงเชื่อมต่อระบบโซลาร์เซลล์กระแสตรง (Direct current : DC) โดยไม่ผ่านเครื่องแปลงกระแสไฟฟ้าและการประจุแบตเตอรี่ และ การปลูกภายใต้หลอดแอลอีดีกระแสสลับ เชื่อมต่อไฟบ้านกระแสสลับ (Alternating current : AC) ในงานวิจัย เพื่อศึกษาการลด ต้นทุนทางด้านค่าบริการภาคพลังงานของหลอดแอลอีดี



ภาพที่ 9 การติดตั้งระบบโซลาร์เซลล์กระแสตรง (Direct current : DC)

## 2.3. วรรณกรรมและงานวิจัยเกี่ยวกับตัวแปรควบคุม

ทำการทบทวนวรรณกรรมและงานวิจัยเกี่ยวกับ ปริมาณแสงรวมต่อวัน (ความเข้มแสง x ความยาวของช่วงที่ได้รับแสง) และ ปัจจัยอื่นที่ส่งผลร่วมกับปัจจัยแสง (ปริมาณคาร์บอนไดออกไซด์ และ อุณหภูมิอากาศ) โดยมีรายละเอียดดังต่อไปนี้

### 2.3.1. ปริมาณแสงรวมต่อวัน

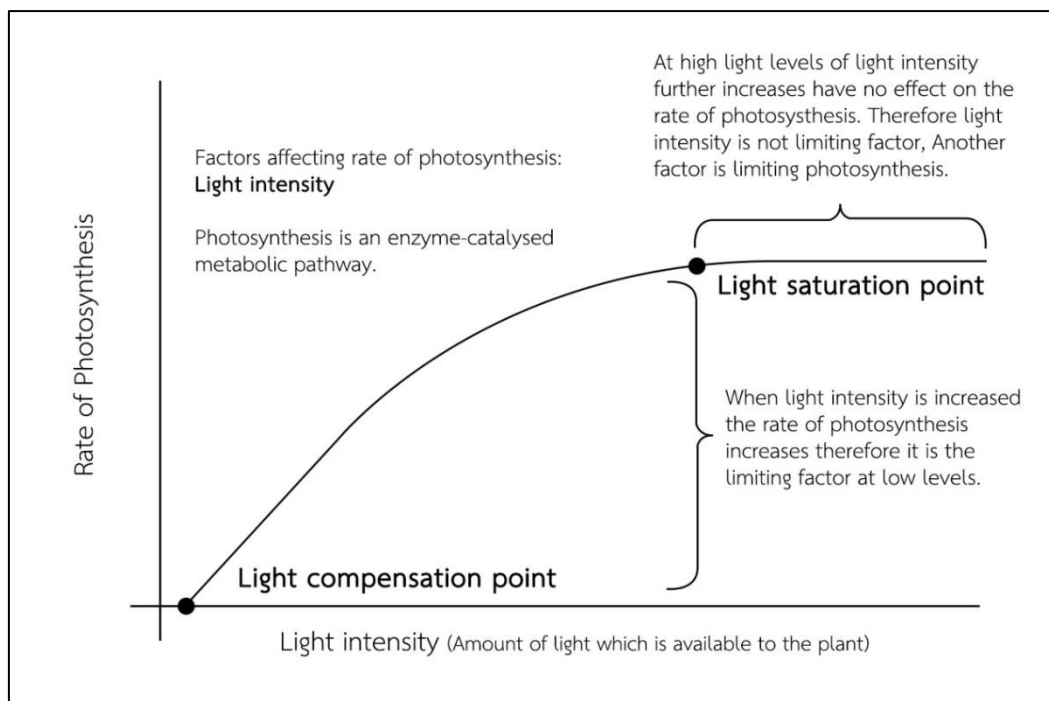
#### - ความเข้มแสง

ความเข้มแสง (Light Intensity) คือ ปริมาณโฟตอนแสงที่นำมาใช้ในกระบวนการสังเคราะห์แสงของพืช นิยมแสดงค่าความเข้มแสงในรูปแบบ ค่าความหนาแน่นของปริมาณโฟตอนแสงชั่วขณะที่พืชได้รับสำหรับการสังเคราะห์แสง (Photosynthetic Photon Flux Density : PPF) มีหน่วยเป็น ไมโครโมลต่อตารางเมตรต่อวินาที ( $\mu\text{mol}/\text{m}^2/\text{s}$ )

เมื่อความเข้มแสงเพิ่มสูงขึ้น (ปริมาณโฟตอนแสงเพิ่มสูงขึ้น) อัตราการสังเคราะห์แสงของพืชจะเพิ่มสูงขึ้นตาม จนถึงจุดหนึ่งที่อัตราการสังเคราะห์แสงไม่เปลี่ยนแปลงตามความเข้มแสงที่เพิ่มสูงขึ้น เป็นปรากฏการณ์ที่พืชต้องอาศัยตัวแปรอื่นนอกเหนือจากความเข้มแสงในการเพิ่มอัตราการสังเคราะห์แสง เรียกว่า Limiting Factor และจุดที่อัตราการสังเคราะห์แสงไม่เปลี่ยนแปลงตามความเข้มแสงที่เพิ่มขึ้น เรียกว่า จุดอิ่มตัวของแสงหรือ Light Saturation Point (ดวงรัตน์ ศตคุณ, พูนพิภพ เกษมทรัพย์ และ Crozat, 2542)

ความเข้มแสง (ปริมาณโฟตอนแสง) ที่เหมาะสมสำหรับการเจริญเติบโตของพืชจึงอยู่ในช่วงที่การเพิ่มความเข้มแสงและการเพิ่มอัตราการสังเคราะห์แสงมีความสัมพันธ์กัน โดยสามารถแบ่งความเข้มแสงที่เหมาะสมสำหรับพืชออกเป็น 3 กลุ่ม ประกอบด้วย 1) พืชในร่มเหมาะสำหรับการเจริญเติบโตในร่มที่มีความเข้มแสงต่ำ (ร่มเงาที่ไม่มี แสงอาทิตย์ส่องถึงโดยตรง), 2) พืชกึ่งร่มกึ่งแจ้งเหมาะสำหรับการเจริญเติบโตในที่ที่มีการพรางแสงทำให้แสงอาทิตย์ที่ส่องมีความเข้มแสงต่ำลง, และ 3) พืชกลางแจ้งเหมาะสำหรับการเจริญเติบโตกลางแจ้งที่มีความเข้มแสงสูง (ภาวิณี อารีศรีสม et al., 2560)





ภาพที่ 10 กราฟ Light Saturation Point (Smullen, 2015)

- ความยาวของช่วงที่ได้รับแสง

ความยาวของช่วงที่ได้รับแสง (Light Duration) คือ ระยะเวลาที่พืชได้รับแสงใน 24 ชั่วโมงหรือหนึ่งวัน มีหน่วยเป็น hr/day ระยะเวลาที่พืชได้รับแสงจะส่งผลโดยตรงต่อพฤติกรรมตอบสนองต่อแสงของพืช 2 พฤติกรรม ประกอบด้วย การตอบสนองต่อความยาววัน และการตอบสนองต่อปริมาณโฟตอนแสง

การตอบสนองต่อความยาววัน (Photoperiod) เมื่อพืชเจริญเติบโตในระยะทำใบจนถึงช่วงที่มีความพร้อมในการออกดอก ระยะเวลารับแสงจะมีบทบาทในการกระตุ้นให้พืชมีการพัฒนาจากการเจริญเติบโตในระยะทำใบ (Vegetative stage) ไปสู่การเจริญเติบโตในระยะทำดอก (Reproductive stage) โดยสามารถจำแนกเงื่อนไขการพัฒนาการเจริญเติบโตของพืชได้เป็น พืชที่ออกดอกเมื่อได้รับระยะเวลารับแสงสั้นกว่าวันวิกฤต (Critical day length) เรียกว่า พืชวันสั้น (Short day plant) และพืชที่ออกดอกเมื่อได้รับระยะเวลารับแสงยาวกว่าวันวิกฤต เรียกว่า พืชวันยาว (Long day plant)

การตอบสนองต่อปริมาณโฟตอนแสง ระยะเวลารับแสง เป็นตัวกำหนดระยะเวลาที่พืชสามารถดูดซับโฟตอนแสงมาใช้ในกระบวนการสังเคราะห์แสงได้ ซึ่งปริมาณการดูดซับ

โฟตอนแสงที่เปลี่ยนแปลงไป จะส่งผลทำให้อัตราการสังเคราะห์แสงมีการเพิ่มขึ้นหรือลดลง เช่นเดียวกับผลของการเปลี่ยนแปลงความเข้มแสง ในปัจจุบันจึงได้มีการคิดค้นวิธีการคำนวณปริมาณโฟตอนแสงสำหรับการปลูกพืช ในรูปแบบ ปริมาณแสงรวมที่พืชได้รับในหนึ่งวัน ซึ่งเป็นการคำนวณร่วมกันระหว่างความเข้มแสงและความยาวของช่วงที่ได้รับแสง

- ปริมาณแสงรวมที่พืชได้รับในหนึ่งวัน

ปริมาณแสงรวมที่พืชได้รับในหนึ่งวัน (Daily Light Integral : DLI) เป็นการคำนวณปริมาณโฟตอนแสงร่วมกันระหว่าง ความเข้มแสง (PPFD) และ ความยาวของช่วงที่ได้รับแสง (hr/day) โดยมีสูตรคำนวณคือ  $DLI = PPFD \times \text{light hours per day} \times (3600/1,000,000)$  มีหน่วยเป็นโมลต่อตารางเมตรต่อวัน ( $\text{mol/m}^2/\text{d}$ )

จากการศึกษาตัวอย่างงานวิจัยเกี่ยวกับปริมาณแสงรวมต่อวันสำหรับการปลูกพืช พบว่า ในการทดลองปลูกผักกาดหอมของ พิชญ์สินี เพชรไทย และ ธรรมศักดิ์ ทองเกตุ (2560) การกำหนดให้ปริมาณแสงรวมในกรรมวิธีการทดลองมีความแตกต่างกัน ประกอบด้วย กรรมวิธีที่ 1 : รับแสง 12 ชั่วโมงต่อวัน ความเข้มแสง  $170 \mu\text{mol/m}^2/\text{s}$  (ปริมาณแสงรวม =  $7.3 \text{ mol/m}^2/\text{d}$ ), กรรมวิธีที่ 2 : รับแสง 16 ชั่วโมงต่อวัน ความเข้มแสง  $180 \mu\text{mol/m}^2/\text{s}$  (ปริมาณแสงรวม =  $10.4 \text{ mol/m}^2/\text{d}$ ), และ กรรมวิธีที่ 3 : รับแสง 16 ชั่วโมงต่อวัน ความเข้มแสง  $80 \mu\text{mol/m}^2/\text{s}$  (ปริมาณแสงรวม =  $4.6 \text{ mol/m}^2/\text{d}$ ) ส่งผล ทำให้ จำนวนใบของผักกาดหอมในกรรมวิธีที่ 2 ได้ผลแตกต่างจากกรรมวิธีที่ 3, น้ำหนักสดลำต้น น้ำหนักแห้งลำต้น และน้ำหนักแห้งรากของผักกาดหอมในกรรมวิธีที่ 1 ได้ผลแตกต่างจากกรรมวิธีที่ 2 และ 3, และ น้ำหนักสดรากของผักกาดหอมได้ผลแตกต่างกันทั้ง 3 กรรมวิธี

สอดคล้องกับการทดลองของ จริญญา ฤทธิรัมย์ และ อารักษ์ ธีรอำพน (2562) การปลูกผักกาดหอมในห้องควบคุมภายใต้ปริมาณแสงรวมที่แตกต่างกัน 2 กลุ่ม ประกอบด้วย กลุ่มที่ 1 : เปรียบเทียบระหว่าง แสงสีขาว รับแสง 16 ชั่วโมงต่อวัน ความเข้มแสง 120 และ  $140 \mu\text{mol/m}^2/\text{s}$  (ปริมาณแสงรวม = 6.9 และ  $8.1 \text{ mol/m}^2/\text{d}$ ) และ กลุ่มที่ 2 : แสงสีขาว+สีน้ำเงิน+สีแดง รับแสง 16 ชั่วโมงต่อวัน ความเข้มแสง 110 และ  $120 \mu\text{mol/m}^2/\text{s}$  (ปริมาณแสงรวม = 6.3 และ  $6.9 \text{ mol/m}^2/\text{d}$ ) ผลการทดลองพบว่า ขนาดพื้นที่ใบ, น้ำหนักสดรากและลำต้น, น้ำหนักแห้งรากและลำต้น และปริมาณคลอโรฟิลล์ ของผักกาดหอมในการทดลองกลุ่มที่ 1 ได้ผลผลิตแตกต่างกันอย่างมีนัยยะสำคัญทางสถิติ และน้ำหนักสดราก,

น้ำหนักแห้งราก และปริมาณคลอโรฟิลล์ ของผักกาดหอมในการทดลองกลุ่มที่ 2 ได้ผลผลิตแตกต่างกันอย่างมีนัยยะสำคัญทางสถิติเช่นเดียวกัน

จากการทบทวนวรรณกรรมและงานวิจัยเกี่ยวกับปริมาณแสงรวมต่อวัน สรุปได้ว่า ควรควบคุมปริมาณแสงรวมต่อวันให้มีความใกล้เคียงกัน โดยทำการศึกษาระดับความเข้มแสง (ปริมาณโฟตอนแสง) ที่เหมาะสมสำหรับพืชในงานวิจัย ร่วมกับการศึกษาความยาวของช่วงที่ได้รับแสง (ระยะเวลาที่พืชดูดซับโฟตอนแสง) ที่เหมาะสม แล้วนำมาคำนวณเป็นปริมาณโฟตอนแสงรวมที่พืชได้รับในหนึ่งวัน  $DLI = PPFD \times \text{light hours per day} \times (3600/1,000,000)$  ในแต่ละกรรมวิธีการวิจัย

### 2.3.2. ปัจจัยอื่นที่ส่งผลร่วมกับปัจจัยแสง

- ปริมาณคาร์บอนไดออกไซด์

หลังจากการเพิ่มความเข้มแสงจนถึงจุดอิ่มตัวของแสง (Light Saturation Point) การเพิ่มปริมาณคาร์บอนไดออกไซด์จะเข้ามามีบทบาทในการเพิ่มอัตราการสังเคราะห์แสงของพืช โดยมีรูปแบบที่คล้ายคลึงกับการเพิ่มความเข้มแสง

เมื่อปริมาณคาร์บอนไดออกไซด์เพิ่มสูงขึ้น อัตราการสังเคราะห์แสงของพืชจะเพิ่มสูงขึ้นตาม จนถึงจุดหนึ่งที่อัตราการสังเคราะห์แสงไม่เปลี่ยนแปลงตามปริมาณคาร์บอนไดออกไซด์ที่เพิ่มสูงขึ้น เป็นปรากฏการณ์ที่พืชต้องอาศัยตัวแปรอื่นนอกเหนือจากปริมาณคาร์บอนไดออกไซด์ในการเพิ่มอัตราการสังเคราะห์แสง เรียกว่า Limiting Factor และจุดที่อัตราการสังเคราะห์แสงไม่เปลี่ยนแปลงตามปริมาณคาร์บอนไดออกไซด์ที่เพิ่มขึ้น เรียกว่า จุดอิ่มตัวของคาร์บอนไดออกไซด์ หรือ  $CO_2$  Saturation Point

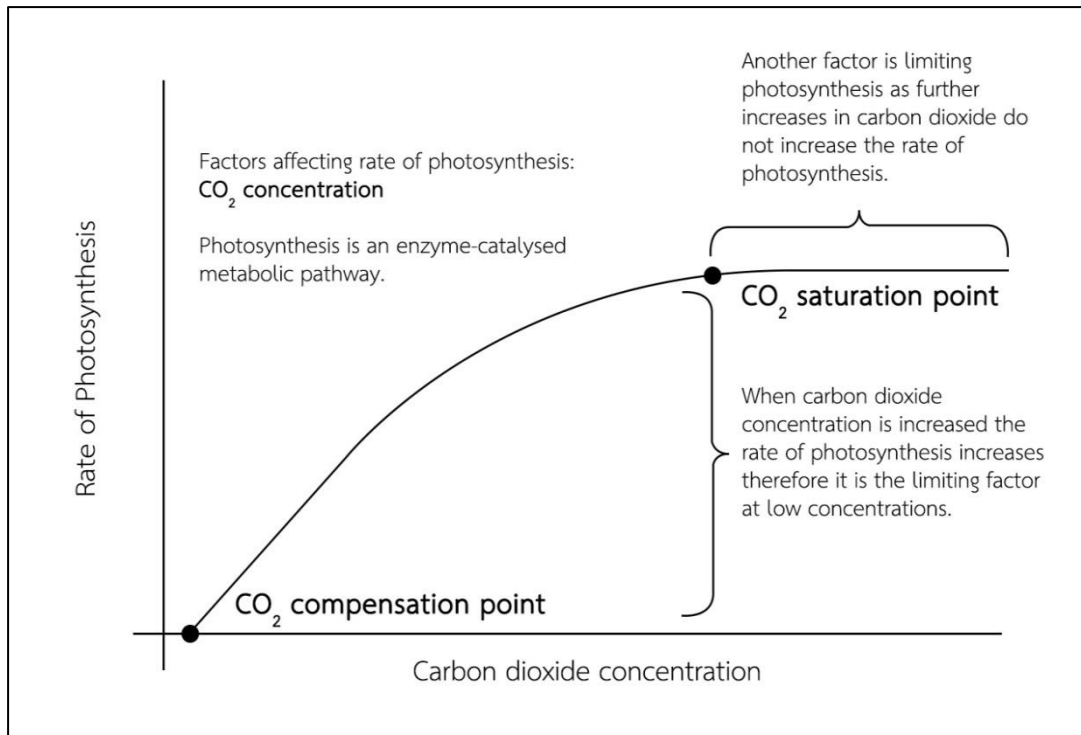
จากการศึกษาตัวอย่างงานวิจัยเกี่ยวกับปริมาณคาร์บอนไดออกไซด์ พบว่า ในการทดสอบอัตราการสังเคราะห์แสงของบีโกเนียใน Mortensen and Ulsaker (1985) การทดสอบด้วย ความเข้มแสงที่ระดับ 45, 120 และ 195  $\mu\text{mol}/\text{m}^2/\text{s}$  ร่วมกับปริมาณคาร์บอนไดออกไซด์ 300, 600, 900 และ 1,500  $\mu\text{L}$  ส่งผลทำให้ อัตราการสังเคราะห์แสงของบีโกเนีย เพิ่มสูงขึ้นตามปริมาณคาร์บอนไดออกไซด์ในการทดสอบทุกระดับความเข้มแสง (เมื่อความเข้มแสงและอุณหภูมิอากาศคงที่) (ภาพที่ 12)

### - อุณหภูมิอากาศ

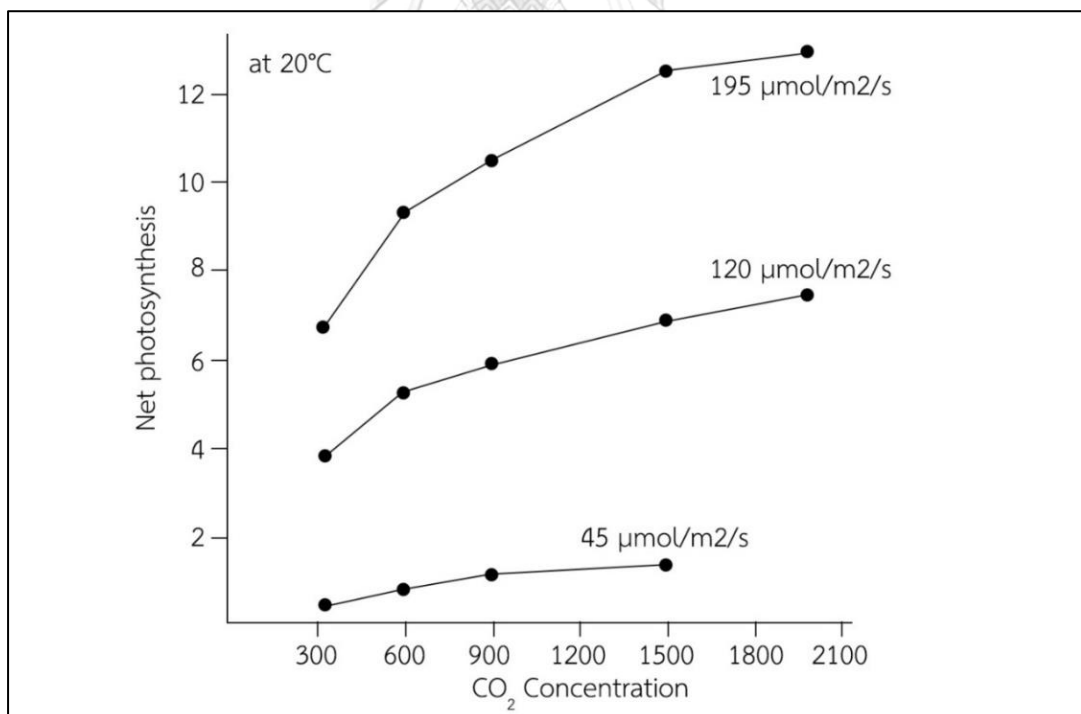
อุณหภูมิอากาศ ส่งผลต่ออัตราการสังเคราะห์แสงของพืชแตกต่างจากการความเข้มแสงและปริมาณคาร์บอนไดออกไซด์ เมื่ออุณหภูมิอากาศเพิ่มสูงขึ้น อัตราการสังเคราะห์แสงของพืชจะเพิ่มสูงขึ้นตาม จนถึงจุดหนึ่งที่อัตราการสังเคราะห์แสงของพืชมีปริมาณสูงที่สุด เรียกว่า จุด Optimum temperature หลังจากนั้นการเพิ่มขึ้นของอุณหภูมิอากาศจะส่งผลทำให้อัตราการสังเคราะห์แสงของพืชลดลงอย่างรวดเร็ว

จากการศึกษาตัวอย่างงานวิจัยเกี่ยวกับอุณหภูมิอากาศ พบว่า ในการทดสอบอัตราการสังเคราะห์แสงของบีโกเนียใน Mortensen and Ulsaker (1985) การทดสอบด้วยอุณหภูมิอากาศ 16, 20, 24 และ 28 °C ร่วมกับปริมาณคาร์บอนไดออกไซด์ 300, 900 และ 1,500  $\mu\text{L}$  ส่งผลทำให้ อัตราการสังเคราะห์แสงของบีโกเนียมีปริมาณสูงที่สุดที่อุณหภูมิ 16°C และลดลงอย่างต่อเนื่องเมื่ออุณหภูมิเพิ่มสูงขึ้นเป็น 20, 24 และ 28 °C ตามลำดับ (เมื่อความเข้มแสงและปริมาณคาร์บอนไดออกไซด์คงที่) (ภาพที่ 14)

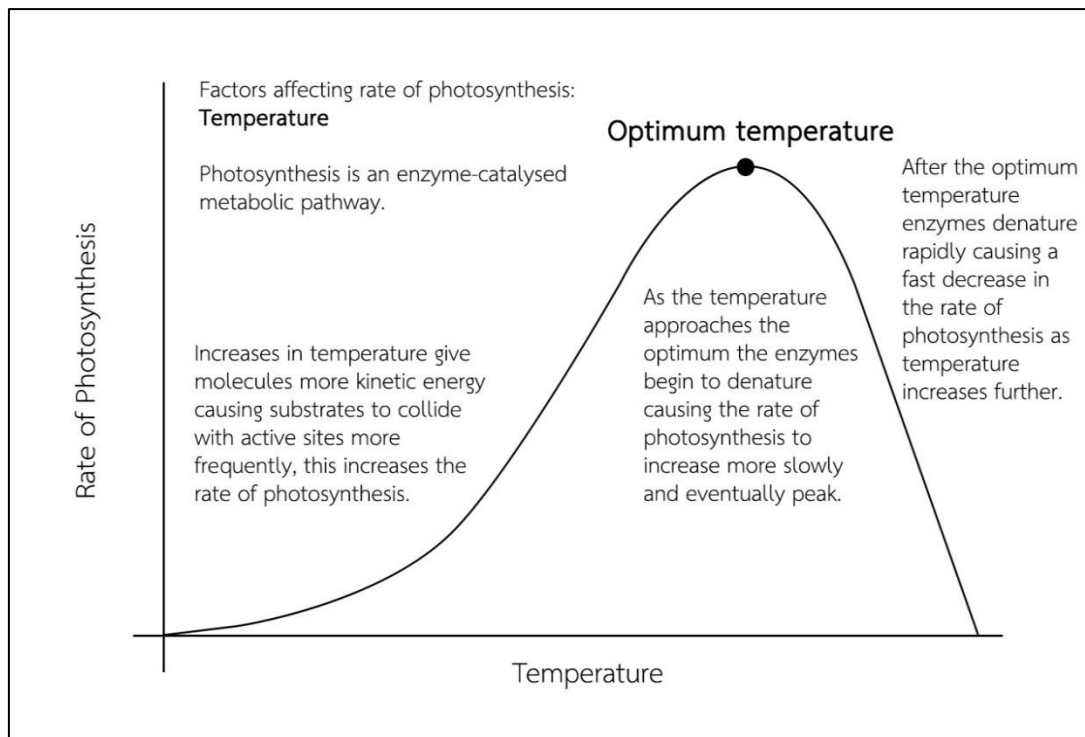
จากการทบทวนวรรณกรรมและงานวิจัยเกี่ยวกับปัจจัยอื่นที่ส่งผลร่วมกับปัจจัยแสง สรุปได้ว่า ควรศึกษาปริมาณคาร์บอนไดออกไซด์และอุณหภูมิอากาศที่เหมาะสมสำหรับพืชในงานวิจัย และทำการควบคุมปริมาณคาร์บอนไดออกไซด์และอุณหภูมิอากาศให้มีความใกล้เคียงกันในแต่ละกรรมวิธีการวิจัย



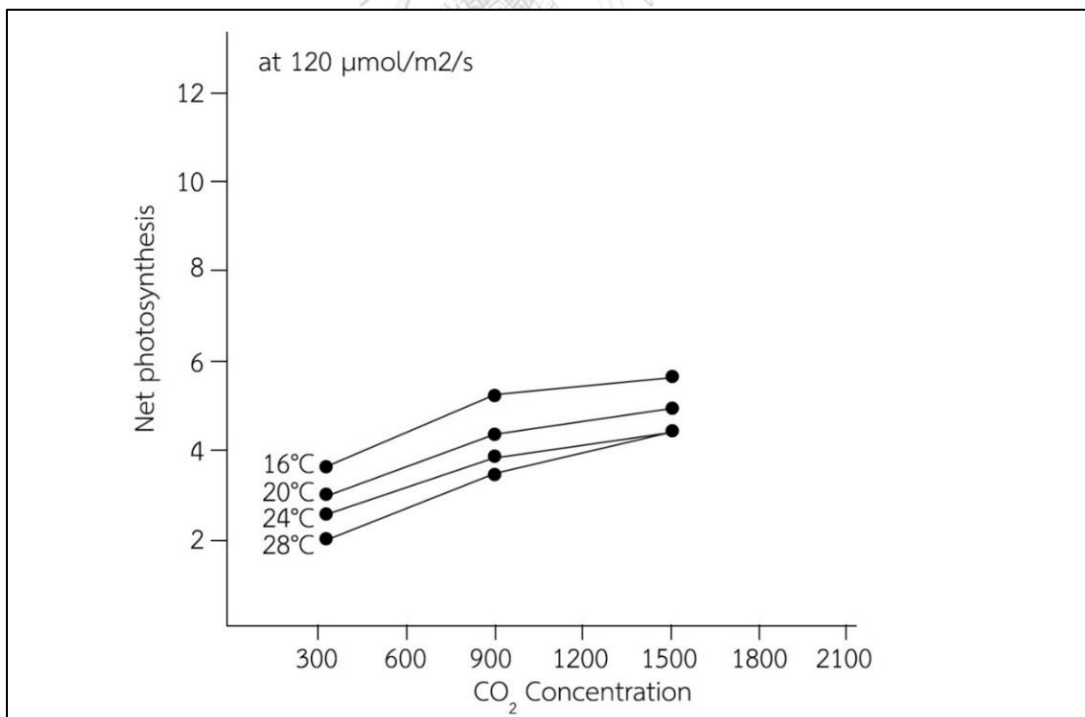
ภาพที่ 11 กราฟ CO<sub>2</sub> Saturation Point (Smullen, 2015)



ภาพที่ 12 กราฟแสดงผลการทดสอบอัตราการสังเคราะห์แสงของบีโกเนีย 1 (Mortensen and Ulsaker, 1985)



ภาพที่ 13 กราฟ Optimum Temperature (Smullen, 2015)



ภาพที่ 14 กราฟแสดงผลการทดสอบอัตราการสังเคราะห์แสงของบีโกเนีย 2 (Mortensen and Ulsaker, 1985)

## 2.4. วรรณกรรมและงานวิจัยเกี่ยวกับพืชตัวอย่าง

ทำการทบทวนวรรณกรรมและงานวิจัยเกี่ยวกับ การเจริญเติบโตของกัญชา และ การเจริญเติบโตของดาวเรือง โดยมีรายละเอียดดังต่อไปนี้

### 2.4.1. การเจริญเติบโตของกัญชา

*Cannabis sativa* L. (กัญชา) มีชื่อสามัญว่า Marijuana เป็นไม้ล้มลุกฤดูเดียว นิยมขยายพันธุ์โดยการเพาะเมล็ดและการปักชำ เหมาะสำหรับการปลูกในดินร่วนที่ระบายน้ำได้ดี และมีธาตุอาหารสูง โดยมีรายละเอียดสำหรับการปลูกกัญชาในระยะต่าง ๆ ดังต่อไปนี้ (Fluence Bioengineering, 2019) (วรสันต์ บูรณากาญจน์, 2562)

ในระยะอนุบาลพืช (Establishment stage) การเพาะเมล็ด และการปักชำ นิยมปลูกภายใต้ระดับความเข้มแสง  $100-300 \mu\text{mol}/\text{m}^2/\text{s}$  และ  $75-150 \mu\text{mol}/\text{m}^2/\text{s}$  ตามลำดับ ความยาวของช่วงที่ได้รับแสง 16-18 hr/day ปริมาณคาร์บอนไดออกไซด์ 400 ppm อุณหภูมิอากาศ  $21.1-26.7 \text{ }^{\circ}\text{C}$  ความชื้นสัมพัทธ์ในอากาศ 60-80%

ในระยะทำใบ (Vegetative stage) หลังจากย้ายต้นกล้าลงปลูก นิยมปลูกภายใต้ระดับความเข้มแสง  $300-600 \mu\text{mol}/\text{m}^2/\text{s}$  ความยาวของช่วงที่ได้รับแสง 16-18 hr/day ปริมาณคาร์บอนไดออกไซด์ 400-800 ppm อุณหภูมิอากาศ  $20.0-28.9 \text{ }^{\circ}\text{C}$  ความชื้นสัมพัทธ์ในอากาศ 55-75%

ในระยะทำดอก (Reproductive stage) หลังจากเจริญเติบโตในระยะทำใบโดยสมบูรณ์ นิยมปลูกภายใต้ระดับความเข้มแสง  $600-900 \mu\text{mol}/\text{m}^2/\text{s}$  ความยาวของช่วงที่ได้รับแสง 12 hr/day ปริมาณคาร์บอนไดออกไซด์ 800-1400 ppm อุณหภูมิอากาศ  $20.0-28.9 \text{ }^{\circ}\text{C}$  ความชื้นสัมพัทธ์ในอากาศ 50-60%

ภายใต้โครงการวิจัยตามหนังสือสำคัญที่ 7/2562 (ปลูก) คณะผลิตกรรมการเกษตร มหาวิทยาลัยแม่โจ้ ทำการทดสอบนำร่องจุดอิ่มตัวของแสง (Light saturation point) ของใบกัญชาพันธุ์หางกระรอกในระยะทำ โดยทำการวัดค่าการสังเคราะห์แสง (อัตราการตรึง  $\text{CO}_2$  ของใบกัญชา : ค่า A) ที่ตำแหน่ง ฐานพุ่ม, กลางพุ่ม, และ เรือนยอด (ตำแหน่งละ 2 ใบ) ที่ระดับความเข้มแสง 500, 1000, 1500, 2000 และ  $2500 \mu\text{mol}/\text{m}^2/\text{s}$  ทำการทดสอบซ้ำจำนวน 4 ต้น แล้วนำผลที่บันทึกได้มาหาค่าเฉลี่ยของใบแต่ละตำแหน่ง

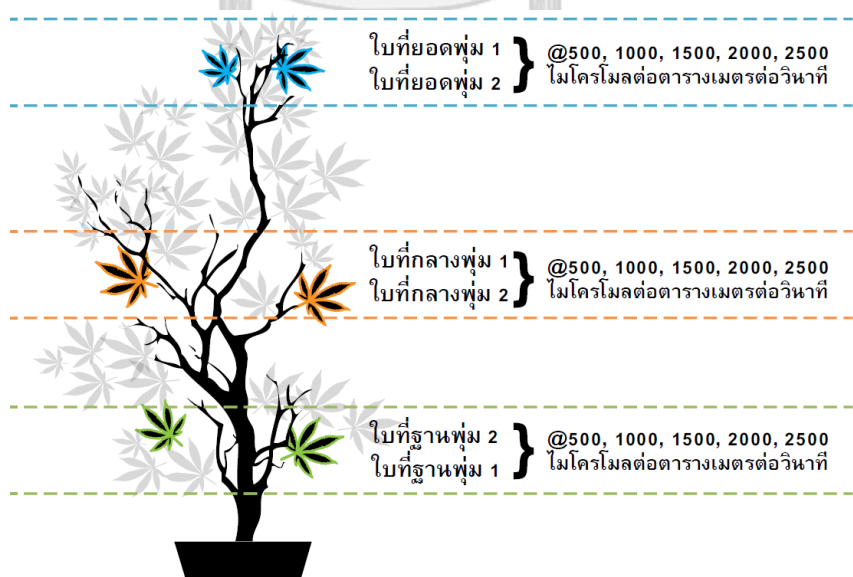
ทำการทดสอบด้วยเครื่องวัดการสังเคราะห์แสงแบบพกพา รุ่น LCpro T ของ ADC Bioscientific ตัวเครื่องมี Sensor วัดแสงในตัว รองรับความเข้มแสง  $0-2500 \mu\text{mol}/\text{m}^2/\text{s}$

และปริมาณ  $\text{CO}_2$  ในบรรยากาศ 0-2000 ppm ทำการทดสอบด้วยแสงหลอดแอลอีดีรุ่น HLCL450BL ของ L&E สภาพแวดล้อมของสถานที่ทดสอบ อุณหภูมิอากาศ  $22^\circ\text{C}$ , ความชื้นสัมพัทธ์ในอากาศ 55%, ปริมาณ  $\text{CO}_2$  ในบรรยากาศ 500 ppm (ห้องควบคุม)

ผลการทดสอบพบว่า จุดอิ่มตัวของแสง (Light saturation) ของใบกัญชาที่ตำแหน่งเรือนยอด, กลางพุ่ม และ ฐานพุ่ม มีค่าเท่ากับ 2000, 1500, และ 1500  $\mu\text{mol}/\text{m}^2/\text{s}$  ตามลำดับ ความเข้มแสงที่ระดับ 500  $\mu\text{mol}/\text{m}^2/\text{s}$  ส่งผลให้ค่าการสังเคราะห์ของใบแต่ละตำแหน่งมีความใกล้เคียงกันมากที่สุด

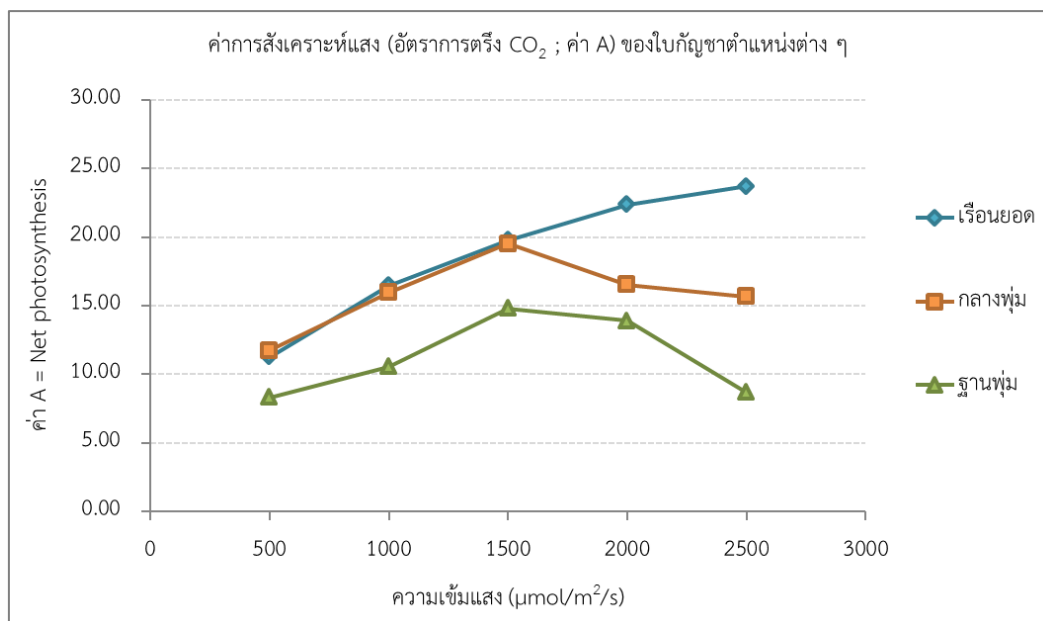


ภาพที่ 15 อุปกรณ์วัดค่าการสังเคราะห์แสงที่ใบกัญชา



ภาพที่ 16 วิธีการวัดค่าสังเคราะห์แสงที่ใบกัญชา





ภาพที่ 17 แผนภูมิแสดงค่าการสังเคราะห์แสงที่ใบกล้วยชา

หลังจากต้นกล้วยชาเจริญเติบโตจนสามารถเก็บเกี่ยวผลผลิตได้ ทำการบันทึกผลการเจริญเติบโตส่วนต่าง ๆ ของกล้วยชาที่พบการนำไปใช้ประโยชน์ในปัจจุบัน ดังต่อไปนี้

รากกล้วยชา : นำเข้าตำรับยาสมุนไพร

ลำต้นกล้วยชา : นำเข้าตำรับยาสมุนไพร, ใช้เส้นใยทำเครื่องนุ่งห่ม-สิ่งทอ กระจาดยวีสตุก่อสร้าง และ อุปกรณ์รถยนต์

ใบกล้วยชา : นำเข้าตำรับยาสมุนไพร, สกัดสารเพื่อนำไปใช้ในยาแผนปัจจุบัน, นำมาประกอบอาหารและเครื่องดื่มสำหรับมนุษย์, และใช้เลี้ยงสัตว์

ดอกกล้วยชา : (ดอกเทศเมีย) นำเข้าตำรับยาสมุนไพร และ การสกัดสารเพื่อนำไปใช้ในยาแผนปัจจุบัน (เป็นส่วนที่มีสารสกัดมากที่สุด)

#### 2.4.2. การเจริญเติบโตของดาวเรือง

*Tagetes erecta* L. (ดาวเรือง) มีชื่อสามัญว่า African Marigold หรือ Marigold เป็นไม้ล้มลุกเนื้ออ่อน นิยมขยายพันธุ์โดยการเพาะเมล็ด เหมาะสำหรับการปลูกในดินร่วนที่ระบายน้ำได้ดี โดยมีรายละเอียดสำหรับการปลูkdาวเรืองดังต่อไปนี้ (พรทิพย์ เจริญพิพัฒพงษ์, 2537)

ดาวเรืองเป็นพืชกลางแจ้ง เหมาะสำหรับการเจริญเติบโตภายใต้ความเข้มแสงสูง สามารถเจริญเติบโตได้ดีและไม่พบผลเสียต่อผลผลิตดอกในสภาพภูมิอากาศของประเทศไทย การปลูkdาวเรืองโดยส่วนใหญ่จึงนิยมปลูกลงกลางแจ้งตามธรรมชาติ โดยมีการควบคุมความเข้มแสงในบางช่วงเท่านั้น

ระยะอนุบาลพืช (Establishment stage) ในช่วงเมล็ดเริ่มงอกนิยมปลูกลงภายใต้แสงอาทิตย์ที่มีการพรางแสง 80% ในช่วงที่เริ่มมีใบเลี้ยงนิยมปลูกลงภายใต้แสงอาทิตย์ที่มีการพรางแสง 50% และในช่วงที่เริ่มมีใบจริงนิยมปลูกลงภายใต้แสงอาทิตย์โดยไม่ต้องพรางแสง หลังจากย้ายต้นกล้าลงปลูกลง ในระยะทำใบ (Vegetative stage) และ ระยะทำดอก (Reproductive stage) สามารถปลูกลงกลางแจ้งภายใต้แสงอาทิตย์โดยไม่ต้องพรางแสง

จากการศึกษาตัวอย่างงานวิจัยเกี่ยวกับการเจริญเติบโตของดาวเรือง พบว่า ในการทดลองของ PanAmericanSeed (2020) ทำการทดลองปลูkdาวเรือง โดยกำหนดให้ความยาวของช่วงที่ได้รับแสงมีความแตกต่างกัน ประกอบด้วย 10, 12, 13, 14 และ 16 ชั่วโมงต่อวัน (ปริมาณแสงรวมต่อวัน =  $10.6 \text{ mol/m}^2/\text{d}$ ) อุณหภูมิอากาศ  $25^{\circ}\text{C}$  ผลการทดลองพบว่า ดาวเรืองที่ปลูกลงภายใต้ความยาวของช่วงที่ได้รับแสง 10 และ 12 ชั่วโมงต่อวัน มีจำนวนดอกบานมากที่สุดและใช้ระยะเวลาในการออกดอกสั้นที่สุด ส่วนกรรมวิธีที่ดาวเรืองได้รับแสง 13, 14 และ 16 ชั่วโมงต่อวัน มีจำนวนดอกบานน้อยกว่าแต่มีความสูงต้นและจำนวนใบมากกว่า

ในการทดลองของ Owen and Lopez (2016) พบว่า การปลูkdาวเรืองโดยกำหนดให้ความยาวของช่วงที่ได้รับแสงมีความแตกต่างกัน ประกอบด้วย 10, 13, และ 16 ชั่วโมงต่อวัน ภายใต้การควบคุมปริมาณแสงรวมต่อวัน  $8.4$  และ  $17.6 \text{ mol/m}^2/\text{d}$  อุณหภูมิอากาศ  $18-20^{\circ}\text{C}$  ผลการทดลองพบว่า ดาวเรืองที่ปลูกลงภายใต้ความยาวของช่วงที่ได้รับแสง 10 ชั่วโมงต่อวัน มีจำนวนดอกบานมากที่สุดและใช้ระยะเวลาในการออกดอกสั้นที่สุด ส่วนกรรมวิธีที่ดาวเรืองได้รับแสง 13 และ 16 ชั่วโมงต่อวัน มีจำนวนดอกบานน้อยกว่าแต่มีความสูงต้นและจำนวนใบมากกว่า และดาวเรืองที่ปลูกลงภายใต้กรรมวิธีที่ได้รับปริมาณแสงรวมต่อ

วัน 17.6 mol/m<sup>2</sup>/d มีภาพรวมการเจริญเติบโตที่ดีกว่า 8.4 mol/m<sup>2</sup>/d โดยที่ดาวเรืองสามารถเจริญเติบโตและออกดอกได้ภายใต้ปริมาณแสงรวมต่อวันทั้งสองกรณี

จากผลงานวิจัยทั้งสองชิ้นสรุปได้ว่า ดาวเรือง สามารถปลูกภายใต้ปริมาณแสงรวมต่อวัน 8.4-17.6 mol/m<sup>2</sup>/d ได้อย่างสมบูรณ์ และเหมาะสำหรับการปลูกภายใต้ความยาวของช่วงที่ได้รับแสง 10 ชั่วโมงต่อวัน



หลังจากต้นดาวเรืองเจริญเติบโตจนสามารถเก็บเกี่ยวผลผลิตได้ ทำการบันทึกผลการเจริญเติบโตส่วนต่าง ๆ ของดาวเรืองที่พบการนำไปใช้ประโยชน์ในปัจจุบัน ดังต่อไปนี้

รากดาวเรือง : นำเข้าตำรับยาสมุนไพร, โถกอบป้องกันศัตรูพืช

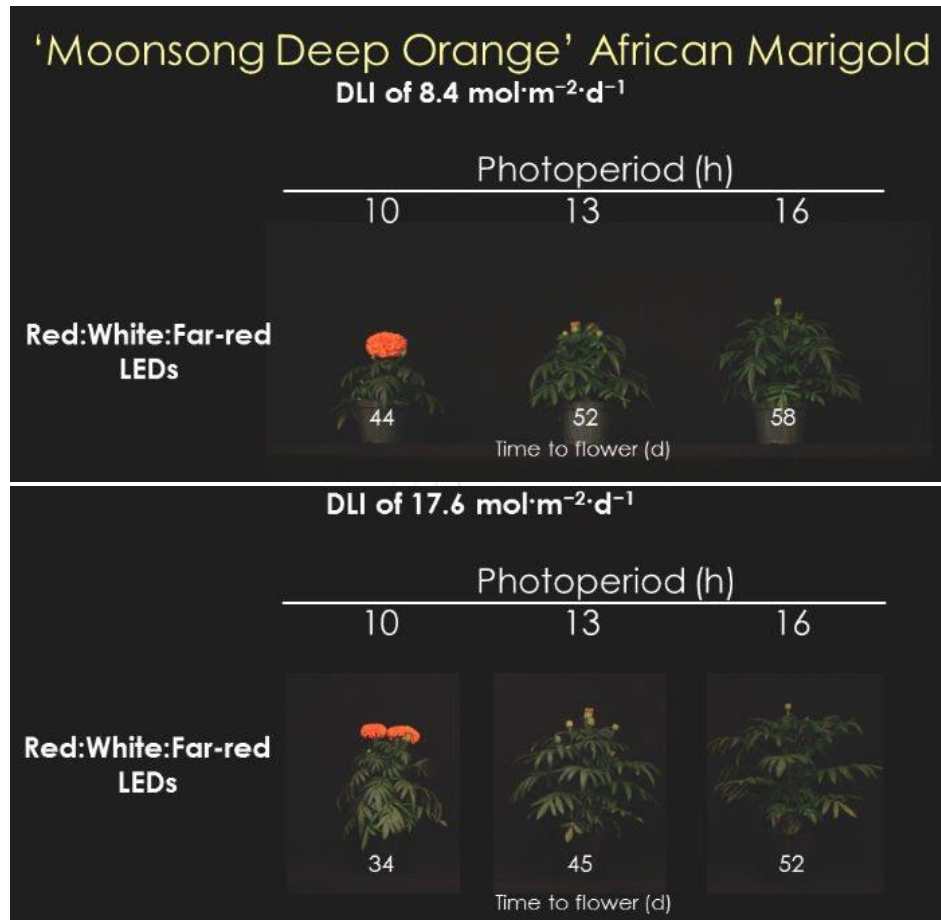
ลำต้นดาวเรือง : นำเข้าตำรับยาสมุนไพร, โถกอบป้องกันศัตรูพืช

ใบดาวเรือง : นำเข้าตำรับยาสมุนไพร

ดอกดาวเรือง : บุษาล้างศักดิ์สิทธิ์, ประดับตกแต่ง, สีย้อมผ้า, นำเข้าตำรับยาสมุนไพร, นำมาประกอบอาหารสำหรับมนุษย์, และใช้เลี้ยงสัตว์

hr/Days	10	12	13	14	16	NI
Days	52	56	73	77	80	81
						
Days	48	54	66	78	77	79
						

ภาพที่ 18 ผลการทดลองปลูกดาวเรืองของ Pan American Seed  
(PanAmericanSeed, 2020)



ภาพที่ 19 ผลการทดลองปลูกดาวเรืองของ Owen และ Lopez  
(Owen and Lopez, 2016)

### บทที่ 3

#### ระเบียบวิธีดำเนินงานวิจัย

##### 3.1. สรุปข้อมูลสำหรับการออกแบบวิธีดำเนินงานวิจัย

จากการทบทวนวรรณกรรมและงานวิจัยที่เกี่ยวข้อง สามารถสรุปข้อมูลสำหรับการออกแบบวิธีดำเนินงานวิจัย ดังต่อไปนี้

###### 3.1.1. ตัวแปรอิสระ

ช่วงความยาวคลื่นแสง : จากพฤติกรรมการดูดซับแสงของใบพืช ควรเปรียบเทียบผลการเจริญเติบโตระหว่างการปลูกภายใต้ช่วงความยาวคลื่นแสงจากหลอดแอลอีดีและช่วงความยาวคลื่นแสงจากแสงอาทิตย์

มุมมองเสาแผ่นสะท้อนแสง : จากแนวโน้มการกระตุ้นการสังเคราะห์แสงบริเวณใต้ใบ ควรเปรียบเทียบผลการเจริญเติบโตระหว่างการปลูกภายใต้แผ่นสะท้อนแสงเอียงทำมุม 60° และแผ่นสะท้อนแสงเอียงทำมุม 90° จากระนาบพื้น

แหล่งพลังงานไฟฟ้าสำหรับหลอดแอลอีดี : จากข้อจำกัดในการลดต้นทุนด้านพลังงานของหลอดแอลอีดี ควรเปรียบเทียบผลการเจริญเติบโตระหว่างการปลูกภายใต้หลอดแอลอีดีกระแสตรงเชื่อมต่อโซลาเซลล์กระแสตรง (DC) และ หลอดแอลอีดีกระแสสลับเชื่อมต่อไฟบ้านกระแสสลับ (AC)

###### 3.1.2. ตัวแปรควบคุม

การเจริญเติบโตของกัญชา (Fluence Bioengineering, 2019; วรสิทธิ์ บุรณากาญจน์, 2562) : กำหนดให้  $DLI =$  ปริมาณโฟตอนแสงรวมที่พืชได้รับในหนึ่งวัน ;  $DLI = PPFD \times \text{light hours per day} \times (3600/1,000,000)$ ,  $CO_2 =$  ปริมาณคาร์บอนไดออกไซด์, Temp = อุณหภูมิอากาศ, และ RH% = ความชื้นสัมพัทธ์ในอากาศ

- ระยะอนุบาลพืช (ปักชำ) :  $DLI = 4.3-9.7 \text{ mol/m}^2/\text{d}$  (ความเข้มแสง 75-150  $\mu\text{mol/m}^2/\text{s}$ , ความยาวของช่วงที่ได้รับแสง 16-18 hr/day),  $CO_2 = 400 \text{ ppm}$ , Temp = 21.1-26.7°C, และ RH% = 60-80%

- ระยะทำใบ : DLI = 17.3-38.9 mol/m<sup>2</sup>/d (ความเข้มแสง 300-600 μmol/m<sup>2</sup>/s, ความยาวของช่วงที่ได้รับแสง 16-18 hr/day), CO<sub>2</sub> = 400-800 ppm, Temp = 20.0-28.9°C, และ RH% = 55-75%
- ระยะทำดอก : DLI = 25.9-38.9 mol/m<sup>2</sup>/d (ความเข้มแสง 600-900 μmol/m<sup>2</sup>/s, ความยาวของช่วงที่ได้รับแสง 12 hr/day), CO<sub>2</sub> = 800-1400 ppm, Temp = 20.0-28.9°C, และ RH% = 50-60%

การเจริญเติบโตของดาวเรือง (Owen and Lopez, 2016; PanAmericanSeed, 2020) : กำหนดให้ DLI = ปริมาณโฟตอนแสงรวมที่พืชได้รับในหนึ่งวัน ; DLI = PPFD x light hours per day x (3600/1,000,000), CO<sub>2</sub> = ปริมาณคาร์บอนไดออกไซด์, Temp = อุณหภูมิอากาศ, และ RH% = ความชื้นสัมพัทธ์ในอากาศ

- ทุกระยะการเจริญเติบโต : DLI = 8.4-17.6 mol/m<sup>2</sup>/d (ความเข้มแสง 200-600 μmol/m<sup>2</sup>/s, ความยาวของช่วงที่ได้รับแสง 8-12 hr/day), CO<sub>2</sub>, Temp, และ RH% = สภาพแวดล้อม (พรทิพย์ เจริญพิวัฒน์พงษ์, 2537)

## 3.2. การออกแบบวิธีดำเนินงานวิจัย

นำข้อมูลตัวแปรอิสระและตัวแปรควบคุมจากการสรุปข้อมูล มาใช้ในการออกแบบวิธีดำเนินงานให้มีความสอดคล้องกับวัตถุประสงค์ในงานวิจัย เพื่อศึกษาอิทธิพลของช่วงความยาวคลื่นแสง, มุมองศาแผ่นสะท้อนแสง, และแหล่งพลังงานไฟฟ้าสำหรับหลอดแอลอีดี ต่อลักษณะการเจริญเติบโตของพืช (กัญชาและดาวเรือง)

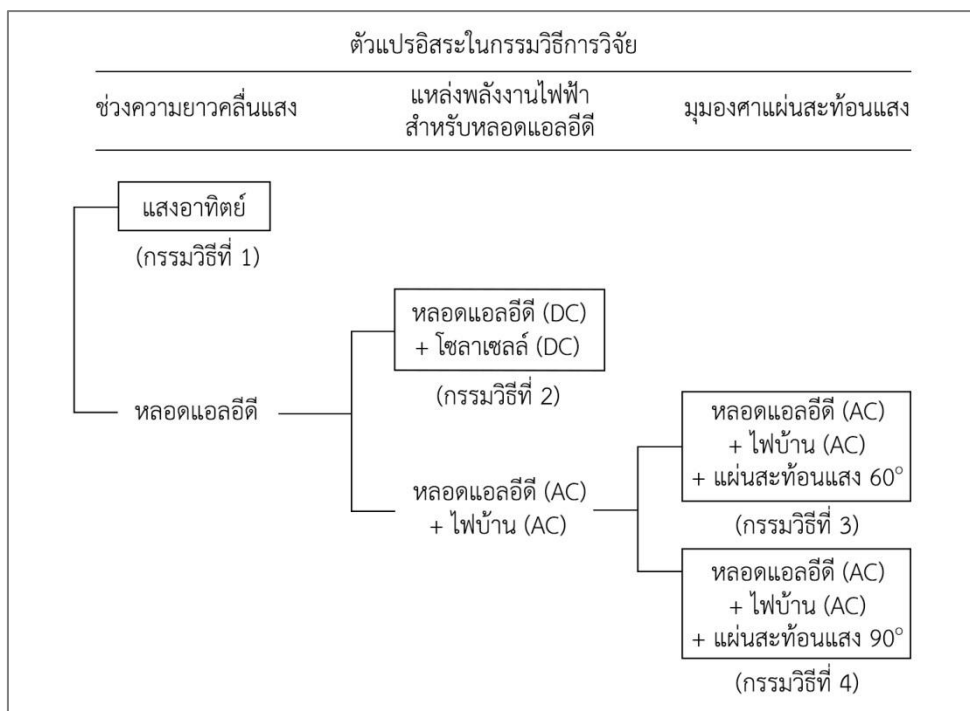
### 3.2.1. การออกแบบกรรมวิธีการวิจัย

- การออกแบบตัวแปรอิสระในกรรมวิธีการวิจัย

จากตัวแปรช่วงความยาวคลื่นแสง จำแนกแหล่งกำเนิดแสงในกรรมวิธีการวิจัยเป็น 2 ชนิด ประกอบด้วย แสงอาทิตย์ (กรรมวิธีที่ 1) และ หลอดแอลอีดี

จากตัวแปรแหล่งพลังงานไฟฟ้าสำหรับหลอดแอลอีดี จำแนกหลอดแอลอีดีเป็น 2 ระบบ ประกอบด้วย หลอดแอลอีดีกระแสตรงเชื่อมต่อโซลาเซลล์กระแสตรง (กรรมวิธีที่ 2) และ หลอดแอลอีดีกระแสสลับเชื่อมต่อไฟบ้านกระแสสลับ

จากตัวแปรมุมมองสามเหลี่ยมมุมฉาก ประดิษฐ์แผ่นสะท้อนแสงทำการวิจัยร่วมกับหลอดแอลอีดีกระแสสลับเชื่อมต่อไฟบ้านกระแสสลับ 2 แบบ ประกอบด้วย แผ่นสะท้อนแสงเอียงทำมุม  $60^{\circ}$  (กรรมวิธีที่ 3) และ เอียงทำมุม  $90^{\circ}$  (กรรมวิธีที่ 4) จากระนาบพื้น

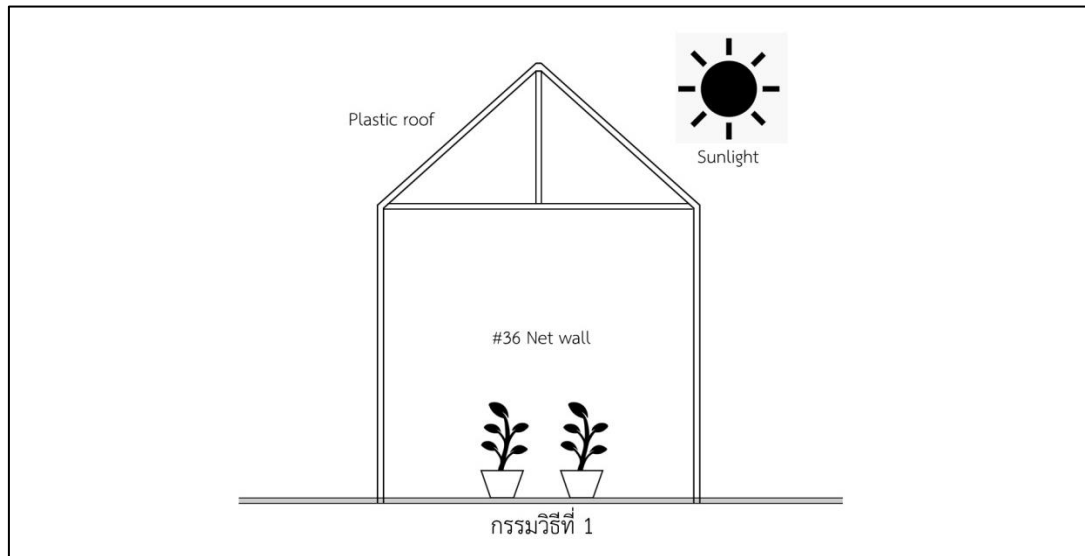


ภาพที่ 20 ผังการออกแบบตัวแปรอิสระในงานวิจัย

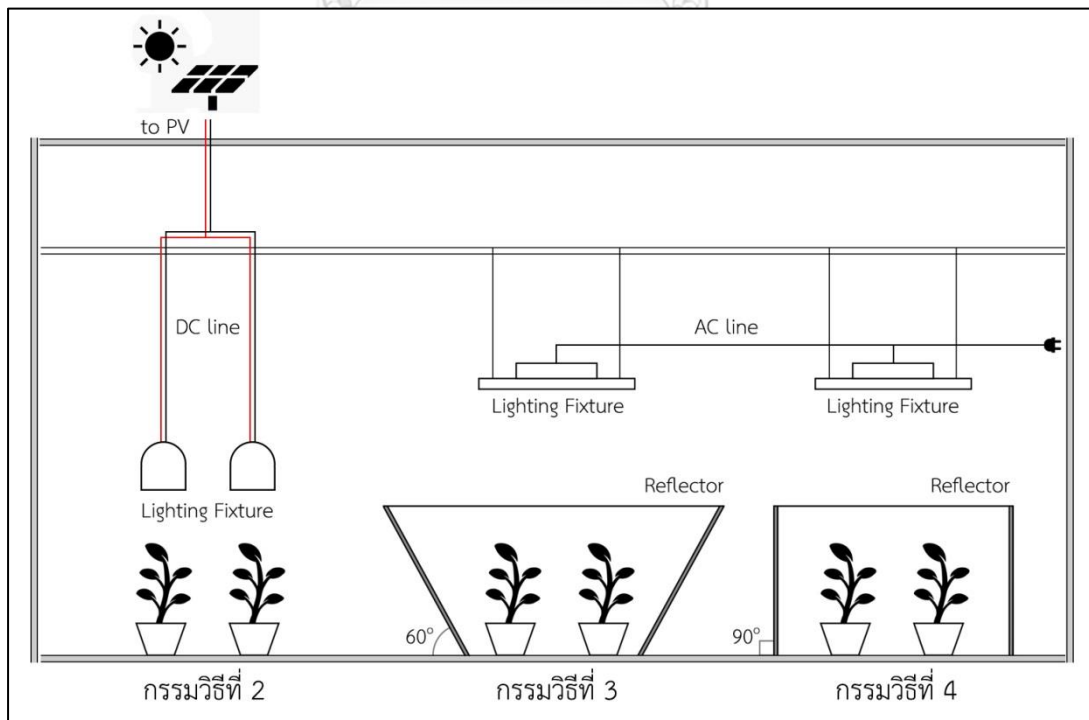
โดยมีรายละเอียดการออกแบบตัวแปรอิสระในกรรมวิธีการวิจัยดังต่อไปนี้

- กรรมวิธีที่ 1 : ปลุกพืชในโรงเรือน ภายใต้แสงอาทิตย์สัดส่วนช่วงความยาวคลื่นแสงที่วัดได้ R: G: B = 1.11 : 1.20 : 1.00  $\mu\text{mol}/\text{m}^2/\text{s}$
- กรรมวิธีที่ 2 : ปลุกพืชในห้องควบคุมแสง ภายใต้แสงจากหลอดแอลอีดี 36W แรงดันไฟฟ้า 12-85V จำนวน 6 หลอด เชื่อมต่อแผงโซลาเซลล์กำลังผลิตไฟฟ้า 360W แรงดันไฟฟ้า 36V ด้วยสายไฟ DC โดยไม่ผ่านตัวแปลงกระแสไฟฟ้าและการประจุแบตเตอรี่ สัดส่วนช่วงความยาวคลื่นแสง R: G: B = 2.53 : 2.67 : 1.00  $\mu\text{mol}/\text{m}^2/\text{s}$  (ทำใบ) และ R: G: B = 1.47 : 1.83 : 1.00  $\mu\text{mol}/\text{m}^2/\text{s}$  (ทำดอก)
- กรรมวิธีที่ 3 : ปลุกพืชในห้องควบคุมแสง ภายใต้แสงจากหลอดแอลอีดี 240W แรงดันไฟฟ้า 220-240V เชื่อมต่อไฟบ้าน AC ติดตั้งแผ่นสะท้อนแสงประดิษฐ์จากกระดาษลูกฟูกปิดผิวด้วยกระดาษวาดเขียนสีขาวด้าน เอียงทำมุม  $60^{\circ}$  จากระนาบพื้น สัดส่วนช่วงความยาวคลื่นแสง R: G: B = 2.04 : 2.12 : 1.00  $\mu\text{mol}/\text{m}^2/\text{s}$

- กรรมวิธีที่ 4 : ปลูกพืชในห้องควบคุมแสง ภายใต้แสงจากหลอดแอลอีดี 240W แรงดันไฟฟ้า 220-240V เชื่อมต่อไฟบ้าน AC ติดตั้งแผ่นสะท้อนแสงประดิษฐ์จากกระดาษลูกฟูกปิดผิวด้วยกระดาษวาดเขียนสีขาวด้าน เอียงทำมุม 90° จากระนาบพื้น สัดส่วนช่วงความยาวคลื่นแสง R: G: B = 2.04 : 2.12 : 1.00  $\mu\text{mol}/\text{m}^2/\text{s}$



ภาพที่ 21 ตัวแปรอิสระในกรรมวิธีการวิจัยที่ 1



ภาพที่ 22 ตัวแปรอิสระในกรรมวิธีการวิจัยที่ 2, 3 และ 4 ตามลำดับ



- การควบคุมตัวแปรอื่นในกรรมวิธีการวิจัย

หลังจากการออกแบบตัวแปรอิสระในกรรมวิธีการวิจัย นำข้อมูลของตัวแปรควบคุมมาใช้ในการควบคุมตัวแปรอื่นให้มีความเหมาะสมต่อการเจริญเติบโตของพืชตัวอย่าง กำหนดให้  $DLI =$  ปริมาณโฟตอนแสงรวมที่พืชได้รับในหนึ่งวัน ;  $DLI = PPFD \times \text{light hours per day} \times (3600/1,000,000)$ ,  $CO_2 =$  ปริมาณคาร์บอนไดออกไซด์, Temp = อุณหภูมิอากาศ, และ RH% = ความชื้นสัมพัทธ์ในอากาศ รายละเอียดดังต่อไปนี้

การปลูกกล้วยา (กรรมวิธีที่ 3 และ 4 : ห้องควบคุมแสง)

- ระยะเวลาใบ :  $DLI = 23.0 \text{ mol/m}^2/\text{d}$  (ความเข้มแสง  $400 \text{ } \mu\text{mol/m}^2/\text{s}$ , ความยาวของช่วงที่ได้รับแสง 16 hr/day ; 02.00-18.00 น.),  $CO_2 = 500 \text{ ppm}$ , Temp =  $27.5^\circ\text{C}$ , และ RH% = 55%
- ระยะเวลาดอก :  $DLI = 32.4 \text{ mol/m}^2/\text{d}$  (ความเข้มแสง  $750 \text{ } \mu\text{mol/m}^2/\text{s}$ , ความยาวของช่วงที่ได้รับแสง 12 hr/day ; 06.00-18.00 น.),  $CO_2 = 500 \text{ ppm}$ , Temp =  $24.5^\circ\text{C}$ , และ RH% = 55%

การปลูกดาวเรือง (กรรมวิธีที่ 1 : แสงอาทิตย์ในโรงเรือน)

- ระยะเวลาใบ :  $DLI = 10.8 \text{ mol/m}^2/\text{d}$  (ความเข้มแสงเฉลี่ย  $300 \text{ } \mu\text{mol/m}^2/\text{s}$ , ความยาวของช่วงที่ได้รับแสง 10 hr/day ; 07.00-17.00 น.),  $CO_2$ , Temp, และ RH% ตามสภาพแวดล้อม\*
- ระยะเวลาดอก :  $DLI = 15.8 \text{ mol/m}^2/\text{d}$  (ความเข้มแสงเฉลี่ย  $450 \text{ } \mu\text{mol/m}^2/\text{s}$ , ความยาวของช่วงที่ได้รับแสง 10 hr/day ; 07.00-17.00 น.),  $CO_2$ , Temp, และ RH% ตามสภาพแวดล้อม\*

การปลูกดาวเรือง (กรรมวิธีที่ 2 : ห้องควบคุมแสง)

- ระยะเวลาใบ :  $DLI = 10.8 \text{ mol/m}^2/\text{d}$  (ความเข้มแสงเฉลี่ย  $300 \text{ } \mu\text{mol/m}^2/\text{s}$ , ความยาวของช่วงที่ได้รับแสง 10 hr/day ; 07.00-17.00 น.),  $CO_2$ , Temp, และ RH% ตามสภาพแวดล้อม\*
- ระยะเวลาดอก :  $DLI = 15.8 \text{ mol/m}^2/\text{d}$  (ความเข้มแสงเฉลี่ย  $450 \text{ } \mu\text{mol/m}^2/\text{s}$ , ความยาวของช่วงที่ได้รับแสง 10 hr/day ; 07.00-17.00 น.),  $CO_2$ , Temp, และ RH% ตามสภาพแวดล้อม\*

การปลูกดาวเรือง (กรรมวิธีที่ 3 และ 4 : ห้องควบคุมแสง)

- ระยะเวลาทำใบ : DLI = 10.8 mol/m<sup>2</sup>/d (ความเข้มแสงเฉลี่ย 400  $\mu\text{mol/m}^2/\text{s}$ , ความยาวของช่วงที่ได้รับแสง 8 hr/day ; 08.00-16.00 น.), CO<sub>2</sub>, Temp, และ RH% ตามสภาพแวดล้อม\*
- ระยะเวลาทำดอก : DLI = 15.8 mol/m<sup>2</sup>/d (ความเข้มแสงเฉลี่ย 550  $\mu\text{mol/m}^2/\text{s}$ , ความยาวของช่วงที่ได้รับแสง 8 hr/day ; 08.00-16.00 น.), CO<sub>2</sub>, Temp, และ RH% ตามสภาพแวดล้อม\*

สภาพแวดล้อมเดือนพฤศจิกายน - มกราคม ณ สถานที่วิจัย 13.666524, 100.471297 บริษัท มิ่งพง นิตติ้ง กรุ๊ป 1985 จำกัด กรรมวิธีที่ 1 บริเวณคาดฟ้าของอาคาร กรรมวิธีที่ 2, 3 และ 4 ที่ห้องควบคุมแสงบริเวณชั้นคาดฟ้าของอาคารเดียวกับกรรมวิธีที่ 1



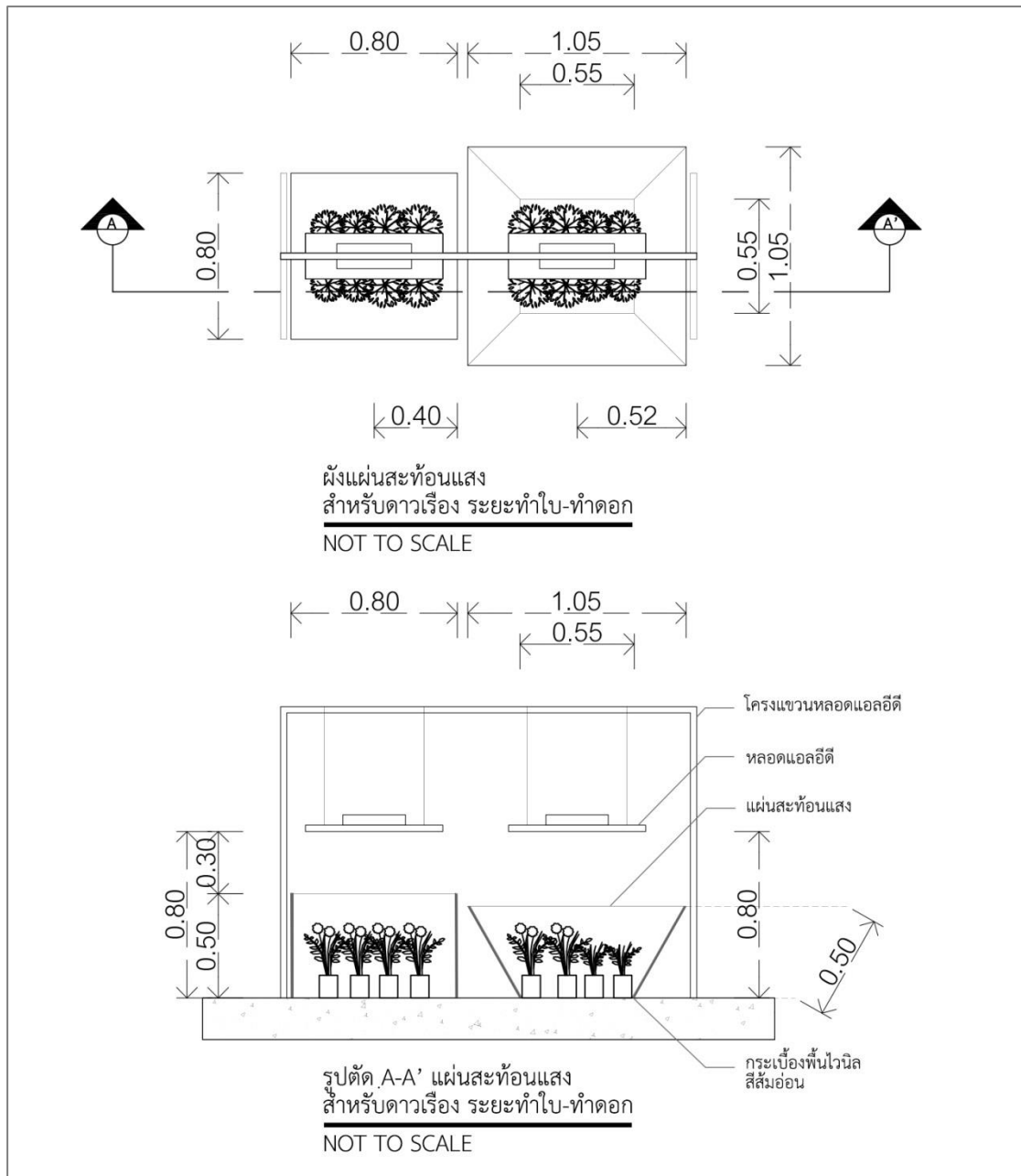
ภาพที่ 23 กรรมวิธีการวิจัยการปลูกดาวเรือง



ภาพที่ 24 กรรมวิธีการวิจัยการปลูกกัญชา

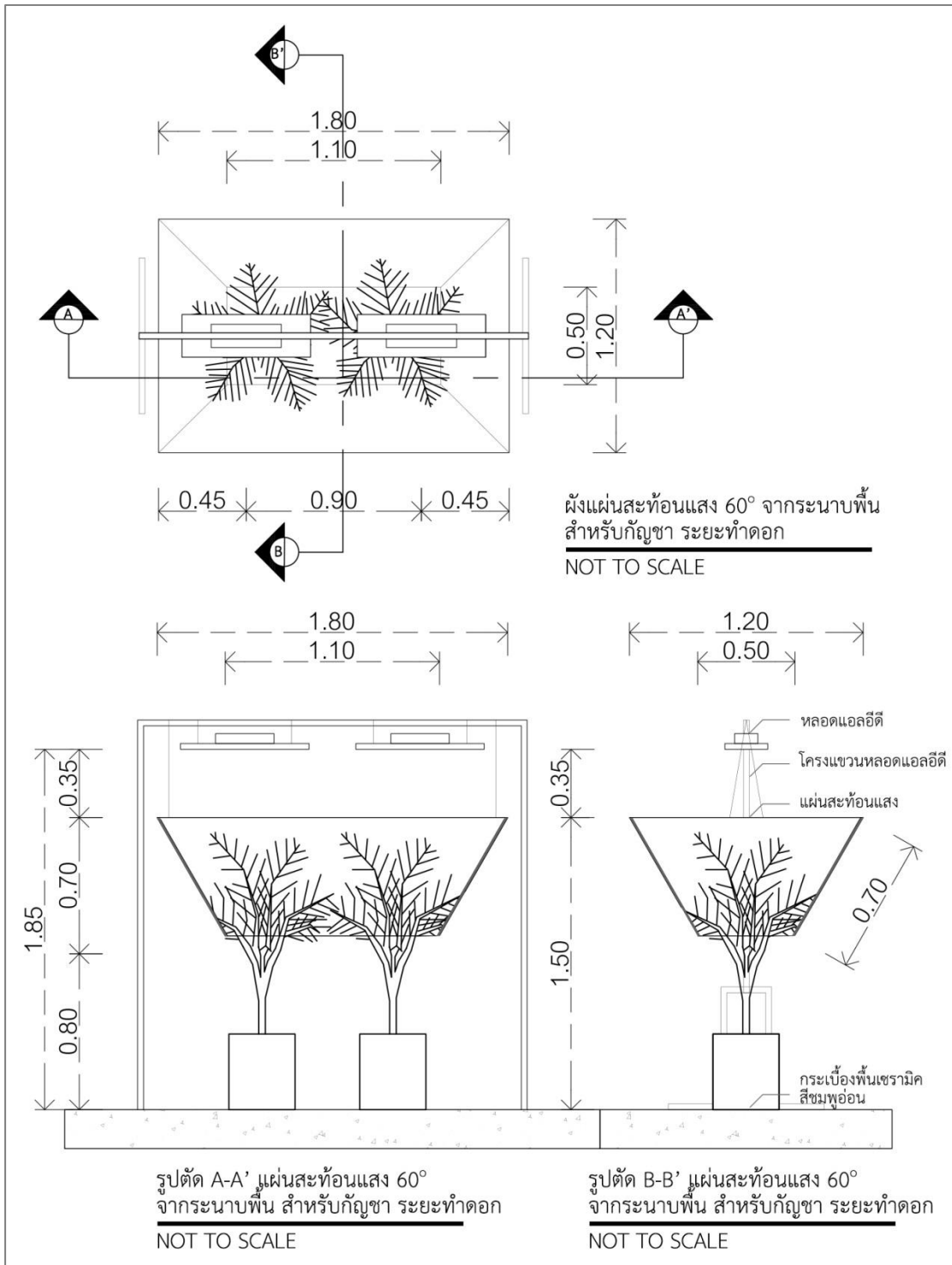
### 3.2.2. แบบการติดตั้งหลอดแอลอีดีและแผ่นสะท้อนแสงในกรรมวิธีการวิจัย

- แบบการติดตั้งสำหรับดาวเรือง ระยะทำใบ-ทำดอก



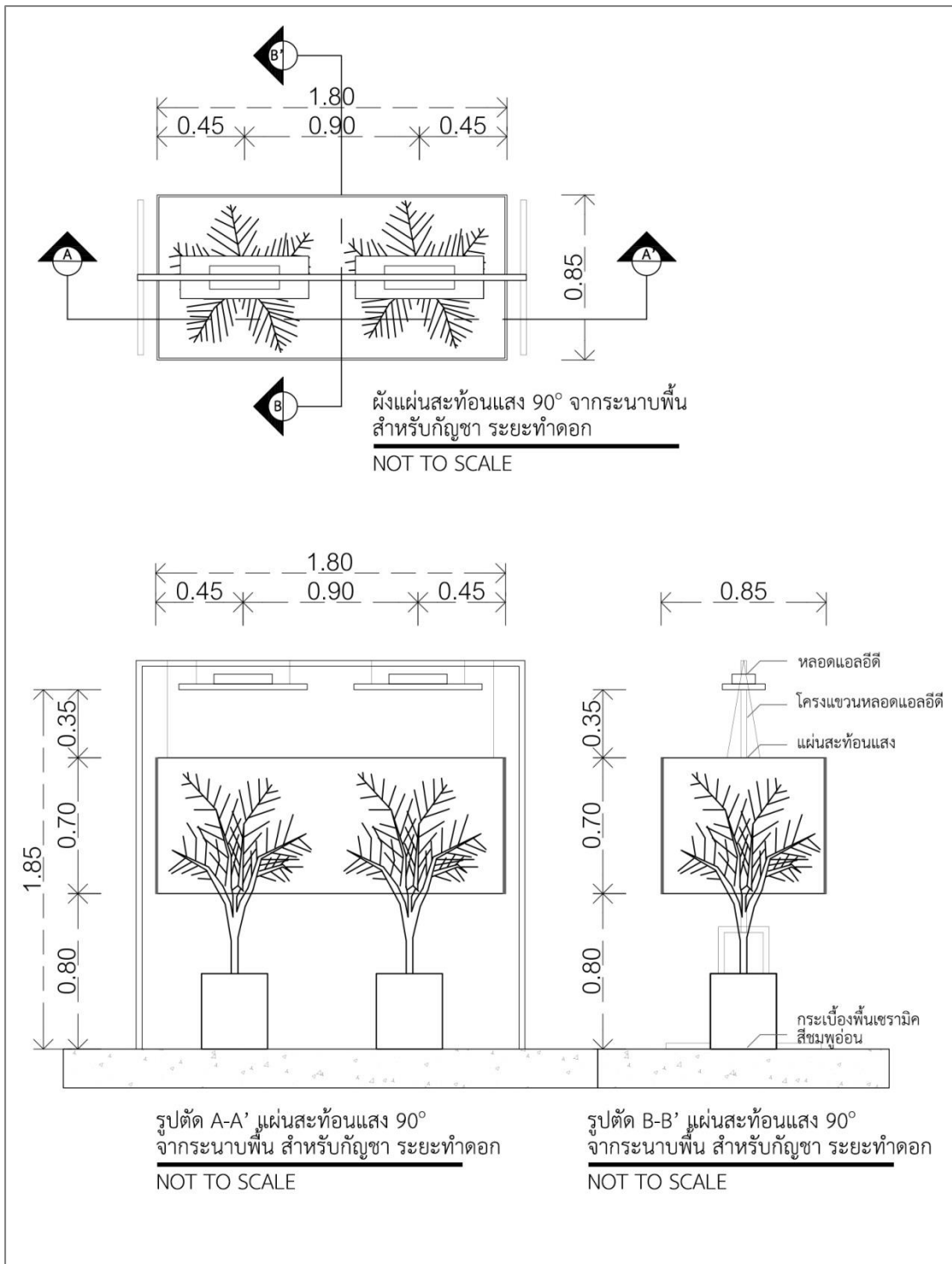
ภาพที่ 25 แบบการติดตั้งหลอดแอลอีดีและแผ่นสะท้อนแสง 1

- แบบการติดตั้งสำหรับกล้วยา ระยะทำดอก



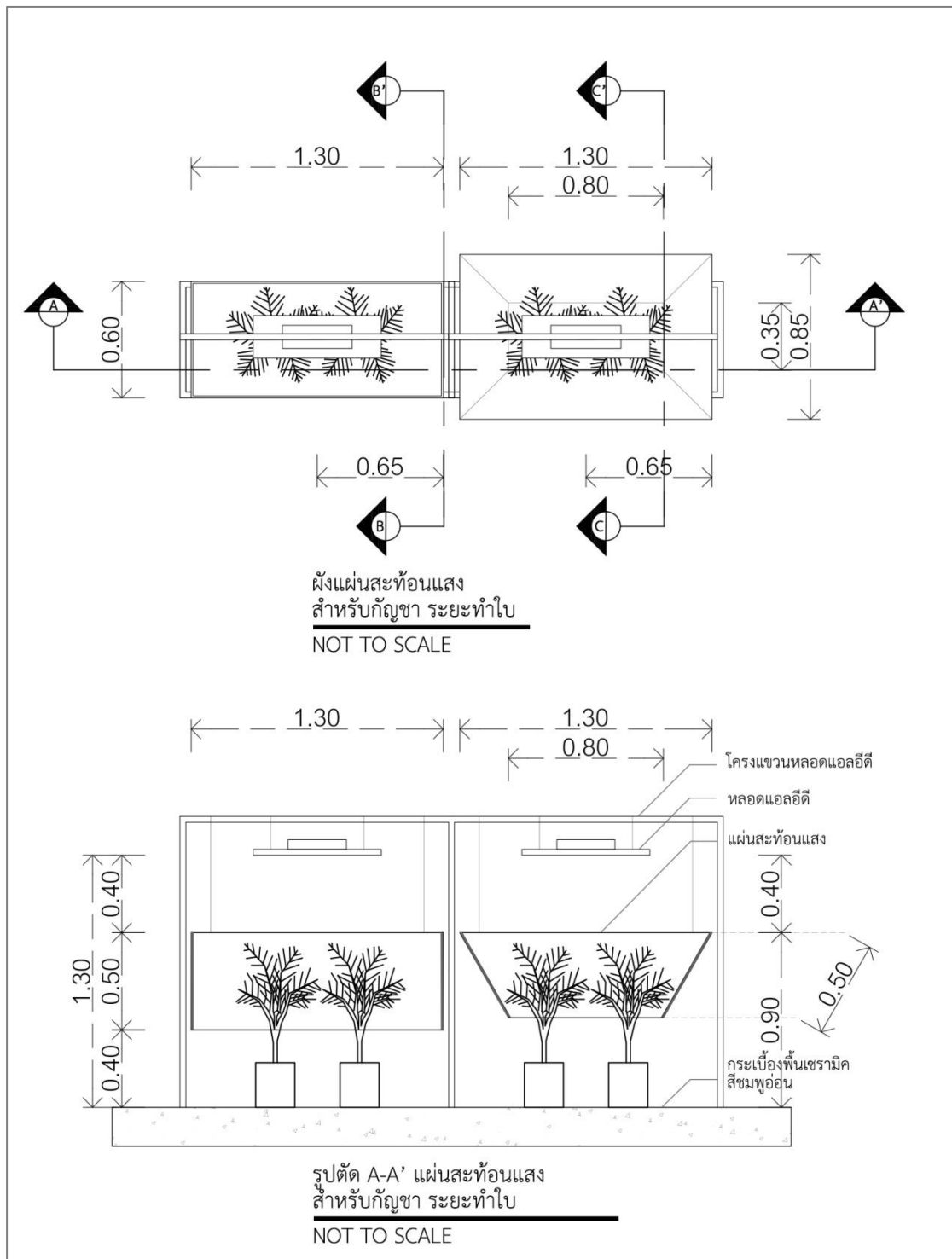
ภาพที่ 26 แบบการติดตั้งหลอดแอลอีดีและแผ่นสะท้อนแสง 2



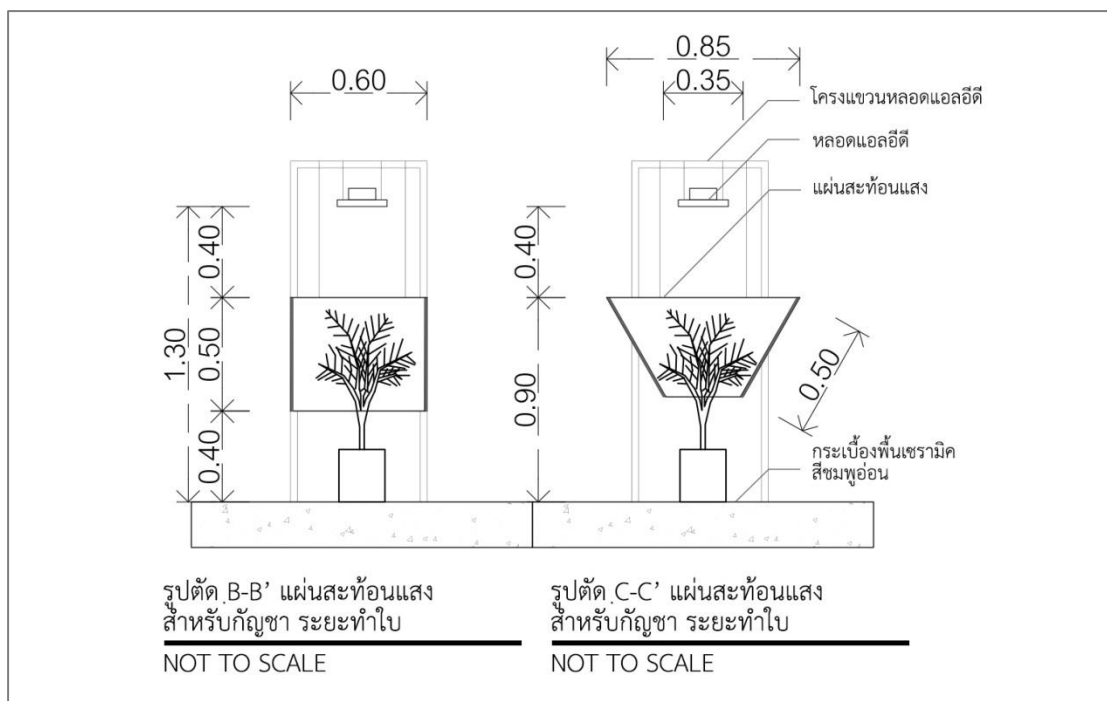


ภาพที่ 27 แบบการติดตั้งหลดแอลอีดีและแผ่นสะท้อนแสง 3

- แบบการติดตั้งสำหรับกัญชาระยะทำใบ



ภาพที่ 28 แบบการติดตั้งหลอดแอลอีดีและแผ่นสะท้อนแสง 4



ภาพที่ 29 แบบการติดตั้งหลอดแอลอีดีและแผ่นสะท้อนแสง 4 (ต่อ)

### 3.2.2. รายละเอียดอุปกรณ์ที่ใช้ในกรรมวิธีการวิจัย

- แหล่งกำเนิดแสงในงานวิจัย

แสงในกรรมวิธีที่ 1 ใช้แสงอาทิตย์จากธรรมชาติ, แสงในกรรมวิธีที่ 2 ใช้หลอดแอลอีดี 36W แรงดันไฟฟ้า 12-85V, แสงในกรรมวิธีที่ 3 และ 4 ใช้หลอดแอลอีดี 240W แรงดันไฟฟ้า 220-240V ทำการวัดแสงทั้ง 4 กรรมวิธีด้วยเครื่องวัดความเข้มแสงและช่วงความยาวคลื่นแสง รุ่น PG100N Handheld Spectral PAR meter ของ UPRtek วัดแสงในช่วง Photosynthetically Active Radiation (PAR) 400-700 นาโนเมตร ช่วงความยาวคลื่นแสงแสดงในรูปแบบกราฟสเปกตรัมแสง ครอบคลุมช่วงความยาวคลื่นแสง 380-780 นาโนเมตร และ ความเข้มแสงแสดงในรูปแบบ PPFD (400-700 nm.) ; PFD-R (400-500 nm.), PFD-G (500-600 nm.), PFD-B (600-700 nm.)

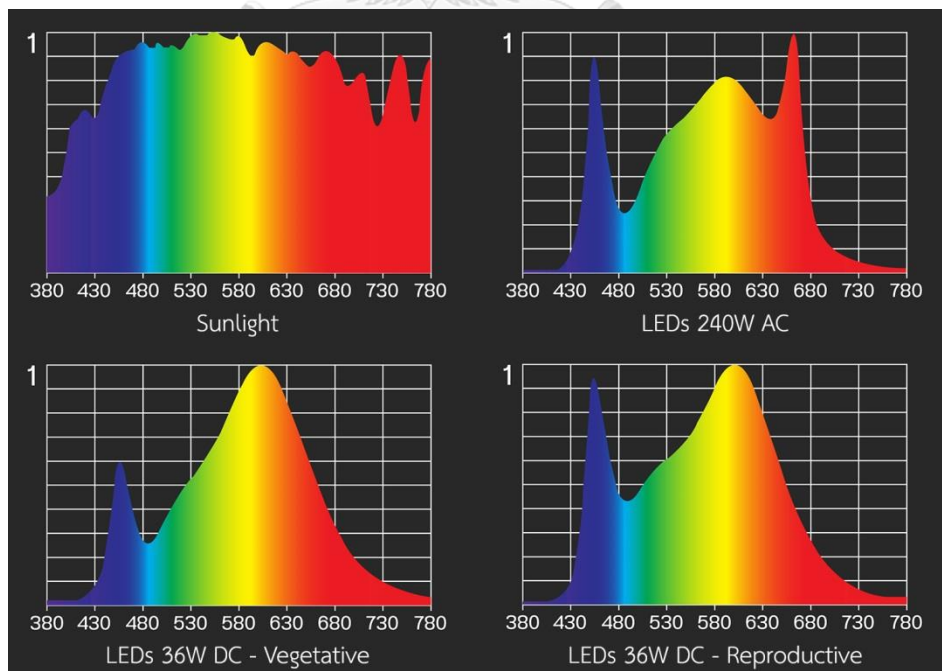




ภาพที่ 30 หลอดแอลอีดี 36W 12-85V, และ หลอดแอลอีดี 240W 220-240V



ภาพที่ 31 การวัดค่าแสงด้วย Spectrometer



ภาพที่ 32 สเปกตรัมแสงของแสงอาทิตย์และหลอดแอลอีดี

- แผ่นสะท้อนแสง

แผ่นสะท้อนแสงประดิษฐ์จากกระดาษลูกฟูกปิดผิวด้วยกระดาษวาดเขียนสีขาวด้าน แผ่นสะท้อนแสงเอียงทำมุม 60° และ 90° จากระนาบพื้น วัดค่าความเข้มแสงที่สะท้อนเข้าสู่ด้านข้างของต้นพืชที่บริเวณโคนต้น, กลางพุ่ม, และเรือนยอด ของพืชตัวอย่างด้วย PG100N ของ UPRtek โดยหัน Sensor วัดแสงเข้าหาแผ่นสะท้อนแสงตั้งฉากกับระนาบพื้นที่ระดับ 10 ซม. (โคนต้น), 20 ซม. (กลางพุ่ม) และ 30 ซม. (เรือนยอด) จากระดับพื้น

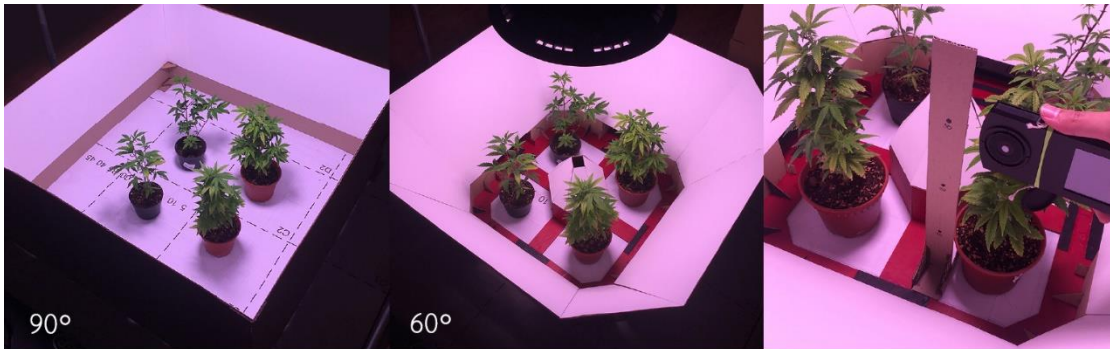
เปรียบเทียบปริมาณการสะท้อนแสงระหว่างแผ่นสะท้อนแสง 60° และ 90° จากระนาบพื้นโดยใช้แผ่นสะท้อนแสง 60° เป็นเกณฑ์ พบว่า

- ปริมาณแสงรวมทุกจุดที่สะท้อนเข้าสู่ด้านข้างต้นพืชของแผ่นสะท้อนแสง 60° สูงกว่า 90° = 32.28%
- ปริมาณแสงเฉลี่ยบริเวณเรือนยอดที่สะท้อนเข้าสู่ด้านข้างต้นพืชของแผ่นสะท้อนแสง 60° สูงกว่า 90° = 39.73%
- ปริมาณแสงเฉลี่ยบริเวณกลางพุ่มที่สะท้อนเข้าสู่ด้านข้างต้นพืชของแผ่นสะท้อนแสง 60° สูงกว่า 90° = 35.31%
- ปริมาณแสงเฉลี่ยบริเวณโคนต้นที่สะท้อนเข้าสู่ด้านข้างต้นพืชของแผ่นสะท้อนแสง 60° สูงกว่า 90° = 20.74%

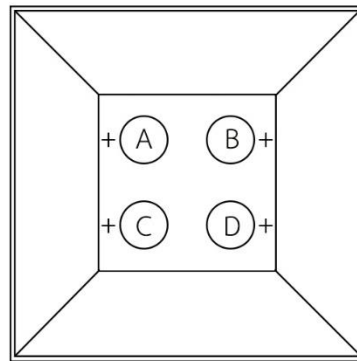
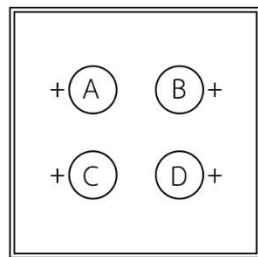
วัดค่าความเข้มแสงที่สะท้อนเข้าสู่บริเวณเหนือใบพืชที่บริเวณกลางพุ่มและเรือนยอดของพืชตัวอย่างด้วย PG100N ของ UPRtek โดยหัน Sensor วัดแสงรับแสงด้านบนใบพืช

เปรียบเทียบปริมาณการสะท้อนแสงระหว่างแผ่นสะท้อนแสงทำมุม 60° จากระนาบพื้น, แผ่นสะท้อนแสงทำมุม 90° จากระนาบพื้น และ ไม่มีแผ่นสะท้อนแสง โดยใช้แผ่นสะท้อนแสง 60° เป็นเกณฑ์ พบว่า

- ปริมาณแสงรวมทุกจุดที่สะท้อนสู่บริเวณเหนือใบพืชของแผ่นสะท้อนแสง 60° สูงกว่า 90° = 2.91%
- ปริมาณแสงรวมทุกจุดที่สะท้อนสู่บริเวณเหนือใบพืชของแผ่นสะท้อนแสง 60° สูงกว่า ไม่มีแผ่นสะท้อนแสง = 17.11%



Top view

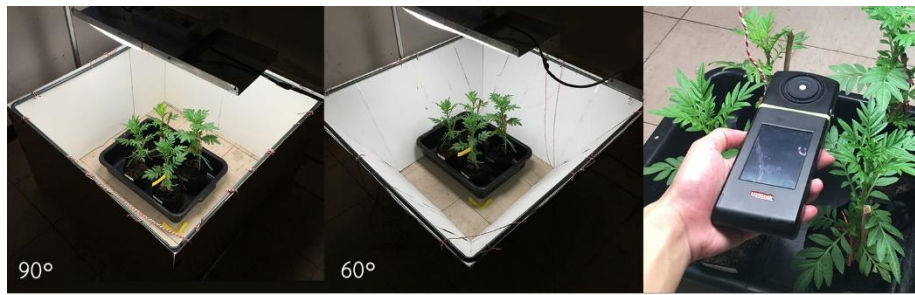


○ = Sample plant    + = Measured point

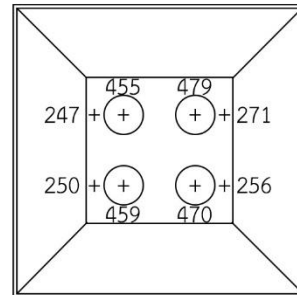
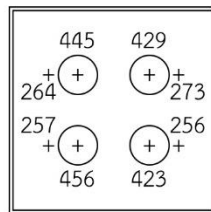
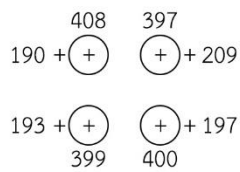
@ Top (30 cm. from floor level)  
 @ Mid (20 cm. from floor level)  
 @ Bottom (10 cm. from floor level)

Reflector titled 90° (μmol/m <sup>2</sup> /s)				Reflector titled 60° (μmol/m <sup>2</sup> /s)			
point A		point B		point A		point B	
Top	33.71	Top	36.77	Top	57.39	Top	66.73
Mid	44.66	Mid	44.56	Mid	67.43	Mid	74.53
Bottom	45.61	Bottom	47.11	Bottom	52.75	Bottom	56.23
point C		point D		point C		point D	
Top	37.86	Top	39.70	Top	61.19	Top	60.34
Mid	45.44	Mid	46.90	Mid	69.42	Mid	69.24
Bottom	46.33	Bottom	47.69	Bottom	62.69	Bottom	63.98

ภาพที่ 33 วิธีวัดปริมาณการสะท้อนแสงเข้าด้านข้างต้นพืช



Top view



$\textcircled{\phantom{+}}$  = Sample plant      $\textcircled{+}$  = Measured point at Top ( $\mu\text{mol}/\text{m}^2/\text{s}$ )     + = Measured point at Mid ( $\mu\text{mol}/\text{m}^2/\text{s}$ )

ภาพที่ 34 วิธีวัดปริมาณการสะท้อนแสงบริเวณเหนือใบพืช

- ระบบโซลาเซลล์กระแสตรง

แหล่งพลังงานไฟฟ้าในกรรมวิธีที่ 2 ใช้แผงโซลาเซลล์กำลังผลิตไฟฟ้า 360W แรงดันไฟฟ้า 36V เข้ากับหลอดแอลอีดี 36W จำนวน 6 หลอด ด้วยสายไฟ PV1-F ขนาด 4 มม. สายสีแดงและสีดำ โดยไม่ผ่านตัวแปลงกระแสไฟฟ้าและแบตเตอรี่ จำนวน 2 ชุด



ภาพที่ 35 การติดตั้งแผงโซลาเซลล์



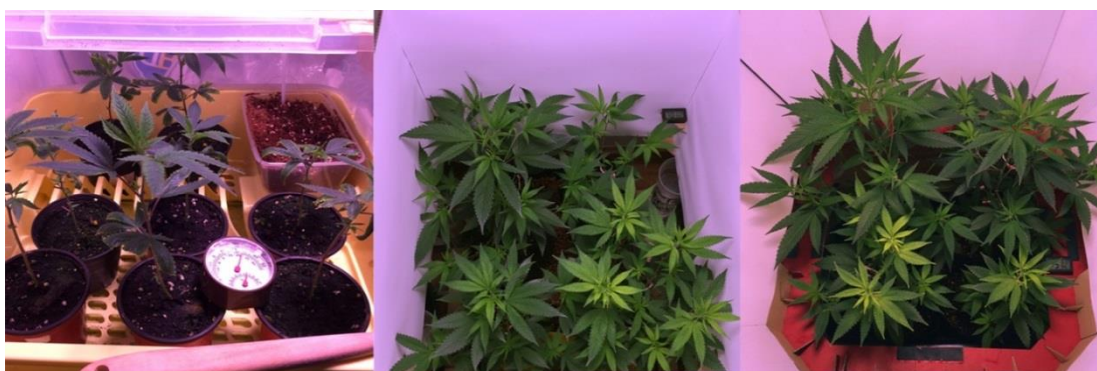
- พืชตัวอย่างในงานวิจัย

กัญชา : ปักชำกิ่งกัญชาสายพันธุ์ทางกระรอก โดยใช้วัสดุปลูก ดิน : เพอร์ไลท์ : เวอร์มิคูไลท์ อัตราส่วน 0.6 : 0.3 : 0.1 เตรียมตัวอย่างพืชสำหรับงานวิจัย 2 ชุด, ชุดละ 2 กรรมวิธี, กรรมวิธีละ 2 ต้น (รวม 8 ต้น)

- ชุดที่ 1 : ปักชำและปลูกภายใต้ DLI = 8.6 mol/m<sup>2</sup>/d (ความเข้มแสง 150 μmol/m<sup>2</sup>/s, ความยาวของช่วงที่ได้รับแสง 16 hr/day ; 02.00-18.00 น.), CO<sub>2</sub> = 500 ppm, Temp = 24.5°C, และ RH% = 65-75% จนมีอายุ 45 วัน (เตรียมทำใบ)
- ชุดที่ 2 : หลังจากระยะปักชำ ปลูกภายใต้ DLI = 23.0 mol/m<sup>2</sup>/d (ความเข้มแสง 400 μmol/m<sup>2</sup>/s, ความยาวของช่วงที่ได้รับแสง 16 hr/day ; 02.00-18.00 น.), CO<sub>2</sub> = 500 ppm, Temp = 27.5°C, และ RH% = 65-75% จนมีอายุ 95 วัน (เตรียมทำดอก)

ดาวเรือง : เพาะเมล็ดดาวเรืองพันธุ์เทวี F1 โดยใช้วัสดุปลูก ดิน : แกลบเผา : แกลบดิบ อัตราส่วน 1:1:1 ผสมกับขุยมะพร้าวและกาบมะพร้าวสับละเอียดเล็กน้อย เตรียมพืชตัวอย่างสำหรับงานวิจัย 2 ชุด, ชุดละ 4 กรรมวิธี, กรรมวิธีละ 4 ต้น (รวม 32 ต้น)

- ชุดที่ 1 : เพาะเมล็ดและย้ายปลูกภายใต้แสงอาทิตย์ตามสภาพแวดล้อมธรรมชาติ จนมีอายุ 25 วัน (เตรียมทำใบ)
- ชุดที่ 2 : เพาะเมล็ดและย้ายปลูกภายใต้แสงอาทิตย์ตามสภาพแวดล้อมธรรมชาติจนมีอายุ 45 วัน (เตรียมทำดอก)



ภาพที่ 36 การเตรียมตัวอย่างกัญชา



ภาพที่ 37 การเตรียมตัวอย่างดาวเรือง

### 3.3. การบันทึกผลงานวิจัย

จากวัตถุประสงค์ในงานวิจัยเพื่อศึกษาลักษณะการเจริญเติบโตของพืช และพืชตัวอย่างในงานวิจัยประกอบด้วย กัญชา (จากการขอความอนุเคราะห์ให้ตัวอย่างพืช-ไม่สามารถตัดชิ้นส่วนได้) และ ดาวเรือง (ตัวอย่างพืชของผู้วิจัย-ตัดชิ้นส่วนได้) สามารถจำแนกรายผลการการบันทึกผลเป็น 2 ด้าน ได้แก่ การเจริญเติบโตด้านการสร้างมวล (ตัดชิ้นส่วน) และ การเจริญเติบโตด้านปริมาณเพื่อเปรียบเทียบการสร้างมวล (ไม่ตัดชิ้นส่วน)

#### 3.3.1. การเจริญเติบโตด้านการสร้างมวล

- น้ำหนักแห้ง

กัญชา : ไม่สามารถตัดชิ้นส่วนจากพืชตัวอย่างได้

ดาวเรือง : ตัดชิ้นส่วนของพืชตัวอย่างไปทำแห้งโดยการนำตากในที่ร่มและอากาศถ่ายเท ไม่ถูกแดด และไม่สัมผัสลมโดยตรง เป็นเวลา 10-14 วัน หลังจากกระบวนการทำแห้ง

นำชิ้นส่วนไปชั่งน้ำหนักด้วยเครื่องชั่งดิจิตอลแบบพกพา รุ่น 200 g x 0.01 g ของ Telecorsa, ทศนิยม 2 ตำแหน่ง, หน่วยกรัม ทำการบันทึกชิ้นส่วนราก, ลำต้น, ใบ และ ดอก

### 3.3.2. การเจริญเติบโตด้านปริมาณเพื่อเปรียบเทียบการสร้างมวล

#### - จำนวนใบ

กัญชา และ ดาวเรือง : บันทึกจำนวนใบรวมทั้งต้นโดยไม่จำแนกขนาดใบ เนื่องจากไม่สามารถเด็ดใบจากต้นพืชตัวอย่างกัญชามาวัดขนาดได้

#### - จำนวนดอก

กัญชา : บันทึกจำนวนดอกจำแนกตามการเจริญเติบโตของดอกขณะบันทึกผล โดยจำแนกเป็น ดอกเดี่ยว, ดอกคู่, และ ช่อดอก (เจริญเติบโตเต็มที่)

ดาวเรือง : บันทึกจำนวนดอกจำแนกตามการเจริญเติบโตของดอกขณะบันทึกผล โดยจำแนกเป็น ช่อดอก, ดอกตูม, ดอกแย้ม, และ ดอกบาน (เจริญเติบโตเต็มที่)

#### - ปริมาตรดอก

กัญชา : บันทึกปริมาตรช่อดอก

ดาวเรือง : บันทึกปริมาตรดอกบาน

บันทึกความกว้างดอก, ความยาวดอก และ ความสูงดอก ด้วยเครื่องวัดความหนา ดิจิตอล (Digital Caliper) ทศนิยม 1 ตำแหน่ง แล้วนำมาคำนวณปริมาตรในหน่วย ลบ.ซม.

#### - ขนาดทรงพุ่ม

กัญชา และ ดาวเรือง : ความสูงต้น บันทึกโดยใช้เชือกทาบวัดที่ตำแหน่งโคนต้นชิดหน้าดินจนถึงยอดลำต้นแล้วนำเชือกมาเทียบกับตลับเมตร, ความกว้างพุ่ม บันทึกโดยใช้เชือกทาบวัดที่ตำแหน่งปลายใบด้านซ้ายสุดจนถึงปลายใบด้านขวาสุดแล้วนำเชือกมาเทียบกับตลับเมตร, ความยาวพุ่ม ใช้วิธีเดียวกับความกว้างพุ่มแต่เปลี่ยนแนวการวัดเป็นแนวกากบาทกับความกว้างพุ่ม ในหน่วยเซนติเมตร



- ลักษณะต้น

กัญชา และ ดาวเรือง : บันทึกลักษณะต้นจำแนกเป็นการบันทึกเส้นผ่านศูนย์กลางลำต้นที่ตำแหน่งฐานต้นและกลางต้น, จำนวนการแตกกิ่ง และ จำนวนการแตกยอด เส้นผ่านศูนย์กลางวัดด้วยเครื่องวัดความหนาติจิจิตอล (Digital Caliper) ทศนิยม 1 ตำแหน่ง ในหน่วยมิลลิเมตร จำนวนการแตกกิ่งนับกิ่งที่แตกออกจากลำต้นหลักที่มีการแตกในกิ่งนั้น



ภาพที่ 38 การทำแห้ง



ภาพที่ 39 การบันทึกน้ำหนักแห้ง





ภาพที่ 40 การบันทึกดอกเดี่ยว, ดอกคู่, และช่อดอกกัญชา



ภาพที่ 41 การบันทึกจำนวนตุ่มดอก, ดอกตูม, ดอกแย้ม และดอกบานดาวเรือง



ภาพที่ 42 การบันทึกปริมาตรดอกบาน



ภาพที่ 43 การบันทึกขนาดทรงพุ่ม

### 3.4. วิธีอภิปรายผลงานวิจัย

จากการออกแบบกรรมวิธีการวิจัยให้มีความสอดคล้องกับวัตถุประสงค์เพื่อศึกษาอิทธิพลของตัวแปรต่อลักษณะการเจริญเติบโตของพืช (กัญชาและดาวเรือง) สามารถออกแบบวิธีอภิปรายผลจำแนกตามการศึกษาอิทธิพลของตัวแปรได้ดังต่อไปนี้

ก) อิทธิพลของช่วงความยาวคลื่นแสง : เปรียบเทียบผลการเจริญเติบโตภายใต้ช่วงความยาวคลื่นแสงในกรรมวิธีที่ 1 แสงอาทิตย์ในโรงเรือน R: G: B = 1.11 : 1.20 : 1.00  $\mu\text{mol}/\text{m}^2/\text{s}$ , กรรมวิธีที่ 2 แสงจากหลอดแอลอีดีกระแสดตรง R: G: B = 2.53 : 2.67 : 1.00  $\mu\text{mol}/\text{m}^2/\text{s}$  (ระยะทำใบ) R: G: B = 1.47 : 1.83 : 1.00  $\mu\text{mol}/\text{m}^2/\text{s}$  (ระยะทำดอก), และ กรรมวิธีที่ 3 แสงจากหลอดแอลอีดีกระแสดสลับ \*R: G: B = 2.04 : 2.12 : 1.00  $\mu\text{mol}/\text{m}^2/\text{s}$  ที่เป็นผลจากพฤติกรรมกระตุ้นแสงของใบพืช โดยไม่นำกรรมวิธีที่ 4 มาเปรียบเทียบกับเนื่องจากมีช่วงความยาวคลื่นแสงเหมือนกรรมวิธีที่ 3

ข) อิทธิพลของมุมองศาแผ่นสะท้อนแสง : เปรียบเทียบผลการเจริญเติบโตระหว่างการปลูกภายใต้แผ่นสะท้อนแสงเอียงทำมุม  $60^\circ$  จากระนาบพื้นในกรรมวิธีที่ 3 และ แผ่นสะท้อนแสงเอียงทำมุม  $90^\circ$  จากระนาบพื้นในกรรมวิธีที่ 4 ที่เป็นผลจากการกระตุ้นการสังเคราะห์แสงบริเวณใต้ใบโดยไม่ทำการประดิษฐ์แผ่นสะท้อนแสงในกรรมวิธีที่ 1 และกรรมวิธีที่ 2 เนื่องจากประดิษฐ์แผ่นสะท้อนแสงเพื่อศึกษาร่วมกับหลอดแอลอีดีรุ่นเดียวกันที่มีช่วงความยาวคลื่นแสงเหมือนกันเท่านั้น

ค) อิทธิพลของแหล่งพลังงานไฟฟ้าสำหรับหลอดแอลอีดี : เปรียบเทียบผลการเจริญเติบโตระหว่างการปลูกภายใต้หลอดแอลอีดีกระแสดตรงเชื่อมต่อโซลาเซลล์กระแสดตรงในกรรมวิธีที่ 2 และหลอดแอลอีดีกระแสดสลับเชื่อมต่อไฟบ้านกระแสดสลับในกรรมวิธีที่ 4 ที่เป็นผลจากข้อจำกัดในการลดต้นทุนด้านพลังงานของหลอดแอลอีดี โดยไม่นำกรรมวิธีที่ 1 มาเปรียบเทียบกับเนื่องจากไม่มีการใช้พลังงานไฟฟ้า และกรรมวิธีที่ 3 มีแหล่งพลังงานไฟฟ้าเหมือนกรรมวิธีที่ 4 หมายเหตุ : ช่วงความยาวคลื่นแสงในกรรมวิธีที่ 2 และ 4 มีความแตกต่างกัน

## บทที่ 4

### ผลวิจัยและอภิปรายผล

#### 4.1. รูปแบบการแสดงผลวิจัยและอภิปรายผล

จากการจำแนกรายการการบันทึกผลงานวิจัย ประกอบด้วย การเจริญเติบโตด้านการสร้างมวล (ตัดชิ้นส่วน) และ การเจริญเติบโตด้านปริมาณเพื่อเปรียบเทียบการสร้างมวล (ไม่ตัดชิ้นส่วน) ร่วมกับการออกแบบวิธีอภิปรายผลงานวิจัย ประกอบด้วย อิทธิพลของช่วงความยาวคลื่นแสง, มุมองศาแผ่นสะท้อนแสง, และ แหล่งพลังงานไฟฟ้าสำหรับหลอดแอลอีดี สามารถกำหนดรูปการแสดงผลวิจัยและวิธีอภิปรายผลได้ดังต่อไปนี้

การแสดงผลวิจัยและอภิปรายอิทธิพลของช่วงความยาวคลื่นแสง : เปรียบเทียบผลการเจริญเติบโตด้านการสร้างมวลของดาวเรือง ประกอบด้วย น้ำหนักแห้งของดาวเรือง จากการปลูกภายใต้ช่วงความยาวคลื่นแสงในกรรมวิธีที่ 1, 2, และ 3

การแสดงผลวิจัยและอภิปรายอิทธิพลของมุมองศาแผ่นสะท้อนแสง : เปรียบเทียบผลการเจริญเติบโตด้านการสร้างมวลของดาวเรือง ประกอบด้วย น้ำหนักแห้งของดาวเรือง ร่วมกับผลการเจริญเติบโตด้านปริมาณเพื่อเปรียบเทียบการสร้างมวลของกัญชาดาวเรือง ประกอบด้วย จำนวนใบ จำนวนดอก ปริมาตรดอก ขนาดทรงพุ่ม และ ลักษณะต้น ของกัญชาและดาวเรือง จากการปลูกภายใต้มุมองศาแผ่นสะท้อนแสงในกรรมวิธีที่ 3 และ 4

การแสดงผลวิจัยและอภิปรายอิทธิพลของแหล่งพลังงานไฟฟ้าสำหรับหลอดแอลอีดี : เปรียบเทียบผลการเจริญเติบโตด้านการสร้างมวลของดาวเรือง ประกอบด้วย น้ำหนักแห้งของดาวเรือง จากการปลูกภายใต้แหล่งพลังงานไฟฟ้าสำหรับหลอดแอลอีดีในกรรมวิธีที่ 2 และ 4

#### 4.2. เครื่องมือในการแสดงผลวิจัยและอภิปรายผล

นำผลงานวิจัยมาแสดงในตารางตามรูปแบบการแสดงผลวิจัยและอภิปรายผลที่กำหนดไว้ หลังจากนั้นทำการเปรียบเทียบความแตกต่างผลวิจัยของพืชตัวอย่างรายต้นด้วยการเปรียบเทียบ 3 Standard deviations เนื่องจากจำนวนพืชตัวอย่าง (ประชากร) ในแต่ละกรรมวิธีการวิจัยมีจำนวนน้อย ไม่เหมาะสมในการใช้ค่าเฉลี่ยรายกรรมวิธี

กำหนดสัญลักษณ์อธิบายผลวิจัยในตารางในรูปแบบ  $N^S$  ;  $N$  = ผลวิจัยที่บันทึกได้,  $S$  = ค่าในช่วง 3 Standard Deviations โดยแทนค่าช่วง 3 Standard Deviations ด้วยตัวเลขดังต่อไปนี้

- ช่วงระหว่าง -3SD ถึง -2SD (2.1% ของประชากร) แทนด้วย “1”  
 ช่วงระหว่าง -2SD ถึง -1SD (13.6% ของประชากร) แทนด้วย “2”  
 ช่วงระหว่าง -1SD ถึง MEAN (34.2% ของประชากร) แทนด้วย “3”  
 ช่วงระหว่าง MEAN ถึง +1SD (34.2% ของประชากร) แทนด้วย “4”  
 ช่วงระหว่าง +1SD ถึง +2SD (13.6% ของประชากร) แทนด้วย “5”  
 ช่วงระหว่าง +2SD ถึง +3SD (2.1% ของประชากร) แทนด้วย “6”

ผลวิจัยที่อยู่ในช่วง -1SD ถึง +1SD หมายถึงผลวิจัยอยู่ในกลุ่มประชากรส่วนใหญ่ (68.3% ของประชากร), ผลวิจัยที่อยู่ในช่วงตั้งแต่ +1SD ขึ้นไป หมายถึงผลวิจัยมากกว่ากลุ่มประชากรส่วนใหญ่, และ ผลวิจัยที่อยู่ในช่วงตั้งแต่ -1SD ลงมา หมายถึงผลวิจัยน้อยกว่ากลุ่มประชากรส่วนใหญ่

ตัวอย่าง	ตัวอย่าง							
	กรรมวิธีที่ 1				กรรมวิธีที่ 2			
รายการบันทึก / ต้นที่	1	2	3	4	1	2	3	4
น้ำหนักแห้ง (กรัม)								
- ราก	0.15 <sup>3</sup>	0.16 <sup>3</sup>	0.16 <sup>3</sup>	0.14 <sup>3</sup>	0.20 <sup>3</sup>	0.25 <sup>4</sup>	0.16 <sup>3</sup>	0.13 <sup>3</sup>
- ลำต้น	0.71 <sup>2</sup>	0.66 <sup>2</sup>	0.89 <sup>3</sup>	0.82 <sup>3</sup>	0.78 <sup>3</sup>	1.22 <sup>4</sup>	1.08 <sup>3</sup>	0.80 <sup>3</sup>
- ใบ	1.73 <sup>3</sup>	1.46 <sup>2</sup>	1.73 <sup>3</sup>	1.62 <sup>3</sup>	1.60 <sup>3</sup>	2.17 <sup>4</sup>	1.93 <sup>4</sup>	1.58 <sup>3</sup>

N<sup>S</sup> ; N = จำนวน, S = ค่าในช่วง 3 Standard Deviations โดยกำหนดแทนค่าตัวเลขดังนี้\*

\* -3SD > 1 > -2SD, -2SD > 2 > -1SD, -1SD > 3-4 > +1SD, +1SD > 5 > +2SD และ +2SD > 6 > +3SD

ตัวอย่าง 1 0.20<sup>3</sup> หมายถึง น้ำหนักแห้งรากของพืชตัวอย่างต้นที่ 1 ในกรรมวิธีที่ 2 มีน้ำหนัก 0.20 กรัม อยู่ในช่วงที่ 3 (-1SD ถึง MEAN) หมายถึงน้ำหนักแห้งรากอยู่ในกลุ่มประชากรส่วนใหญ่ เป็นต้น ทำการเปรียบเทียบผลวิจัยรายต้นทุกต้นจากทุกกรรมวิธีการวิจัย แล้วทำการอภิปรายแนวโน้มความแตกต่างระหว่างกรรมวิธี

#### 4.3. ระยะเวลาเจริญเติบโตของพืชที่บันทึกผลวิจัยและอภิปรายผล

เมื่อดาวเรืองในระยะทำใบมีอายุ 50 วัน พบว่า ดาวเรืองทุกต้นมีการเจริญเติบโตทางใบที่สมบูรณ์ เริ่มติดตุ่มดอก และอยู่ในช่วงปลายทำใบ และเมื่อดาวเรืองในระยะทำดอกมีอายุ 80 วัน พบว่า ดาวเรืองทุกต้นมีดอกบานสมบูรณ์และอยู่ในช่วงปลายทำดอก จึงทำการบันทึกผลการเจริญเติบโตของดาวเรืองที่ช่วงอายุดังกล่าว



เมื่อกัญชาในระยะทำใบมีอายุ 65 วัน พบว่า กัญชาทุกต้นมีการเจริญเติบโตทางใบที่สมบูรณ์ ต้นมีความแข็งแรงและอยู่ในช่วงปลายทำใบ และเมื่อกัญชาในระยะทำดอกมีอายุ 130 วัน พบว่า กัญชาทุกต้นมีช่อดอกที่เจริญเติบโตสมบูรณ์ น้ำหนักดอกเริ่มโน้มกิ่งโค้ง และอยู่ในช่วงปลายทำดอก จึงทำการบันทึกผลการเจริญเติบโตของกัญชาที่ช่วงอายุดังกล่าว



ภาพที่ 44 ต้นดาวเรืองระยะทำใบและทำดอก



ภาพที่ 45 ต้นกัญชาระยะทำใบและทำดอก

#### 4.4. ผลวิจัยและอภิปรายอิทธิพลของช่วงความยาวคลื่นแสง

เปรียบเทียบน้ำหนักแห้งของดาวเรืองที่ปลูกภายใต้ช่วงความยาวคลื่นแสงในกรรมวิธีที่ 1-3

ตารางที่ 4 การเจริญเติบโตของดาวเรืองภายใต้อิทธิพลช่วงความยาวคลื่นแสง

การเจริญเติบโตของ ดาวเรืองภายใต้อิทธิพล ช่วงความยาวคลื่นแสง	ระยะทำใบ											
	กรรมวิธีที่ 1 (แสงอาทิตย์)				กรรมวิธีที่ 2 (หลอดแอลอีดีกระแสดตรง)				กรรมวิธี ที่ 3 (หลอดแอลอีดีกระแสลับ)			
รายการบันทึก / ต้นที่	1	2	3	4	1	2	3	4	1	2	3	4
น้ำหนักแห้ง (กรัม)												
- ราก	0.50 <sup>5</sup>	0.44 <sup>5</sup>	0.53 <sup>5</sup>	0.48 <sup>5</sup>	0.15 <sup>3</sup>	0.16 <sup>3</sup>	0.16 <sup>3</sup>	0.14 <sup>3</sup>	0.21 <sup>3</sup>	0.15 <sup>3</sup>	0.20 <sup>3</sup>	0.12 <sup>3</sup>
- ลำต้น	1.83 <sup>5</sup>	1.69 <sup>5</sup>	1.79 <sup>5</sup>	1.58 <sup>5</sup>	0.71 <sup>2</sup>	0.66 <sup>2</sup>	0.89 <sup>3</sup>	0.82 <sup>3</sup>	1.39 <sup>4</sup>	0.99 <sup>3</sup>	1.15 <sup>4</sup>	0.89 <sup>3</sup>
- ใบ	2.33 <sup>5</sup>	1.83 <sup>3</sup>	2.71 <sup>6</sup>	1.98 <sup>4</sup>	1.73 <sup>3</sup>	1.46 <sup>2</sup>	1.73 <sup>3</sup>	1.62 <sup>3</sup>	2.59 <sup>5</sup>	1.68 <sup>3</sup>	2.15 <sup>4</sup>	1.69 <sup>3</sup>
	ระยะทำดอก											
รายการบันทึก / ต้นที่	1	2	3	4	1	2	3	4	1	2	3	4
น้ำหนักแห้ง (กรัม)												
- ราก	0.52 <sup>4</sup>	0.34 <sup>3</sup>	0.54 <sup>4</sup>	0.40 <sup>3</sup>	0.40 <sup>3</sup>	0.51 <sup>4</sup>	0.27 <sup>2</sup>	0.28 <sup>2</sup>	0.41 <sup>3</sup>	0.67 <sup>5</sup>	0.54 <sup>4</sup>	0.47 <sup>4</sup>
- ลำต้น	3.34 <sup>5</sup>	2.14 <sup>3</sup>	3.01 <sup>4</sup>	2.56 <sup>3</sup>	1.98 <sup>2</sup>	2.68 <sup>4</sup>	2.41 <sup>3</sup>	2.18 <sup>3</sup>	2.95 <sup>4</sup>	2.54 <sup>3</sup>	1.95 <sup>2</sup>	3.22 <sup>5</sup>
- ใบ	2.43 <sup>5</sup>	1.40 <sup>2</sup>	2.07 <sup>4</sup>	1.68 <sup>3</sup>	1.69 <sup>3</sup>	1.96 <sup>4</sup>	1.29 <sup>2</sup>	1.36 <sup>2</sup>	2.78 <sup>5</sup>	2.24 <sup>4</sup>	1.75 <sup>3</sup>	2.62 <sup>5</sup>
- ดอก	3.01 <sup>6</sup>	1.97 <sup>4</sup>	2.61 <sup>5</sup>	2.18 <sup>4</sup>	1.55 <sup>3</sup>	1.19 <sup>2</sup>	1.57 <sup>3</sup>	0.97 <sup>2</sup>	2.00 <sup>4</sup>	1.75 <sup>3</sup>	1.34 <sup>3</sup>	1.98 <sup>4</sup>

N<sup>5</sup> ; N = จำนวน, S = ค่าในช่วง 3 Standard Deviations โดยกำหนดแทนค่าตัวเลขดังนี้\*  
 \* -3SD > 1 > -2SD, -2SD > 2 > -1SD, -1SD > 3-4 > +1SD, +1SD > 5 > +2SD และ +2SD > 6 > +3SD

จากการเปรียบเทียบน้ำหนักแห้งของดาวเรืองที่ปลูกภายใต้ช่วงความยาวคลื่นแสงในกรรมวิธีที่ 1 แสงอาทิตย์ในโรงเรือน R: G: B = 1.11 : 1.20 : 1.00, กรรมวิธีที่ 2 แสงจากหลอดแอลอีดีกระแสดตรง R: G: B = 2.53 : 2.67 : 1.00 (ระยะทำใบ) R: G: B = 1.47 : 1.83 : 1.00 (ระยะทำดอก), และ กรรมวิธีที่ 3 แสงจากหลอดแอลอีดีกระแสลับ R: G: B = 2.04 : 2.12 : 1.00 พบว่า

ระยะทำใบ : การปลูกดาวเรืองภายใต้กรรมวิธีที่ 1 แสงอาทิตย์ในโรงเรือน มีน้ำหนักแห้งราก, น้ำหนักแห้งลำต้น, และ น้ำหนักแห้งใบ มากที่สุด

ระยะทำดอก : การปลูกดาวเรืองภายใต้กรรมวิธีที่ 1 แสงอาทิตย์ในโรงเรือน มีน้ำหนักแห้งลำต้น และ น้ำหนักแห้งใบ มากที่สุด ส่วนการปลูกดาวเรืองภายใต้กรรมวิธีที่ 3 แสงจากหลอดแอลอีดีกระแสลับ R: G: B = 2.04 : 2.12 : 1.00 มีน้ำหนักแห้งราก และ น้ำหนักแห้งใบ มากที่สุด

สรุปได้ว่า อิทธิพลของช่วงความยาวคลื่นแสง มีแนวโน้มส่งผลต่อพฤติกรรมการดูดซับแสงของใบพืช ช่วงความยาวคลื่นแสงที่มีสัดส่วนโฟตอนแสงสม่ำเสมอมากที่สุด (แสงอาทิตย์ในโรงเรือน R: G: B = 1.11 : 1.20 : 1.00) ส่งผลทำให้ดาวเรืองในระยะทำใบ มีการสร้างมวลทุกส่วนมากที่สุด

หลังจากการเจริญเติบโตอย่างสมบูรณ์ในระยะทำใบ (พืชตัวอย่างชุดเตรียมทำดอกของดาวเรืองปลูกภายใต้แสงอาทิตย์ในระยะทำใบ) ช่วงความยาวคลื่นแสงที่มีการเน้นแสงสีแดงและแสงสีเขียวมากกว่าสีน้ำเงินสองเท่า (แสงจากหลอดแอลอีดีกระแสสลับ R: G: B = 2.04 : 2.12 : 1.00) ส่งผลทำให้ดาวเรืองมีการสร้างมวลรากและมวลใบมากกว่าแสงอาทิตย์ 16.11% และ 23.88% แต่มีการสร้างมวลลำต้นและมวลดอกน้อยกว่าแสงอาทิตย์ -3.53% และ -27.66% ตามลำดับ ในระยะทำดอก

#### 4.5. ผลวิจัยและอภิปรายอิทธิพลของมุมมองศาผ่านสะท้อนแสง

เปรียบเทียบน้ำหนักแห้งของดาวเรือง ร่วมกับ จำนวนใบ จำนวนดอก ปริมาตรดอก ขนาดทรงพุ่ม และ ลักษณะต้น ของกัญชาและดาวเรือง จากการปลูกภายใต้มุมมองศาผ่านสะท้อนแสงในกรรมวิธีที่ 3 และ 4

ตารางที่ 5 การเจริญเติบโตของดาวเรืองภายใต้อิทธิพลมุมมองศาผ่านสะท้อนแสง

การเจริญเติบโตของดาวเรืองภายใต้ อิทธิพลมุมมองศาผ่านสะท้อนแสง	ระยะทำใบ							
	กรรมวิธีที่ 3 (60°)				กรรมวิธีที่ 4 (90°)			
รายการบันทึก / ต้นที่	1	2	3	4	1	2	3	4
น้ำหนักแห้ง (กรัม)								
- ราก	0.21 <sup>3</sup>	0.15 <sup>3</sup>	0.20 <sup>3</sup>	0.12 <sup>3</sup>	0.20 <sup>3</sup>	0.25 <sup>4</sup>	0.16 <sup>3</sup>	0.13 <sup>3</sup>
- ลำต้น	1.39 <sup>4</sup>	0.99 <sup>3</sup>	1.15 <sup>4</sup>	0.89 <sup>3</sup>	0.78 <sup>3</sup>	1.22 <sup>4</sup>	1.08 <sup>3</sup>	0.80 <sup>3</sup>
- ใบ	2.59 <sup>5</sup>	1.68 <sup>3</sup>	2.15 <sup>4</sup>	1.69 <sup>3</sup>	1.60 <sup>3</sup>	2.17 <sup>4</sup>	1.93 <sup>4</sup>	1.58 <sup>3</sup>
จำนวนใบ (ใบ)	59 <sup>5</sup>	40 <sup>3</sup>	48 <sup>4</sup>	41 <sup>3</sup>	34 <sup>2</sup>	44 <sup>4</sup>	43 <sup>3</sup>	33 <sup>2</sup>
ขนาดทรงพุ่ม (ซม.)								
- ความสูงต้น	33.0 <sup>3</sup>	31.5 <sup>3</sup>	33.0 <sup>3</sup>	31.5 <sup>3</sup>	27.5 <sup>2</sup>	34.0 <sup>4</sup>	33.0 <sup>3</sup>	27.0 <sup>2</sup>
- ความกว้างพุ่ม	28.0 <sup>4</sup>	26.0 <sup>3</sup>	29.0 <sup>4</sup>	27.0 <sup>3</sup>	27.0 <sup>3</sup>	31.0 <sup>5</sup>	27.0 <sup>3</sup>	24.0 <sup>2</sup>
- ความยาวพุ่ม	31.0 <sup>5</sup>	27.0 <sup>2</sup>	30.0 <sup>4</sup>	28.0 <sup>2</sup>	28.0 <sup>2</sup>	31.0 <sup>5</sup>	29.0 <sup>3</sup>	28.0 <sup>2</sup>
ลักษณะต้น								
- Ø ฐานต้น (มม.)	5.8 <sup>5</sup>	5.0 <sup>3</sup>	5.2 <sup>3</sup>	5.2 <sup>3</sup>	4.8 <sup>2</sup>	5.7 <sup>4</sup>	5.2 <sup>3</sup>	5.1 <sup>3</sup>
- Ø กลางต้น (มม.)	9.2 <sup>6</sup>	7.7 <sup>3</sup>	7.9 <sup>3</sup>	7.8 <sup>3</sup>	8.2 <sup>4</sup>	8.1 <sup>4</sup>	7.5 <sup>3</sup>	7.7 <sup>2</sup>
- จำนวนแตกกิ่ง (กิ่ง)	1	1	1	1	1	1	1	1
N <sup>S</sup> ; N = จำนวน, S = ค่าในช่วง 3 Standard Deviations โดยกำหนดแทนค่าตัวเลขดังนี้*								
* -3SD > 1 > -2SD, -2SD > 2 > -1SD, -1SD > 3-4 > +1SD, +1SD > 5 > +2SD และ +2SD > 6 > +3SD								

ตารางที่ 6 การเจริญเติบโตของดาวเรืองภายใต้อิทธิพลมุมมองเสาแผ่นสะท้อนแสง (ต่อ)

การเจริญเติบโตของ ดาวเรืองภายใต้ อิทธิพลมุมมองเสาแผ่น สะท้อนแสง	ระยะทำดอก							
	กรรมวิธีที่ 3 (60°)				กรรมวิธีที่ 4 (90°)			
รายการบันทึก / ต้นที่	1	2	3	4	1	2	3	4
น้ำหนักแห้ง (กรัม)								
- ราก	0.41 <sup>3</sup>	0.67 <sup>5</sup>	0.54 <sup>4</sup>	0.47 <sup>4</sup>	0.53 <sup>4</sup>	0.50 <sup>4</sup>	0.29 <sup>2</sup>	0.50 <sup>4</sup>
- ลำต้น	2.95 <sup>4</sup>	2.54 <sup>3</sup>	1.95 <sup>2</sup>	3.22 <sup>5</sup>	3.05 <sup>4</sup>	2.66 <sup>4</sup>	1.85 <sup>2</sup>	2.93 <sup>4</sup>
- ใบ	2.78 <sup>5</sup>	2.24 <sup>4</sup>	1.75 <sup>3</sup>	2.62 <sup>5</sup>	1.84 <sup>3</sup>	2.11 <sup>4</sup>	1.57 <sup>3</sup>	2.26 <sup>4</sup>
- ดอก	2.00 <sup>4</sup>	1.75 <sup>3</sup>	1.34 <sup>3</sup>	1.98 <sup>4</sup>	1.58 <sup>3</sup>	1.61 <sup>3</sup>	0.99 <sup>2</sup>	2.07 <sup>4</sup>
จำนวนใบ (ใบ)	116 <sup>5</sup>	97 <sup>4</sup>	82 <sup>3</sup>	104 <sup>4</sup>	104 <sup>4</sup>	97 <sup>4</sup>	70 <sup>3</sup>	102 <sup>4</sup>
จำนวนดอก (ดอก)								
- ตุ่มดอก	14 <sup>5</sup>	6 <sup>3</sup>	5 <sup>3</sup>	8 <sup>4</sup>	7 <sup>3</sup>	9 <sup>4</sup>	5 <sup>3</sup>	13 <sup>5</sup>
- ดอกตูม	6 <sup>3</sup>	6 <sup>3</sup>	4 <sup>2</sup>	8 <sup>4</sup>	13 <sup>6</sup>	8 <sup>4</sup>	8 <sup>4</sup>	4 <sup>2</sup>
- ดอกแย้ม	4 <sup>5</sup>	1 <sup>3</sup>	3 <sup>4</sup>	1 <sup>3</sup>	0	1 <sup>3</sup>	0	3 <sup>4</sup>
- ดอกบาน	2 <sup>4</sup>	2 <sup>4</sup>	1 <sup>2</sup>	2 <sup>4</sup>	2 <sup>4</sup>	2 <sup>4</sup>	2 <sup>4</sup>	2 <sup>4</sup>
- รวมทั้งต้น	26 <sup>5</sup>	15 <sup>3</sup>	13 <sup>2</sup>	19 <sup>4</sup>	22 <sup>4</sup>	20 <sup>4</sup>	15 <sup>3</sup>	22 <sup>4</sup>
ปริมาตรดอกบาน (ลบ.ซม.)	181.60 <sup>4</sup>	157.78 <sup>4</sup>	42.31 <sup>2</sup>	154.86 <sup>4</sup>	143.83 <sup>3</sup>	125.74 <sup>3</sup>	92.12 <sup>3</sup>	159.55 <sup>4</sup>
ขนาดทรงพุ่ม (ซม.)								
- ความสูงต้น	37.5 <sup>3</sup>	38.5 <sup>3</sup>	38.0 <sup>3</sup>	49.0 <sup>5</sup>	42.0 <sup>4</sup>	41.0 <sup>4</sup>	41.0 <sup>4</sup>	44.0 <sup>4</sup>
- ความกว้างพุ่ม	23.0 <sup>4</sup>	21.5 <sup>3</sup>	22.0 <sup>3</sup>	26.0 <sup>6</sup>	21.5 <sup>3</sup>	20.0 <sup>2</sup>	22.0 <sup>3</sup>	22.0 <sup>3</sup>
- ความยาวพุ่ม	27.0 <sup>5</sup>	25.0 <sup>4</sup>	23.0 <sup>3</sup>	26.0 <sup>5</sup>	25.0 <sup>4</sup>	23.0 <sup>3</sup>	23.0 <sup>3</sup>	24.0 <sup>4</sup>
ลักษณะต้น								
- Ø ฐานต้น (มม.)	6.3 <sup>5</sup>	5.6 <sup>3</sup>	4.9 <sup>1</sup>	6.1 <sup>5</sup>	5.8 <sup>4</sup>	5.4 <sup>3</sup>	5.5 <sup>3</sup>	5.4 <sup>3</sup>
- Ø กลางต้น (มม.)	7.3 <sup>4</sup>	7.4 <sup>4</sup>	6.0 <sup>1</sup>	7.8 <sup>5</sup>	7.4 <sup>4</sup>	7.4 <sup>4</sup>	6.8 <sup>3</sup>	7.8 <sup>5</sup>
- จำนวนแตกกิ่ง (กิ่ง)	5 <sup>5</sup>	3 <sup>3</sup>	3 <sup>3</sup>	5 <sup>5</sup>	3 <sup>3</sup>	3 <sup>3</sup>	2 <sup>2</sup>	4 <sup>4</sup>

N<sup>S</sup> ; N = จำนวน, S = ค่าในช่วง 3 Standard Deviations โดยกำหนดแทนค่าตัวเลขดังนี้\*

\* -3SD > 1 > -2SD, -2SD > 2 > -1SD, -1SD > 3-4 > +1SD, +1SD > 5 > +2SD และ +2SD > 6 > +3SD



ตารางที่ 7 การเจริญเติบโตของกัญชาภายใต้อิทธิพลมุมมองเสาแผ่นสะท้อนแสง

การเจริญเติบโตของกัญชาภายใต้ อิทธิพลมุมมองเสาแผ่นสะท้อนแสง	ระยะทำใบ				ระยะทำดอก			
	กรรมวิธีที่ 3		กรรมวิธีที่ 4		กรรมวิธีที่ 3		กรรมวิธีที่ 4	
	(60°)		(90°)		(60°)		(90°)	
รายการบันทึก / ต้นที่	1	2	1	2	1	2	1	2
จำนวนใบ (ใบ)	295 <sup>3</sup>	317 <sup>4</sup>	277 <sup>2</sup>	349 <sup>5</sup>	297 <sup>2</sup>	483 <sup>4</sup>	495 <sup>4</sup>	335 <sup>3</sup>
จำนวนดอก (ดอก)								
- ดอกเดี่ยว					26 <sup>3</sup>	35 <sup>3</sup>	70 <sup>5</sup>	28 <sup>3</sup>
- ดอกคู่					43 <sup>3</sup>	96 <sup>5</sup>	62 <sup>4</sup>	29 <sup>3</sup>
- ช่อดอก					93 <sup>4</sup>	91 <sup>4</sup>	73 <sup>2</sup>	96 <sup>4</sup>
- รวมทั้งต้น					162 <sup>3</sup>	222 <sup>5</sup>	205 <sup>4</sup>	153 <sup>3</sup>
ปริมาตรช่อดอก (ลบ.ซม.)								
- ฐานพุ่ม					27.61 <sup>4</sup>	20.25 <sup>3</sup>	22.46 <sup>3</sup>	38.31 <sup>5</sup>
- กลางพุ่ม					54.98 <sup>4</sup>	28.42 <sup>3</sup>	41.32 <sup>3</sup>	88.92 <sup>5</sup>
- เรือนยอด					120.41 <sup>5</sup>	43.20 <sup>3</sup>	50.91 <sup>3</sup>	90.72 <sup>4</sup>
ขนาดทรงพุ่ม (ซม.)								
- ความสูงต้น	68.5 <sup>3</sup>	78.5 <sup>5</sup>	66.5 <sup>3</sup>	72.5 <sup>4</sup>	109.0 <sup>4</sup>	113.0 <sup>4</sup>	94.0 <sup>2</sup>	113.0 <sup>4</sup>
- ความกว้างพุ่ม	83.5 <sup>5</sup>	68.5 <sup>2</sup>	78.5 <sup>4</sup>	73.5 <sup>4</sup>	90.0 <sup>4</sup>	90.0 <sup>4</sup>	80.0 <sup>2</sup>	90.0 <sup>4</sup>
- ความยาวพุ่ม	78.0 <sup>5</sup>	68.0 <sup>3</sup>	68.0 <sup>3</sup>	63.0 <sup>3</sup>	55.0 <sup>3</sup>	60.0 <sup>4</sup>	60.0 <sup>4</sup>	60.0 <sup>4</sup>
ลักษณะต้น								
- Ø ฐานต้น (มม.)	14.4 <sup>4</sup>	14.6 <sup>4</sup>	14.2 <sup>4</sup>	12.8 <sup>2</sup>	15.0 <sup>4</sup>	15.4 <sup>5</sup>	14.0 <sup>2</sup>	14.6 <sup>3</sup>
- Ø กลางต้น (มม.)	5.4 <sup>3</sup>	6.7 <sup>5</sup>	5.5 <sup>3</sup>	6.1 <sup>4</sup>	7.2 <sup>3</sup>	7.6 <sup>4</sup>	6.6 <sup>2</sup>	8.6 <sup>5</sup>
- จำนวนแตกกิ่ง (กิ่ง)	17 <sup>5</sup>	11 <sup>3</sup>	11 <sup>3</sup>	13 <sup>3</sup>	16 <sup>3</sup>	21 <sup>4</sup>	14 <sup>2</sup>	20 <sup>4</sup>
N <sup>S</sup> ; N = จำนวน, S = ค่าในช่วง 3 Standard Deviations โดยกำหนดแทนค่าตัวเลขดังนี้*								
* -3SD > 1 > -2SD, -2SD > 2 > -1SD, -1SD > 3-4 > +1SD, +1SD > 5 > +2SD และ +2SD > 6 > +3SD								

จากการเปรียบเทียบน้ำหนักแห้งของดาวเรืองที่ปลูกภายใต้แผ่นสะท้อนแสงเอียงทำมุม 60° จากระนาบพื้นในกรรมวิธีที่ 3 และ เอียงทำมุม 90° จากระนาบพื้นในกรรมวิธีที่ 4 พบว่า

ระยะทำใบ : การปลูกดาวเรืองภายใต้กรรมวิธีที่ 3 แผ่นสะท้อนแสงเอียงทำมุม 60° มีน้ำหนักแห้งลำต้น และ น้ำหนักแห้งใบ มากที่สุด ส่วนการปลูกดาวเรืองภายใต้กรรมวิธีที่ 4 แผ่นสะท้อนแสงเอียงทำมุม 90° มีน้ำหนักแห้งราก มากที่สุด

ระยะทำดอก : การปลูกดาวเรืองภายใต้กรรมวิธีที่ 3 แผ่นสะท้อนแสงเอียงทำมุม 60° มี น้ำหนักแห้งราก, น้ำหนักแห้งลำต้น, น้ำหนักแห้งใบ และ น้ำหนักแห้งดอก มากที่สุด

เทียบเคียงน้ำหนักแห้งของกัญชาจากน้ำหนักแห้งของดาวเรือง โดยการเปรียบเทียบ ความสัมพันธ์ระหว่าง น้ำหนักแห้งลำต้น-ขนาดทรงพุ่มและลักษณะต้น, น้ำหนักแห้งใบ-จำนวนใบ, น้ำหนักแห้งดอก-จำนวนดอกและปริมาตรดอก ของกัญชาและดาวเรือง

เทียบเคียงน้ำหนักแห้งของกัญชาในระยะทำใบ : การปลูกดาวเรืองภายใต้กรรมวิธีที่ 3 (แผ่น สะท้อนแสงเอียงทำมุม 60°) มีน้ำหนักแห้งลำต้น และ ขนาดทรงพุ่มและลักษณะต้น มากกว่าการ ปลูกภายใต้กรรมวิธีที่ 4 (แผ่นสะท้อนแสงเอียงทำมุม 90°) จำนวน 13.92% และ 12.51% ตามลำดับ การปลูกกัญชาภายใต้กรรมวิธีที่ 3 ที่มีขนาดทรงพุ่มและลักษณะต้นมากกว่าการปลูกภายใต้กรรมวิธีที่ 4 จำนวน 45.59% จึงอาจเทียบเคียงได้ว่าการปลูกกัญชาภายใต้กรรมวิธีที่ 3 มีน้ำหนักแห้งลำต้น มากกว่าการปลูกภายใต้กรรมวิธีที่ 4 จำนวน  $(45.59 \times 13.92) / 12.51 = 50.73\%$

การปลูกดาวเรืองภายใต้กรรมวิธีที่ 3 (แผ่นสะท้อนแสงเอียงทำมุม 60°) มีน้ำหนักแห้งใบ และ จำนวนใบ มากกว่าการปลูกภายใต้กรรมวิธีที่ 4 (แผ่นสะท้อนแสงเอียงทำมุม 90°) จำนวน 11.40% และ 22.08% ตามลำดับ การปลูกกัญชาภายใต้กรรมวิธีที่ 3 ที่มีจำนวนใบน้อยกว่าการปลูก ภายใต้กรรมวิธีที่ 4 จำนวน -2.29% จึงอาจเทียบเคียงได้ว่าการปลูกกัญชาภายใต้กรรมวิธีที่ 3 มี น้ำหนักแห้งใบน้อยกว่าการปลูกภายใต้กรรมวิธีที่ 4 จำนวน  $(-2.29 \times 11.40) / 22.08 = -1.18\%$

เทียบเคียงน้ำหนักแห้งของกัญชาในระยะทำดอก : การปลูกดาวเรืองภายใต้กรรมวิธีที่ 3 (แผ่นสะท้อนแสงเอียงทำมุม 60°) มีน้ำหนักแห้งลำต้น และ ขนาดทรงพุ่มและลักษณะต้น มากกว่า การปลูกภายใต้กรรมวิธีที่ 4 (แผ่นสะท้อนแสงเอียงทำมุม 90°) จำนวน 1.62% และ 45.42% ตามลำดับ การปลูกกัญชาภายใต้กรรมวิธีที่ 3 ที่มีขนาดทรงพุ่มและลักษณะต้นมากกว่าการปลูก ภายใต้กรรมวิธีที่ 4 จำนวน 18.43% จึงอาจเทียบเคียงได้ว่าการปลูกกัญชาภายใต้กรรมวิธีที่ 3 มี น้ำหนักแห้งลำต้นมากกว่าการปลูกภายใต้กรรมวิธีที่ 4 จำนวน  $(18.43 \times 1.62) / 45.42 = 0.66\%$

การปลูกดาวเรืองภายใต้กรรมวิธีที่ 3 (แผ่นสะท้อนแสงเอียงทำมุม 60°) มีน้ำหนักแห้งใบ และ จำนวนใบ มากกว่าการปลูกภายใต้กรรมวิธีที่ 4 (แผ่นสะท้อนแสงเอียงทำมุม 90°) จำนวน 20.69% และ 6.97% ตามลำดับ การปลูกกัญชาภายใต้กรรมวิธีที่ 3 ที่มีจำนวนใบน้อยกว่าการปลูก ภายใต้กรรมวิธีที่ 4 จำนวน -6.02% จึงอาจเทียบเคียงได้ว่าการปลูกกัญชาภายใต้กรรมวิธีที่ 3 มี น้ำหนักแห้งใบน้อยกว่าการปลูกภายใต้กรรมวิธีที่ 4 จำนวน  $(-6.02 \times 20.69) / 6.97 = -17.87\%$

การปลูกดาวเรืองภายใต้กรรมวิธีที่ 3 (แผ่นสะท้อนแสงเอียงทำมุม 60°) มีน้ำหนักแห้งดอกมากกว่าการปลูกภายใต้กรรมวิธีที่ 4 (แผ่นสะท้อนแสงเอียงทำมุม 90°) จำนวน 13.12% แต่มีจำนวนดอกและปริมาตรดอกน้อยกว่าการปลูกภายใต้กรรมวิธีที่ 4 จำนวน -4.66% การปลูกกัญชภายใต้กรรมวิธีที่ 3 ที่มีจำนวนดอกและปริมาตรดอกน้อยกว่าการปลูกภายใต้กรรมวิธีที่ 4 จำนวน -4.09% จึงอาจเทียบเคียงได้ว่าการปลูกกัญชภายใต้กรรมวิธีที่ 3 มีน้ำหนักแห้งดอกมากกว่าการปลูกภายใต้กรรมวิธีที่ 4 จำนวน  $(-4.09 \times 13.12) / -4.66 = 11.52\%$

สรุปได้ว่า อิทธิพลของมุมมองเสาแผ่นสะท้อนแสง มีแนวโน้มส่งผลต่อการกระตุ้นการสังเคราะห์แสงในกรณีที่ได้รับแสงบริเวณใต้ใบ ปริมาณแสงที่แผ่นสะท้อนแสงเอียงทำมุม 60° สะท้อนเข้าสู่ด้านข้างของต้นพืชได้มากกว่ามุม 90° จำนวน 32.28% ส่งผลทำให้

ดาวเรืองในระยะทำใบ มีการสร้างมวลลำต้นและมวลใบเพิ่มขึ้น 13.92% และ 11.40% แต่มีการสร้างมวลรากลดลง -8.11%, ดาวเรืองในระยะทำดอก มีการสร้างมวลราก, มวลลำต้น, มวลใบ, และ มวลดอก เพิ่มขึ้น 14.84%, 1.62%, 20.69%, และ 13.12% ตามลำดับ เมื่อเทียบกับมุม 90°

กัญชาในระยะทำใบ มีการสร้างมวลลำต้นเพิ่มขึ้น 50.73% แต่มีการสร้างมวลใบลดลง -1.18%, กัญชาในระยะทำดอก มีการสร้างมวลลำต้น และ มวลดอก เพิ่มขึ้น 0.66%, 11.52%, แต่มีการสร้างมวลใบลดลง -17.87% เมื่อเทียบกับมุม 90°

#### 4.6. ผลวิจัยและอภิปรายอิทธิพลของแหล่งพลังงานไฟฟ้าสำหรับหลอดแอลอีดี

เปรียบเทียบน้ำหนักแห้งของดาวเรืองที่ปลูกภายใต้แหล่งพลังงานไฟฟ้าสำหรับหลอดแอลอีดีในกรรมวิธีที่ 2 และ 4 หมายเหตุ : ช่วงความยาวคลื่นแสงในกรรมวิธีที่ 2 และ 4 มีความแตกต่างกัน ตารางที่ 8 การเจริญเติบโตของดาวเรืองภายใต้อิทธิพลแหล่งพลังงานไฟฟ้า

การเจริญเติบโตของดาวเรืองภายใต้ อิทธิพลแหล่งพลังงานไฟฟ้า	ระยะทำใบ							
	กรรมวิธีที่ 2 (โซลาเซลล์)				กรรมวิธีที่ 4 (ไฟบ้าน)			
รายการบันทึก / ต้นที่	1	2	3	4	1	2	3	4
น้ำหนักแห้ง (กรัม)								
- ราก	0.15 <sup>3</sup>	0.16 <sup>3</sup>	0.16 <sup>3</sup>	0.14 <sup>3</sup>	0.20 <sup>3</sup>	0.25 <sup>4</sup>	0.16 <sup>3</sup>	0.13 <sup>3</sup>
- ลำต้น	0.71 <sup>2</sup>	0.66 <sup>2</sup>	0.89 <sup>3</sup>	0.82 <sup>3</sup>	0.78 <sup>3</sup>	1.22 <sup>4</sup>	1.08 <sup>3</sup>	0.80 <sup>3</sup>
- ใบ	1.73 <sup>3</sup>	1.46 <sup>2</sup>	1.73 <sup>3</sup>	1.62 <sup>3</sup>	1.60 <sup>3</sup>	2.17 <sup>4</sup>	1.93 <sup>4</sup>	1.58 <sup>3</sup>

N<sup>5</sup> ; N = จำนวน, S = ค่าในช่วง 3 Standard Deviations โดยกำหนดแทนค่าตัวเลขดังนี้\*

\* -3SD > 1 > -2SD, -2SD > 2 > -1SD, -1SD > 3-4 > +1SD, +1SD > 5 > +2SD และ +2SD > 6 > +3SD

ตารางที่ 9 การเจริญเติบโตของดาวเรืองภายใต้อิทธิพลแหล่งพลังงานไฟฟ้า (ต่อ)

การเจริญเติบโตของดาวเรือง ภายใต้อิทธิพลแหล่งพลังงานไฟฟ้า	ระยะทำดอก							
	กรรมวิธีที่ 2 (โซลาเซลล์)				กรรมวิธีที่ 4 (ไฟบ้าน)			
รายการบันทึก / ต้นที่	1	2	3	4	1	2	3	4
น้ำหนักแห้ง (กรัม)								
- ราก	0.40 <sup>3</sup>	0.51 <sup>4</sup>	0.27 <sup>2</sup>	0.28 <sup>2</sup>	0.53 <sup>4</sup>	0.50 <sup>4</sup>	0.29 <sup>2</sup>	0.50 <sup>4</sup>
- ลำต้น	1.98 <sup>2</sup>	2.68 <sup>4</sup>	2.41 <sup>3</sup>	2.18 <sup>3</sup>	3.05 <sup>4</sup>	2.66 <sup>4</sup>	1.85 <sup>2</sup>	2.93 <sup>4</sup>
- ใบ	1.69 <sup>3</sup>	1.96 <sup>4</sup>	1.29 <sup>2</sup>	1.36 <sup>2</sup>	1.84 <sup>3</sup>	2.11 <sup>4</sup>	1.57 <sup>3</sup>	2.26 <sup>4</sup>
- ดอก	1.55 <sup>3</sup>	1.19 <sup>2</sup>	1.57 <sup>3</sup>	0.97 <sup>2</sup>	1.58 <sup>3</sup>	1.61 <sup>3</sup>	0.99 <sup>2</sup>	2.07 <sup>4</sup>

N<sup>S</sup> ; N = จำนวน, S = ค่าในช่วง 3 Standard Deviations โดยกำหนดแทนค่าตัวเลขดังนี้\*

\* -3SD > 1 > -2SD, -2SD > 2 > -1SD, -1SD > 3-4 > +1SD, +1SD > 5 > +2SD และ +2SD > 6 > +3SD

จากการเปรียบเทียบน้ำหนักแห้งของดาวเรืองที่ปลูกภายใต้หลอดแอลอีดีกระแสดตรงเชื่อมต่อโซลาเซลล์กระแสดตรงในกรรมวิธีที่ 2 และหลอดแอลอีดีกระแสดสลับเชื่อมต่อไฟบ้านกระแสดสลับในกรรมวิธีที่ 4 พบว่า (หมายเหตุ : ช่วงความยาวคลื่นแสงในกรรมวิธีที่ 2 และ 4 มีความแตกต่างกัน)

ระยะทำใบ : การปลูกดาวเรืองภายใต้กรรมวิธีที่ 2 หลอดแอลอีดีกระแสดตรงเชื่อมต่อโซลาเซลล์กระแสดตรง มีน้ำหนักแห้งราก, น้ำหนักแห้งลำต้น, และ น้ำหนักแห้งใบ คิดเป็น 82.43%, 79.38%, และ 89.84% จากการปลูกภายใต้หลอดแอลอีดีกระแสดสลับเชื่อมต่อไฟบ้านกระแสดสลับในกรรมวิธีที่ 4 ตามลำดับ

ระยะทำดอก : การปลูกดาวเรืองภายใต้กรรมวิธีที่ 2 หลอดแอลอีดีกระแสดตรงเชื่อมต่อโซลาเซลล์กระแสดตรง มีน้ำหนักแห้งราก, น้ำหนักแห้งลำต้น, น้ำหนักแห้งใบ, และ น้ำหนักแห้งดอก คิดเป็น 80.22%, 88.18%, 80.98% และ 84.48% จากการปลูกภายใต้หลอดแอลอีดีกระแสดสลับเชื่อมต่อไฟบ้านกระแสดสลับในกรรมวิธีที่ 4 ตามลำดับ

สรุปได้ว่า อิทธิพลของแหล่งพลังงานไฟฟ้าสำหรับหลอดแอลอีดี มีแนวโน้มส่งผลต่อการลดต้นทุนทางด้านพลังงานของหลอดแอลอีดี ในระยะทำใบ การปลูกดาวเรืองภายใต้หลอดแอลอีดีกระแสดตรงเชื่อมต่อโซลาเซลล์กระแสดตรงมีประสิทธิภาพในการสร้างมวลเฉลี่ยทั้งต้นราว 84% และในระยะทำดอก การปลูกดาวเรืองภายใต้หลอดแอลอีดีกระแสดตรงเชื่อมต่อโซลาเซลล์กระแสดตรงมีประสิทธิภาพในการสร้างมวลเฉลี่ยทั้งต้นราว 83% เมื่อเทียบกับการปลูกภายใต้หลอดแอลอีดีกระแสดสลับเชื่อมต่อไฟบ้านกระแสดสลับ

## บทที่ 5

### สรุปผลวิจัยและข้อเสนอแนะ

#### 5.1. สิ่งที่ค้นพบในงานวิจัย

##### 5.1.1. อิทธิพลของช่วงความยาวคลื่นแสง

จากวัตถุประสงค์ในงานวิจัยเพื่อศึกษา อิทธิพลของช่วงความยาวคลื่นแสงต่อ ลักษณะการเจริญเติบโตของพืช ทำการวิจัยปลูกพืช (ดาวเรือง) ภายใต้ช่วงความยาวคลื่นแสงที่มีสัดส่วนโพตอนแสงแตกต่างกัน ประกอบด้วย กรรมวิธีที่ 1 แสงอาทิตย์ในโรงเรือน R: G: B = 1.11 : 1.20 : 1.00, กรรมวิธีที่ 2 แสงจากหลอดแอลอีดีกระแสดตรง R: G: B = 2.53 : 2.67 : 1.00 (ระยะทำใบ) R: G: B = 1.47 : 1.83 : 1.00 (ระยะทำดอก), และ กรรมวิธีที่ 3 แสงจากหลอดแอลอีดีกระแสดสลับ R: G: B = 2.04 : 2.12 : 1.00

ผลการวิจัยพบว่า ช่วงความยาวคลื่นแสง (Light Wavelength) มีแนวโน้มส่งผลต่อ รงควัตถุดูดซับแสงชนิดต่าง ๆ ที่อยู่ในเซลล์ของใบพืช (Photosynthetic pigments) ช่วงความยาวคลื่นแสงที่มีสัดส่วนโพตอนแสง (R: G: B) สม่่าเสมอมากกว่าอาจส่งผลทำให้รงควัตถุดูดซับแสงสามารถดูดซับโพตอนแสงในช่วงต่าง ๆ ของ PAR ได้สม่่าเสมอมากขึ้น

ในระยะทำใบการปลูกภายใต้ช่วงความยาวคลื่นแสงที่มีสัดส่วนโพตอนแสงสม่่าเสมอมากที่สุดในงานวิจัย (แสงอาทิตย์ R: G: B = 1.11 : 1.20 : 1.00) ส่งผลทำให้ดาวเรืองมีการสร้างมวลทุกส่วนสูงที่สุดและสมบูรณ์ที่สุด

หลังจากการเจริญเติบโตในระยะทำใบอย่างสมบูรณ์ การปลูกด้วยแสงจากหลอดแอลอีดีที่มีการเน้นแสงสีแดงและสีเขียวมากกว่าสีน้ำเงินสองเท่า (R: G: B = 2.04 : 2.12 : 1.00) ส่งผลทำให้ดาวเรืองในระยะทำดอกมีการสร้างมวลราก (เข้าตำรับยาสมุนไพร) และมวลใบ (เข้าตำรับยาสมุนไพร) สูงที่สุด มากกว่าแสงอาทิตย์ 16.11% และ 23.88% แต่มีการสร้างมวลลำต้น (เข้าตำรับยาสมุนไพร) และมวลดอก (ขายดอก ทำสีย้อมผ้า) น้อยกว่าแสงอาทิตย์ -3.53% และ -27.66% ตามลำดับ

### 5.1.2. อิทธิพลของมุมมองเสาแผ่นสะท้อนแสง

จากวัตถุประสงค์ในงานวิจัยเพื่อศึกษาอิทธิพลของมุมมองเสาแผ่นสะท้อนแสงต่อลักษณะการเจริญเติบโตของพืช ทำการวิจัยปลูกพืช (กัญชาและดาวเรือง) ภายใต้แผ่นสะท้อนแสงที่แตกต่างกัน ประกอบด้วย กรรมวิธีที่ 3 แผ่นสะท้อนแสงเอียงทำมุม  $60^{\circ}$  จากระนาบพื้น และ กรรมวิธีที่ 4 แผ่นสะท้อนแสงเอียงทำมุม  $90^{\circ}$  จากระนาบพื้น

ผลการวิจัยพบว่า มุมมองเสาแผ่นสะท้อนแสง มีแนวโน้มส่งผลต่อการกระตุ้นการสังเคราะห์แสงในกรณีที่พืชได้รับแสงบริเวณใต้ใบ ปริมาณแสงที่แผ่นสะท้อนแสงเอียงทำมุม  $60^{\circ}$  สะท้อนเข้าสู่ด้านข้างของต้นพืชได้มากกว่ามุม  $90^{\circ}$  จำนวน 32.28% ส่งผลทำให้พืชมีการเจริญเติบโตเพิ่มมากขึ้นเมื่อเทียบกับมุม  $90^{\circ}$

สำหรับการปลูกดาวเรือง ในระยะทำใบมีการสร้างมวลลำต้นและมวลใบเพิ่มขึ้น 13.92% และ 11.40% แต่มีการสร้างมวลรากลดลง -8.11%, ในระยะทำดอก มีการสร้างมวลทุกส่วนเพิ่มขึ้น ประกอบด้วย มวลราก, มวลลำต้น, มวลใบ, และ มวลดอก เพิ่มขึ้น 14.84%, 1.62%, 20.69%, และ 13.12% ตามลำดับ เมื่อเทียบกับมุม  $90^{\circ}$

สำหรับการปลูกกัญชา ในระยะทำใบมีการสร้างมวลลำต้นเพิ่มขึ้น 50.73% แต่มีการสร้างมวลใบลดลง -1.18%, ในระยะทำดอก มีการสร้างมวลลำต้น (การใช้เส้นใยลำต้นทำเครื่องนุ่งห่ม-สิ่งทอ กระดาษ วัสดุก่อสร้าง) และ มวลดอก (การสกัดสารเพื่อนำไปใช้ในยาแผนปัจจุบัน) เพิ่มขึ้น 0.66%, 11.52%, แต่มีการสร้างมวลใบ (ประกอบอาหารและเครื่องดื่มสำหรับมนุษย์ และใช้เลี้ยงสัตว์) ลดลง -17.87% เมื่อเทียบกับมุม  $90^{\circ}$

### 5.1.3. อิทธิพลของแหล่งพลังงานไฟฟ้าสำหรับหลอดแอลอีดี

จากวัตถุประสงค์ในงานวิจัยเพื่อศึกษาอิทธิพลของแหล่งพลังงานไฟฟ้าสำหรับหลอดแอลอีดีต่อลักษณะการเจริญเติบโตของพืช ทำการวิจัยปลูกพืช (ดาวเรือง) ภายใต้แหล่งกำเนิดแสงที่แตกต่างกัน ประกอบด้วย กรรมวิธีที่ 2 หลอดแอลอีดีกระแสตรงเชื่อมต่อโซลาเซลล์กระแสตรง และ กรรมวิธีที่ 4 หลอดแอลอีดีกระแสสลับเชื่อมต่อไฟบ้านกระแสสลับ (หมายเหตุ : ช่วงความยาวคลื่นแสงในกรรมวิธีที่ 2 และ 4 มีความแตกต่างกัน)

ผลการวิจัยพบว่า แหล่งพลังงานไฟฟ้าสำหรับหลอดแอลอีดี มีแนวโน้มสามารถลดต้นทุนด้านพลังงานของหลอดแอลอีดีได้

ในระยะทำใบ การปลูกดาวเรืองภายใต้หลอดแอลอีดีกระแสดตรงเชื่อมต่อโซลาเซลล์ กระแสดตรง มีประสิทธิภาพในการสร้างมวลราก, มวลลำต้น, และ มวลใบ คิดเป็น 82.43%, 79.38%, และ 89.84% จากการปลูกภายใต้หลอดแอลอีดีกระแสดกลับเชื่อมต่อไฟบ้านกระแสดกลับ

ในระยะทำดอก การปลูกดาวเรืองภายใต้หลอดแอลอีดีกระแสดตรงเชื่อมต่อโซลาเซลล์ กระแสดตรง มีประสิทธิภาพในการสร้างมวลราก (เข้าตำรับยาสมุนไพร), มวลลำต้น (เข้าตำรับยาสมุนไพร), มวลใบ (เข้าตำรับยาสมุนไพร), และ มวลดอก (ขายดอก ทำสีย้อมผ้า) คิดเป็น 80.22%, 88.18%, 80.98% และ 84.48% จากการปลูกภายใต้หลอดแอลอีดีเชื่อมต่อไฟบ้านกระแสดกลับ

## 5.2. แนวทางการออกแบบระบบแสงที่เหมาะสมสำหรับกัญชาและดาวเรือง

### 5.2.1. สภาพแวดล้อมตามธรรมชาติหรือภายนอกอาคาร

ดาวเรือง : จากการวิจัยพบว่า ดาวเรืองสามารถเจริญเติบโตภายใต้แสงอาทิตย์ตามธรรมชาติได้อย่างสมบูรณ์ และเป็นพืชวันสั้นออกดอกเมื่อได้รับแสงสั้นกว่า 13 ชั่วโมงต่อวัน การออกแบบระบบแสงที่เหมาะสมสำหรับดาวเรืองตามสภาพแวดล้อมธรรมชาติหรือภายนอกอาคาร จึงพิจารณาใช้แสงอาทิตย์ (R: G: B = 1.11 : 1.20 : 1.00) เป็นแหล่งกำเนิดแสง ร่วมกับการใช้แผ่นสะท้อนแสงเอียงทำมุม 60° องศา จากระนาบพื้น เพื่อเพิ่มการสังเคราะห์แสงได้ใบ

กัญชา : จากการวิจัยพบว่า กัญชาเป็นพืชต้องการความเข้มแสงสูง และเป็นพืชวันสั้นออกดอกเมื่อได้รับแสงสั้นกว่า 12 ชั่วโมงต่อวัน การออกแบบระบบแสงที่เหมาะสมสำหรับกัญชาตามสภาพแวดล้อมธรรมชาติหรือภายนอกอาคาร จึงพิจารณาใช้แสงอาทิตย์ (R: G: B = 1.11 : 1.20 : 1.00) เป็นแหล่งกำเนิดแสงแล้วเสริมด้วยแสงจากหลอดแอลอีดี (ใช้เทคนิคผสมสีของแสงให้ใกล้เคียงกับแสงอาทิตย์) หลังพระอาทิตย์ตกดิน ให้มีระยะเวลารับแสงยาวกว่า 12 ชั่วโมงต่อวันในระยะทำใบ และ 12 ชั่วโมงต่อวันในระยะทำดอก โดยใช้หลอดแอลอีดีต่อโซลาเซลล์แบบมีแบตเตอรี่ในตัวที่มีประสิทธิภาพในการสร้างมวลราก 83% จากหลอดแอลอีดีเชื่อมต่อไฟบ้าน ในการลดต้นทุนด้านพลังงาน ร่วมกับการใช้แผ่นสะท้อนแสงเอียงทำมุม 60° องศา จากระนาบพื้น เพื่อเพิ่มการสังเคราะห์แสงได้ใบ

### 5.2.2. สภาพแวดล้อมภายในอาคารหรือพื้นที่ควบคุม

ดาวเรือง : จากการวิจัยพบว่า ดาวเรืองสามารถเจริญเติบโตภายใต้แสงอาทิตย์ตามธรรมชาติได้อย่างสมบูรณ์ และเป็นพืชวันสั้นออกดอกเมื่อได้รับแสงสั้นกว่า 13 ชั่วโมงต่อวัน การออกแบบระบบแสงที่เหมาะสมสำหรับดาวเรืองตามสภาพแวดล้อมภายในอาคารหรือพื้นที่ควบคุม จึงพิจารณาใช้แสงจากหลอดแอลอีดีกระแสดตรง (ใช้เทคนิคผสมสีของแสงให้ใกล้เคียงกับแสงอาทิตย์) เชื่อมต่อโซลาเซลล์กระแสดตรงในเวลากลางวันที่มีประสิทธิภาพในการสร้างมวลราว 83% จากหลอดแอลอีดีเชื่อมต่อไฟบ้าน เพื่อลดต้นทุนทางด้านพลังงานของหลอดแอลอีดี ร่วมกับการใช้แผ่นสะท้อนแสงเอียงทำมุม 60° องศา จากระนาบพื้น เพื่อเพิ่มการสร้างมวลราก, มวลลำต้น, มวลใบ, และ มวลดอก 14.84%, 1.62%, 20.69%, และ 13.12% ตามลำดับ เมื่อเทียบกับมุม 90° ที่เป็นมุมเดิันทดลองทั่วไป

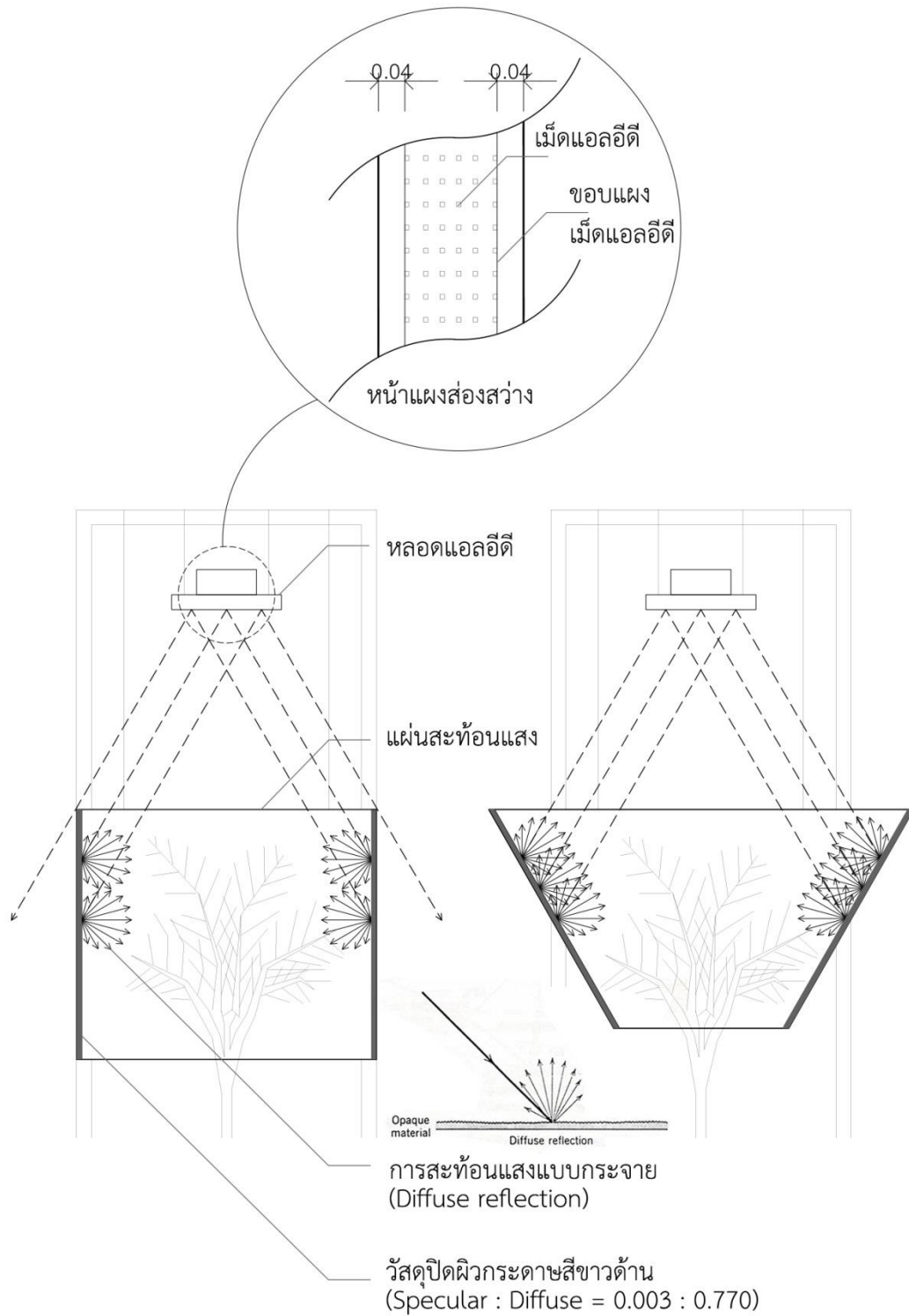
กัญชา : จากการวิจัยพบว่า กัญชาเป็นพืชต้องการความเข้มแสงสูง และเป็นพืชวันสั้นออกดอกเมื่อได้รับแสงสั้นกว่า 12 ชั่วโมงต่อวัน การออกแบบระบบแสงที่เหมาะสมสำหรับกัญชาตามสภาพแวดล้อมภายในอาคารหรือพื้นที่ควบคุม จึงพิจารณาใช้แสงจากหลอดแอลอีดีกระแสดตรง (ใช้เทคนิคผสมสีของแสงให้ใกล้เคียงกับแสงอาทิตย์) เชื่อมต่อโซลาเซลล์กระแสดตรงในเวลากลางวันที่มีประสิทธิภาพในการสร้างมวลราว 83% จากหลอดแอลอีดีเชื่อมต่อไฟบ้าน เพื่อลดต้นทุนทางด้านพลังงานของหลอดแอลอีดี หลังพระอาทิตย์ตกดินใช้แสงจากหลอดแอลอีดีเชื่อมต่อไฟบ้าน ให้มีระยะเวลารับแสงยาวกว่า 12 ชั่วโมงต่อวันในระยะเวลาทำใบ และ 12 ชั่วโมงต่อวันในระยะเวลาทำดอก ร่วมกับการใช้แผ่นสะท้อนแสงเอียงทำมุม 60° องศา จากระนาบพื้น เพื่อเพิ่มการสร้างมวลลำต้น และ มวลดอก 0.66%, 11.52% ตามลำดับ เมื่อเทียบกับมุม 90° ที่เป็นมุมเดิันทดลองทั่วไป

### 5.3. สรุปหลักการสำคัญที่ค้นพบในงานวิจัย

แผ่นสะท้อนแสงที่ปิดผิวด้วยกระดาษสีขาวด้านมีคุณสมบัติที่โดดเด่นในการสะท้อนแสงแบบกระจายทุกทิศทาง (Diffuse reflection) ส่งผลทำให้การสะท้อนแสงเข้าสู่ด้านข้างของต้นพืชจากการออกแบบมุมองศาแผ่นสะท้อนแสง มีแนวโน้มส่องถึงบริเวณใต้ผิวใบเพิ่มมากขึ้น เมื่อรองควัดดูดซับแสงในชั้น Spongy mesophyll บริเวณด้านล่างใบได้รับการกระตุ้นจากแสงเพิ่มมากขึ้น ส่งผลทำให้



มีแนวโน้มในการเพิ่มอัตราการสังเคราะห์แสงบริเวณใต้ใบที่มีประสิทธิภาพคิดเป็น 62% จากการสังเคราะห์แสงบริเวณเหนือใบ



ภาพที่ 46 หลักการสำคัญที่ค้นพบในงานวิจัย

#### 5.4. ข้อเสนอแนะ

จากการสรุปหลักการสำคัญที่ค้นพบในงานวิจัยเกี่ยวกับการสะท้อนแสงเข้าสู่ด้านล่างใบ ควรทำการวิจัยต่อยอดเกี่ยวกับการออกแบบอุปกรณ์ทางการเกษตรที่สามารถสะท้อนแสงเข้าสู่ด้านล่างใบได้ เช่น กระจก หรือ แพลงปลูก เพื่อความสะดวกในการใช้งานและความสวยงามเพิ่มขึ้น



## บรรณานุกรม

- Chin, L. Y. and Chong, K. K. (2012). Study of high power light emitting diode (LED) lighting system in accelerating the growth rate of *Lactuca sativa* for indoor cultivation. *International Journal of the Physical Sciences*, 7(11), 1773-1781. doi:10.5897/ijps11.1568
- Choi, H. G., Moon, B. and Kang, N. (2015). Effects of LED light on the production of strawberry during cultivation in a plastic greenhouse and in a growth chamber. *Scientia Horticulturae*, 189, 22-31. doi:10.1016/j.scienta.2015.03.022
- Fluence Bioengineering. (2019). HIGH PPFD Cultivation Guide. Retrieved from <http://www.fluence.science/wp-content/uploads/2016/09/High-PPFD-Cultivation-Guide-9.27.16.pdf>. [2019, 16 September]
- Gupta, S. D. and Agarwal, A. (2017). Artificial Lighting System for Plant Growth and Development: Chronological Advancement, Working Principles, and Comparative Assessment. In (pp. 1-25).
- Kim, S. J., Hahn, E. J., Heo, J. W. and Paek, K. Y. (2004). Effects of LEDs on net photosynthetic rate, growth and leaf stomata of chrysanthemum plantlets in vitro. *Scientia Horticulturae*, 101(1), 143-151. doi:https://doi.org/10.1016/j.scienta.2003.10.003
- Mortensen, L. M. and Ulsaker, R. (1985). Effect of CO<sub>2</sub> concentration and light levels on growth, flowering and photosynthesis of *Begonia x hiemalis* Fotsch. *Scientia Horticulturae*, 27(1), 133-141. doi:https://doi.org/10.1016/0304-4238(85)90063-9
- Owen, W. G. and Lopez, R. G. (2016). The Impact of DLI, Light Quality and Photoperiod on Bedding Plant Flowering Responses. *Greenhouse Product News*, 30-34.
- PanAmericanSeed. (2020). Grower facts extra: African marigold marvel II Retrieved from <https://www.panamseed.com/controls/GrowerPDF.aspx?blobid=645>. [2021, March 30]
- Smullen, B. (2015). IB Biology Topic Four Photosynthesis. Retrieved from <https://www.slideshare.net/smullen57/hotosynthesis-2015>. [2019, 16 September]

- Stein, B., Reynolds, J. S. and McGuinness, W. J. (1986). *Mechanical and electrical equipment for buildings* (7th ed.). United States of America: John Wiley & Sons.
- Warren, J. (2011). Evaporitic source rocks: Mesohaline responses to cycles of "famine or feast". *Layered Brines, Doug Shearman Memorial Volume*, 43, 315-392.
- เนชั่นแนล จีโอกราฟฟิก. (2018). กระบวนการสังเคราะห์ด้วยแสง : หน้าที่หลักของผู้ผลิต. Retrieved from [https://ngthai.com/science/16243/photosynthesis/?fb\\_comment\\_id=2244275498940451\\_3558553020846019](https://ngthai.com/science/16243/photosynthesis/?fb_comment_id=2244275498940451_3558553020846019). [2019, 16 September]
- กรวิทย์ กระจ่างพันธ์, ถิระวรรณ สืบชนะวงษ์ และ สุขสันต์ หวังสถิตย์. (2561). การออกแบบแสงด้วยหลอดแอลอีดีส่องสว่างสำหรับปลูกพืชในอาคาร โดยอ้างอิงปริมาณแสงรวมต่อวัน. . ว. วิทยาศาสตร์เกษตร, 49(1 พิเศษ), 498-501.
- กระทรวงพลังงาน กรมพัฒนาพลังงานทดแทนและอนุรักษ์พลังงาน. (2553). คู่มือการพัฒนาและการลงทุนผลิตพลังงานทดแทน. Retrieved from <https://energy.go.th/2015/wp-content/uploads/2016/02/2-solar.pdf> [2562, 16 กันยายน]
- จริญญา ฤทธิรัมย์ และ อารักษ์ ธีรอำพน. (2562). ผลของความเข้มแสงต่อการเจริญเติบโตและผลผลิตของผักกาดหอมในระบบแพลนท์แฟคทอรี. วารสารแก่นเกษตร, 47, 1243-1250.
- ชานนท์ ลากจิต. (2560). ผลของหลอดไฟแอลอีดีสีขาว แดง และน้ำเงิน ต่อการเจริญเติบโตของผักบุงจิ้นที่ปลูกในระบบบออะควาโพนิค. วารสารพืชศาสตร์สงขลานครินทร์, 4(2).
- दनัย บุญยเกียรติ. (ม.ป.ป.). Photosynthesis. Retrieved from [https://web.agri.cmu.ac.th/hort/course/359311/PPHY4\\_photosyn.htm](https://web.agri.cmu.ac.th/hort/course/359311/PPHY4_photosyn.htm). [2562, 16 กันยายน]
- ดวงรัตน์ ศตคุณ, พูนพิภพ เกษมทรัพย์ และ Crozat, Y. (2542). อิทธิพลของแสงและอายุใบต่อการสังเคราะห์แสงสุทธิของใบฝ้าย. Paper presented at the การประชุมทางวิชาการของมหาวิทยาลัยเกษตรศาสตร์ครั้งที่ 37, กรุงเทพมหานคร.
- ธัมมวริทธิ์ ตาลจรัส. (2559). การทดสอบการสะท้อนแสงธรรมชาติจากด้านบนเพื่อกระจายแสงสว่างให้กับอาคารพาดช่วงกว้าง. (วิทยานิพนธ์ปริญญาโทบริหารบัณฑิต), สถาบันเทคโนโลยีพระจอมเกล้าเจ้าคุณทหารลาดกระบัง, กรุงเทพมหานคร.
- นภัทร วัจนเทพินทร์ และ ไชยยันต์ บุญมี. (2560). ไดโอดเปล่งแสงสีอะไรเหมาะสมกับการปลูกพืช วารสารวิทยาศาสตร์และเทคโนโลยี, 25(1), 158-176. doi:10.14456/tstj.2017.15

- พรทิพย์ เจริญพิวัฒพงษ์. (2537). ผลของเวสติคูลา อบัสคูลา ไมคอไรซา ต่อการเติบโตและผลผลิตของ  
ดาวเรือง *Tagetes erecta* 49. (วิทยานิพนธ์ปริญญามหาบัณฑิต), มหาวิทยาลัยเชียงใหม่,  
เชียงใหม่.
- พิชญ์สินี เพชรไทย และ ธรรมศักดิ์ ทองเกตุ. (2560). ผลของความเข้มแสงและระยะเวลารับแสงต่อการ  
เจริญเติบโตและคุณภาพของผักกาดหอม. วารสารพืชศาสตร์สงขลานครินทร์, 4, 54-59.
- ภาวิณี อารีศรีสม, นรินทร์ ท้าวแก่นจันทร์, รุ่งทิพย์ กาวารี, เทิดศักดิ์ โทณลักษณะ และ กอบลาภ อารี  
ศรีสม. (2560). ผลของความเข้มแสงต่อปริมาณคลอโรฟิลล์และสาร 2-Acetyl-1-pyrroline  
ของใบเตยหอม. เชียงใหม่: มหาวิทยาลัยแม่โจ้.
- วรสันต์ บุรณากาญจน์ (2562). [เทคโนโลยีและกระบวนการปลูกกัญชาเพื่อใช้ทางการแพทย์ ].
- วีระพงศ์ วงศ์ใหญ่. (2562). ระบบการถ่ายเทพลังงานจากโซลาร์เซลล์ด้วยการต่ออนุกรมวงจรคอนเวอร์  
เตอร์เรโซแนนซ์แบบสองทิศทาง. (วิทยานิพนธ์ปริญญามหาบัณฑิต), มหาวิทยาลัยเทคโนโลยี  
ราชมงคลธัญบุรี, ปทุมธานี.
- สฤกษ์ดี คงทนไพศาล. (2554). การลดกำลังไฟฟ้าสูญเสียในระบบจำหน่ายที่มีระบบผลิตไฟฟ้าเซลล์  
แสงอาทิตย์ โดยพิจารณาร่วมกับชุดตัวเก็บประจุและแท็ปหม้อแปลงด้วยวิธีการทางพันธุกรรม.  
(วิทยานิพนธ์ปริญญามหาบัณฑิต), จุฬาลงกรณ์มหาวิทยาลัย, กรุงเทพมหานคร.

## ภาคผนวก



ที่ อว ๖๙.๒.๑๓.๑/๗/๙๙

มหาวิทยาลัยแม่โจ้  
๖๓ หมู่ ๔ ตำบลหนองหาร  
อำเภอสันทราย จังหวัดเชียงใหม่  
๕๐๒๙๐

๒๒ กุมภาพันธ์ ๒๕๖๓

เรื่อง อนุญาตให้ใช้พื้นที่ศึกษาวิจัยการเก็บข้อมูลการให้แสงประดิษฐ์ กับต้นกล้วย

เรียน หัวหน้าศูนย์เชี่ยวชาญเฉพาะทางด้านเทคโนโลยีอาคารและสิ่งแวดล้อม คณะสถาปัตยกรรมศาสตร์  
จุฬาลงกรณ์มหาวิทยาลัย

อ้างถึง หนังสือศูนย์เชี่ยวชาญเฉพาะทางด้านเทคโนโลยีอาคารและสิ่งแวดล้อม คณะสถาปัตยกรรมศาสตร์  
จุฬาลงกรณ์มหาวิทยาลัย ที่ ศชช๑๘/๒๕๖๒ ลงวันที่ ๑๕ พฤศจิกายน ๒๕๖๒

ตามหนังสือที่อ้างถึงศูนย์เชี่ยวชาญเฉพาะทางด้านเทคโนโลยีอาคารและสิ่งแวดล้อม  
คณะสถาปัตยกรรมศาสตร์ จุฬาลงกรณ์มหาวิทยาลัย ได้ขอศึกษาวิจัยการเก็บข้อมูลการให้แสงประดิษฐ์  
กับต้นกล้วย ของนายจุลพัฒน์ ไม้แก้วธนวัฒน์ นิสิตระดับปริญญาโทบัณฑิต สาขาเทคโนโลยีอาคารและ  
สิ่งแวดล้อม คณะสถาปัตยกรรมศาสตร์ จุฬาลงกรณ์มหาวิทยาลัย ซึ่งกำลังศึกษาในระดับวิทยานิพนธ์  
ที่เกี่ยวกับการใช้แสงประดิษฐ์ในการปลูกกล้วย เพื่อพัฒนาการออกแบบ เทคนิคการสะท้อนแสง และระบบ  
การอนุรักษ์พลังงานที่เกี่ยวข้อง ความละเอียดแจ้งแล้ว นั้น

มหาวิทยาลัยแม่โจ้พิจารณาแล้วเห็นชอบให้นายจุลพัฒน์ ไม้แก้วธนวัฒน์ เข้าร่วมดำเนินการ  
วิจัยร่วมกับ ผู้ช่วยศาสตราจารย์ ดร.ปรีดา นาเวศน์ หัวหน้าโครงการวิจัยการศึกษาการตอบสนอง  
ต่ออิทธิพลของแสงและการแสดงออกทางพันธุกรรมของสายพันธุ์กล้วย ภายใต้การอนุญาตผลิตซึ่งยาเสพติด  
ให้โทษประเภท ๕ ตามหนังสือสำคัญที่ ๗/๒๕๖๒ (ปลูก)

จึงเรียนมาเพื่อโปรดทราบ

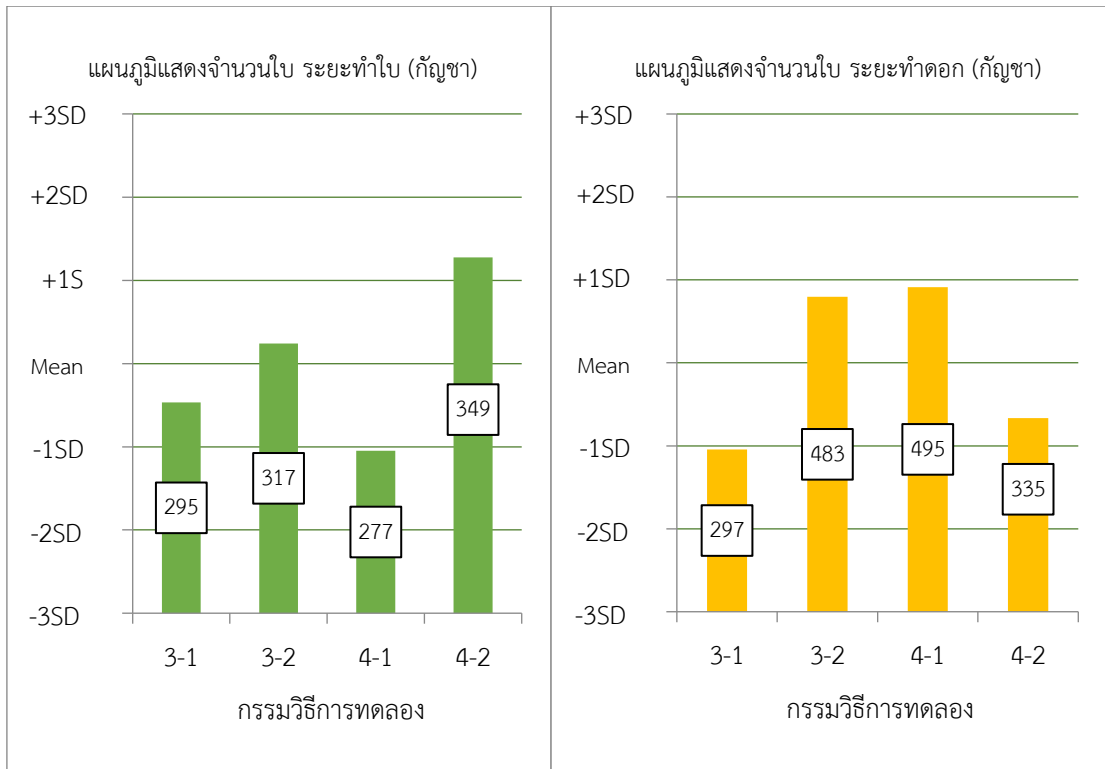
ขอแสดงความนับถือ

(รองศาสตราจารย์ ดร.วีระพล ทองมา)

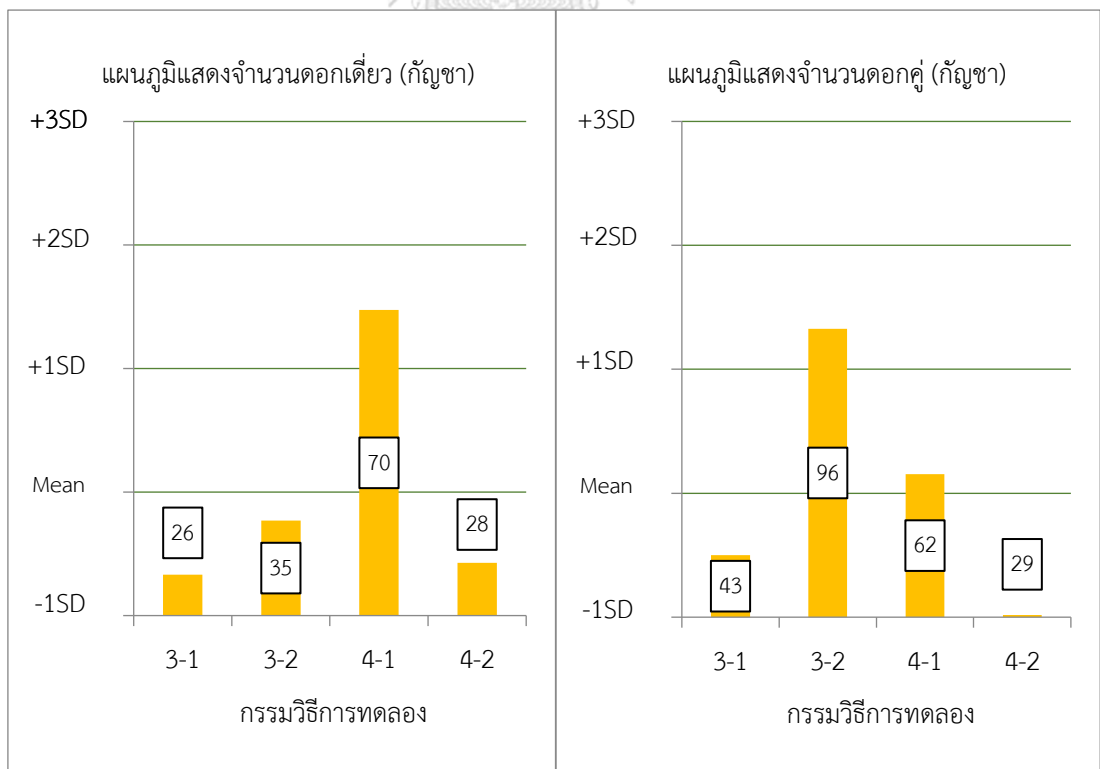
รักษาการแทนอธิการบดีมหาวิทยาลัยแม่โจ้

สำนักงานมหาวิทยาลัย  
กองบริหารงานทรัพย์สินและกิจการพิเศษ  
โทรศัพท์ ๐ ๕๓๘๗ ๕๖๙๐-๒  
โทรสาร ๐ ๕๓๘๗ ๕๖๙๓

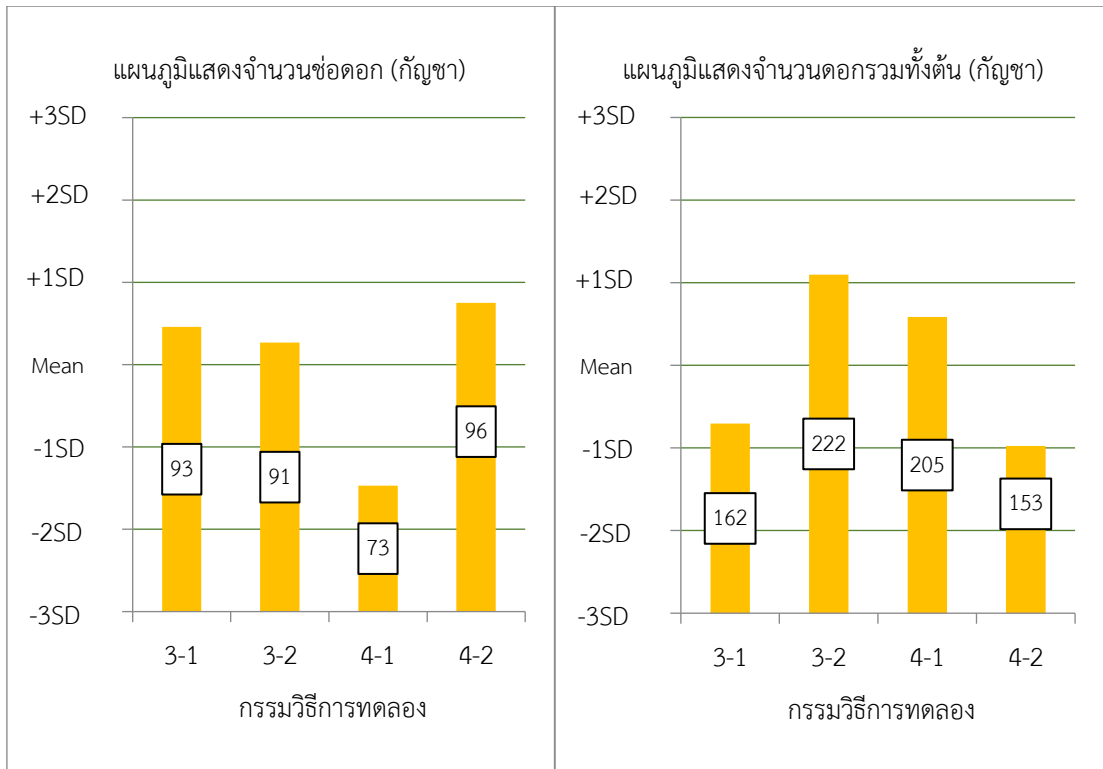
ภาพที่ 47 เอกสารได้รับความอนุเคราะห์เข้าใช้พื้นที่ปฏิบัติการและตัวอย่างต้นกล้วย



ภาพที่ 48 แผนภูมิแสดงจำนวนใบ ระยะทำใบและระยะทำดอก (กัญชา)



ภาพที่ 49 แผนภูมิแสดงจำนวนดอกเดี่ยวและดอกคู่ ระยะทำดอก (กัญชา)

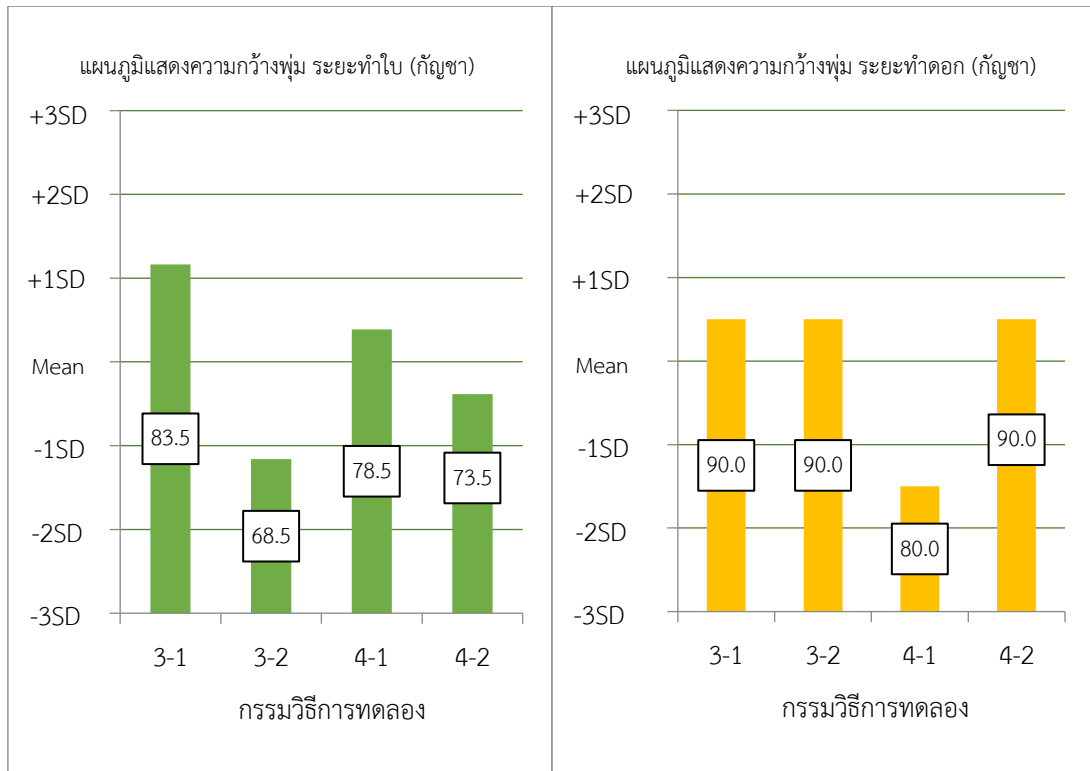


ภาพที่ 50 แผนภูมิแสดงจำนวนช่อดอกและดอกรวมทั้งต้น ระยะทำดอก (กัญชา)

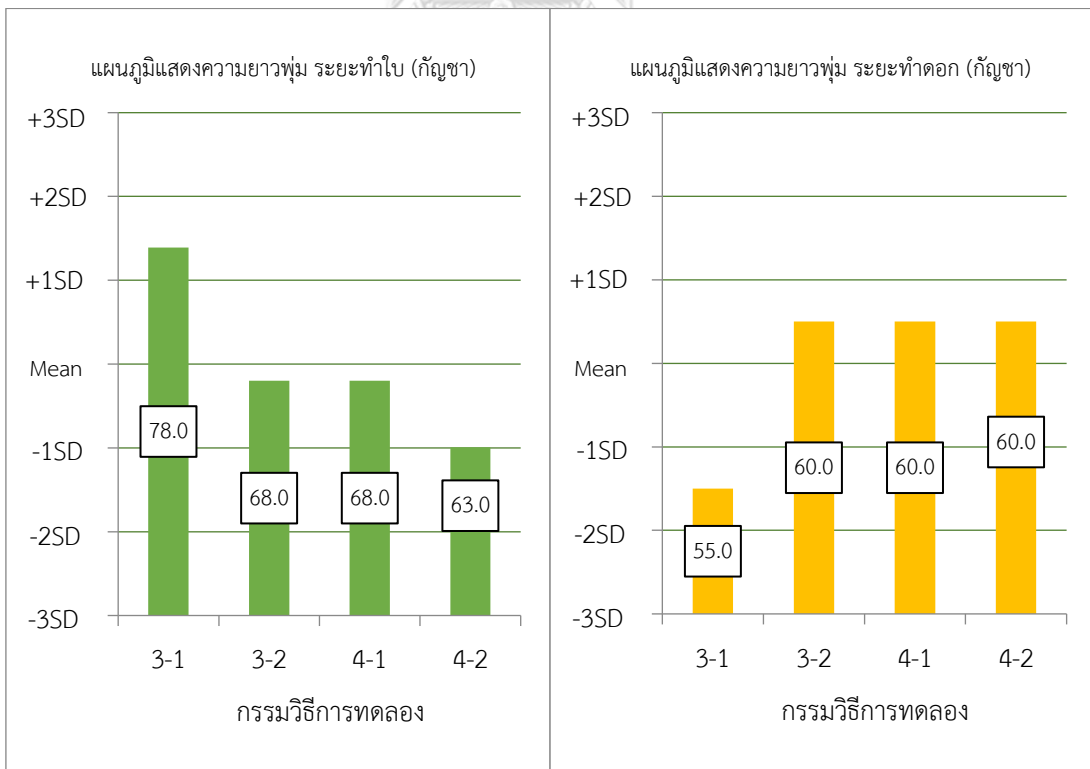


ภาพที่ 51 แผนภูมิแสดงความสูงต้น ระยะทำใบและระยะทำดอก (กัญชา)

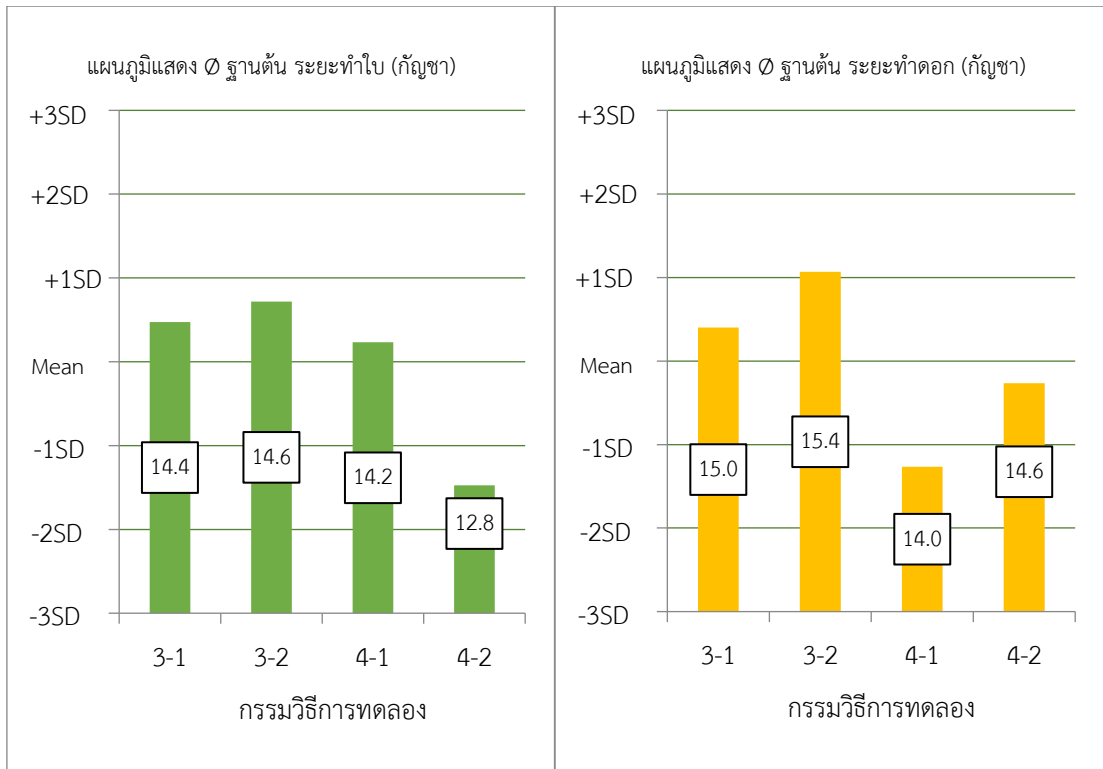




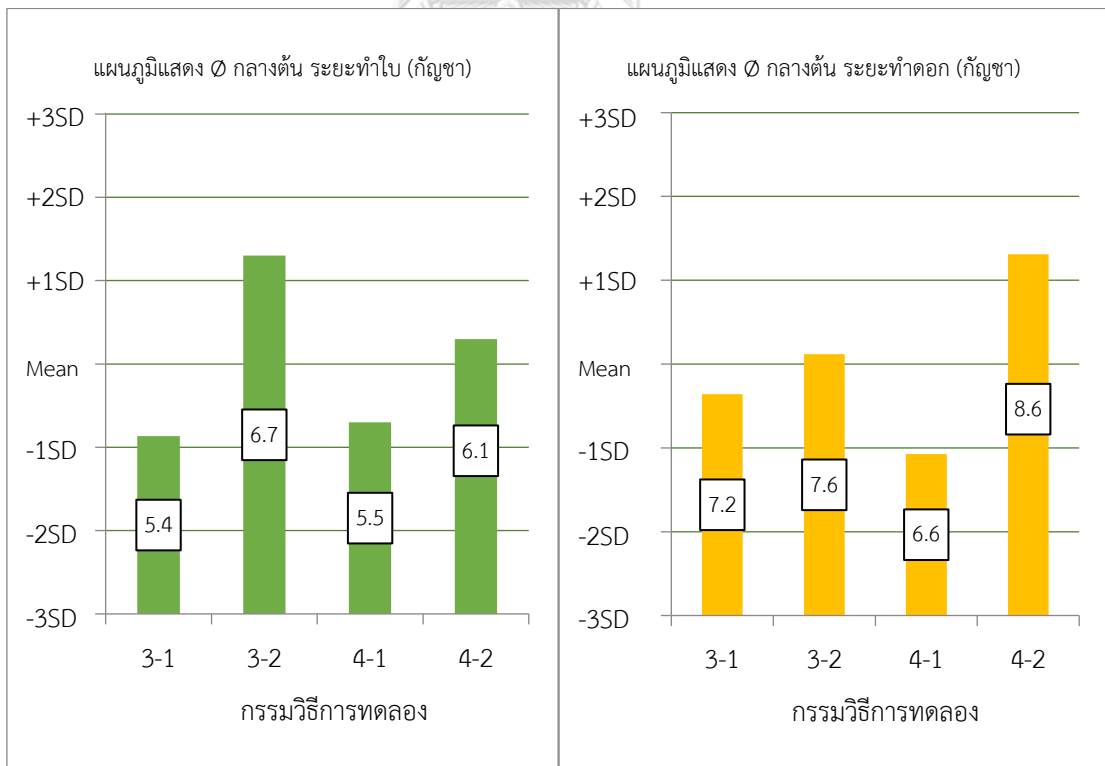
ภาพที่ 52 แผนภูมิแสดงความกว้างพุ่ม ระยะทำใบและระยะทำดอก (กัญชา)



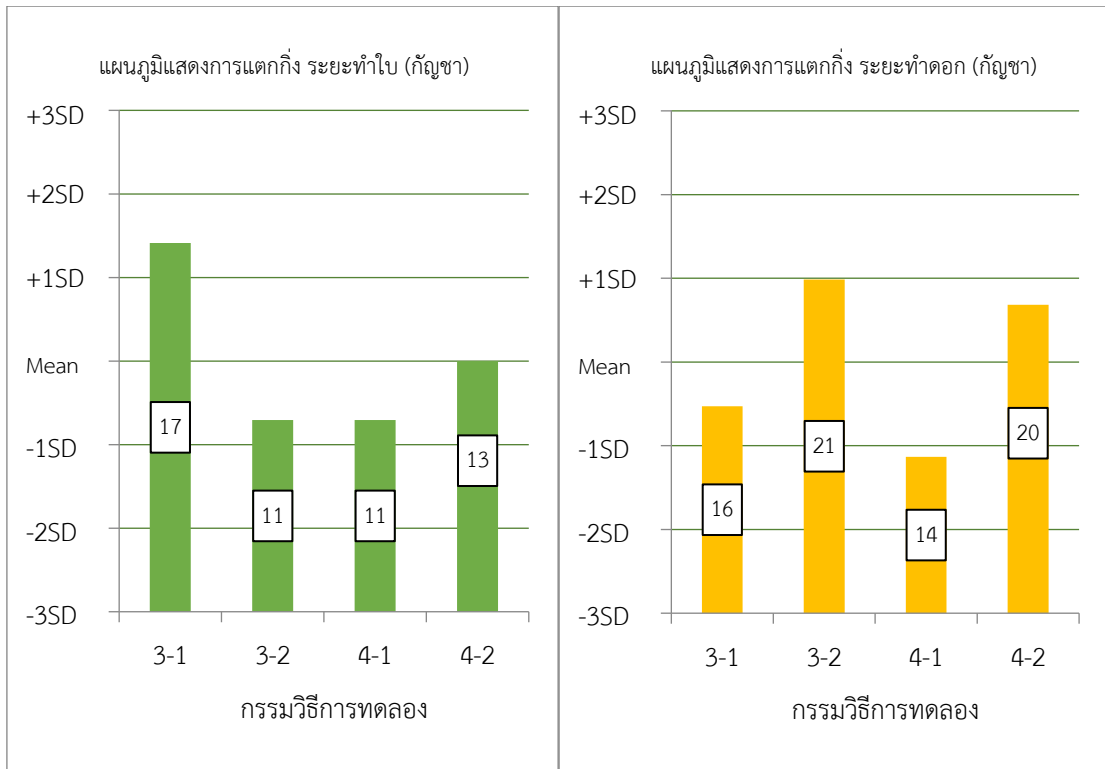
ภาพที่ 53 แผนภูมิแสดงความยาวพุ่ม ระยะทำใบและระยะทำดอก (กัญชา)



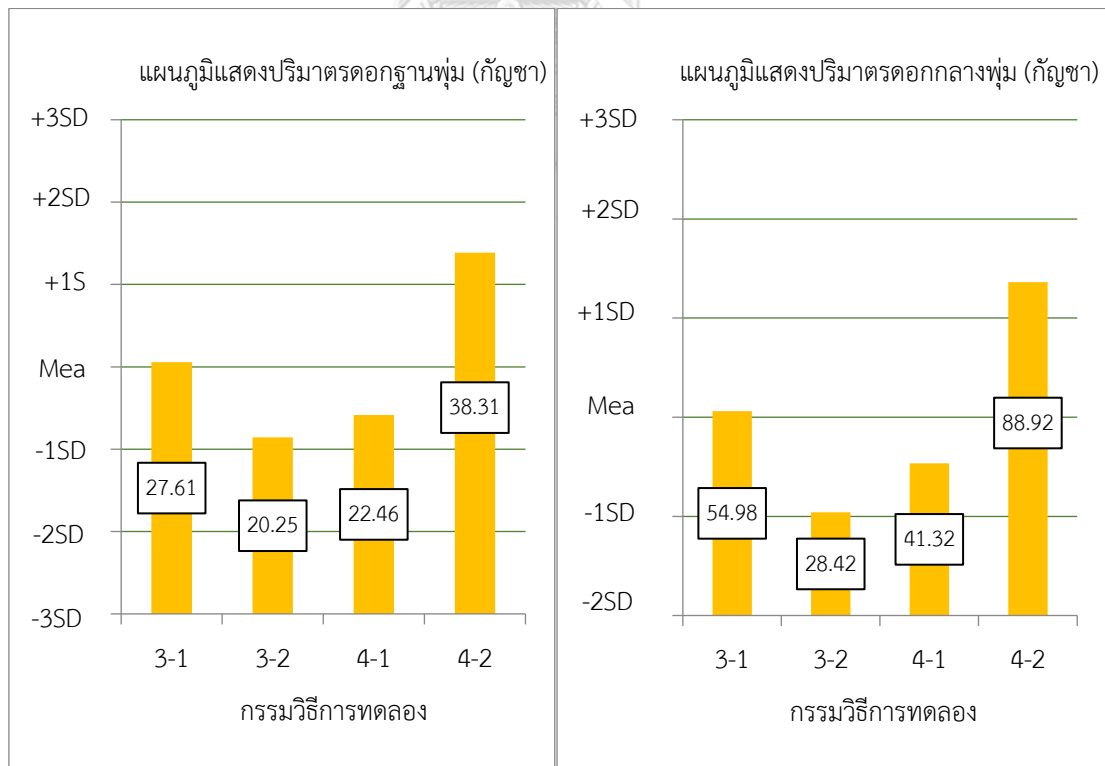
ภาพที่ 54 แผนภูมิแสดงเส้นผ่านศูนย์กลางฐานต้น ระยะทำใบและระยะทำดอก (กัญชา)



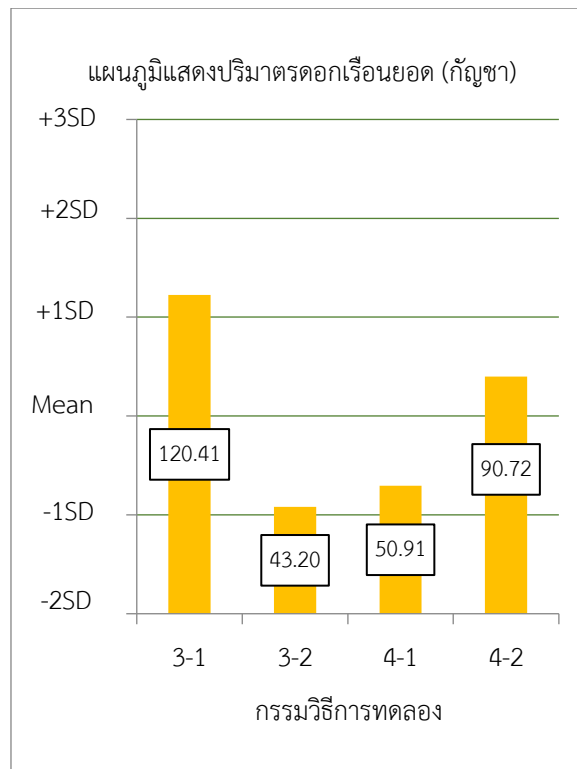
ภาพที่ 55 แผนภูมิแสดงเส้นผ่านศูนย์กลางกลางต้น ระยะทำใบและระยะทำดอก (กัญชา)



ภาพที่ 56 แผนภูมิแสดงการแตกกิ่ง ระยะทำใบและระยะทำดอก (گیฏชา)

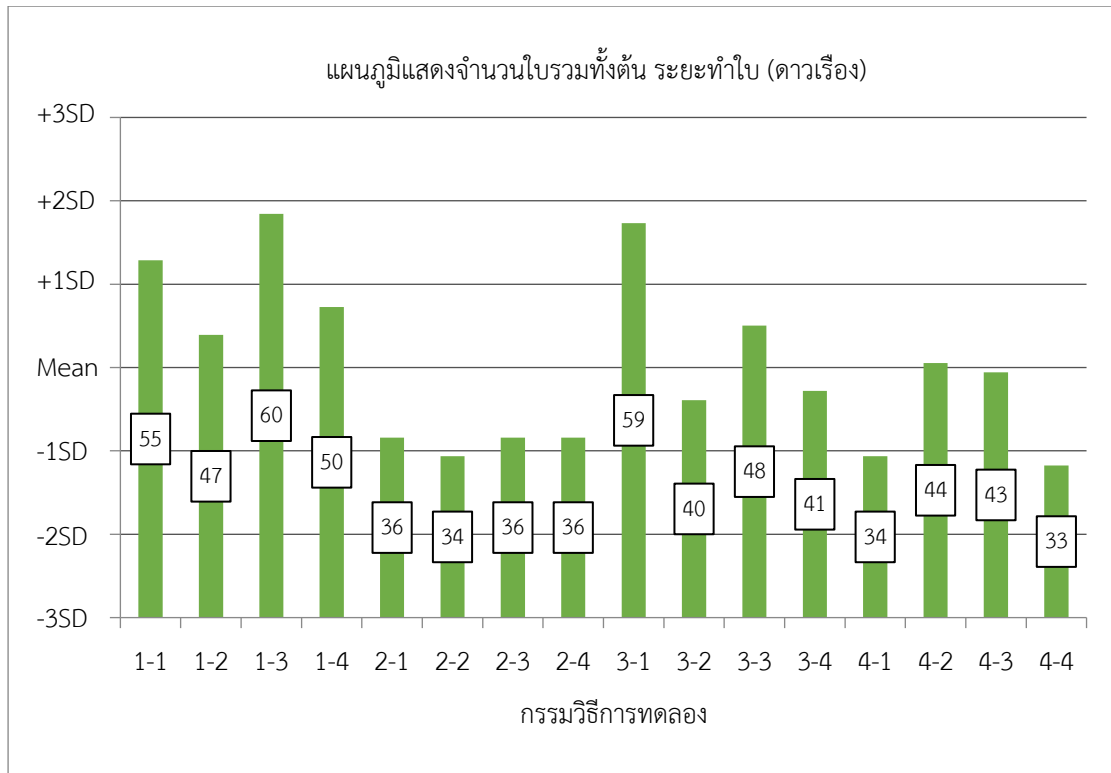


ภาพที่ 57 แผนภูมิแสดงปริมาณดอกฐานพุ่มและกลางพุ่ม ระยะทำดอก (گیฏชา)

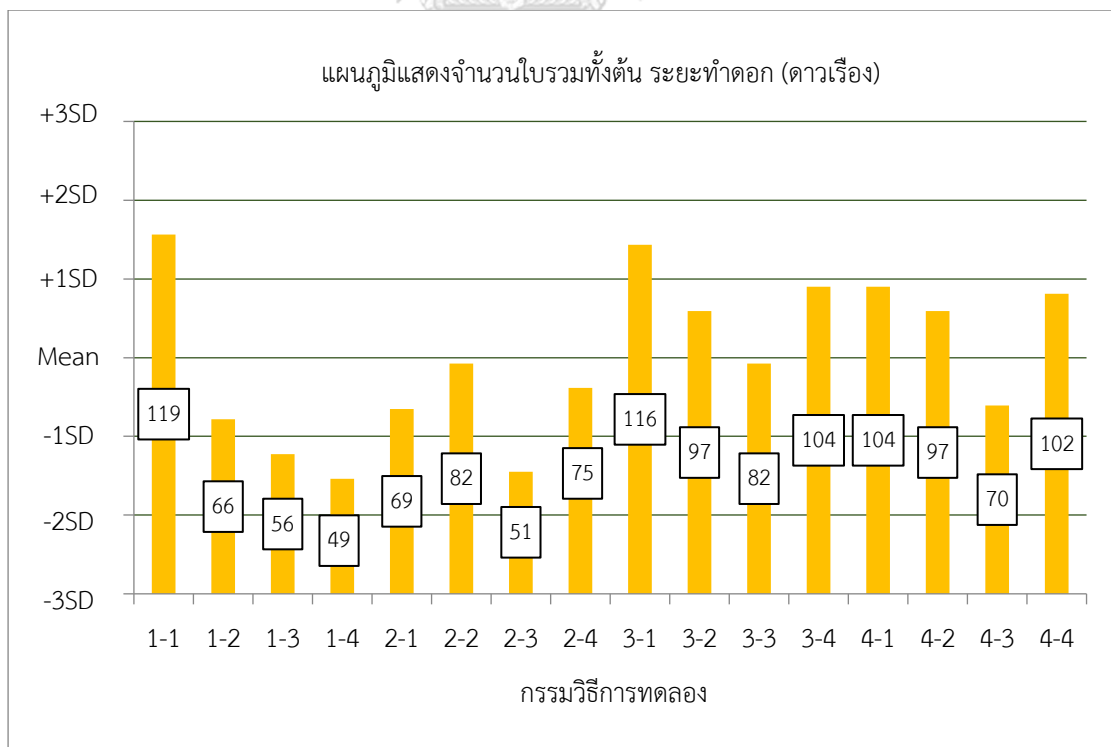


ภาพที่ 58 แผนภูมิแสดงปริมาณดอกเรื้อนยอด ระยะทำดอก (กัญชา)

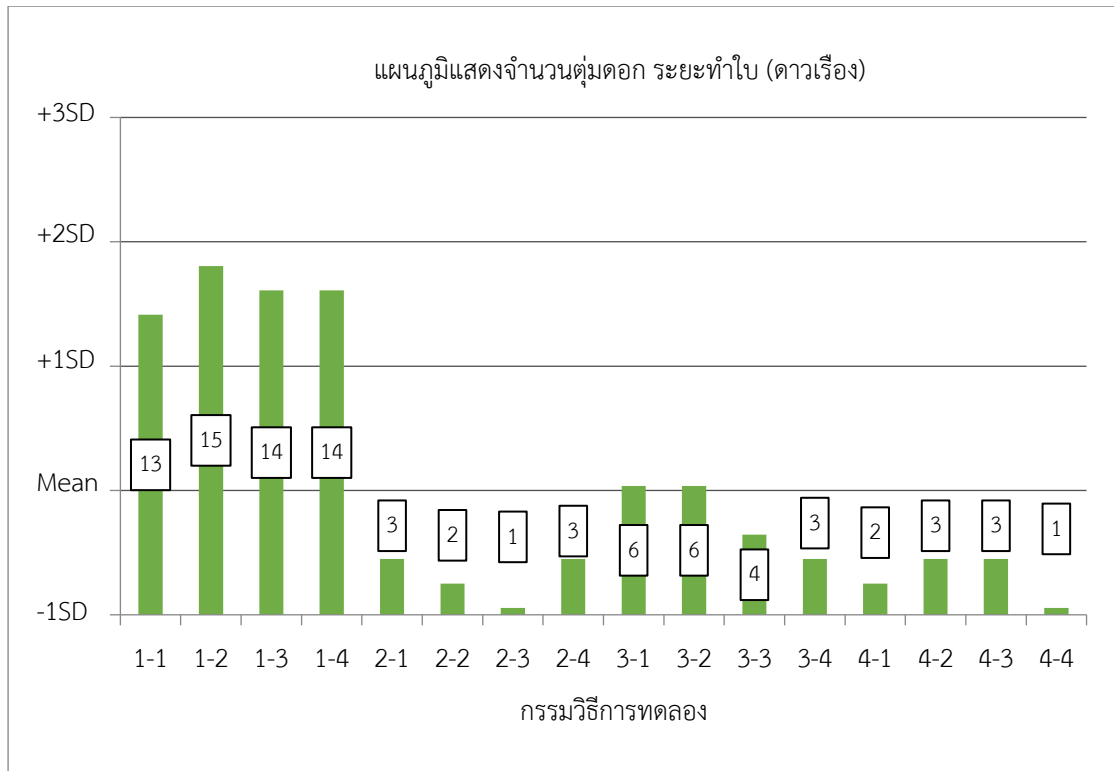




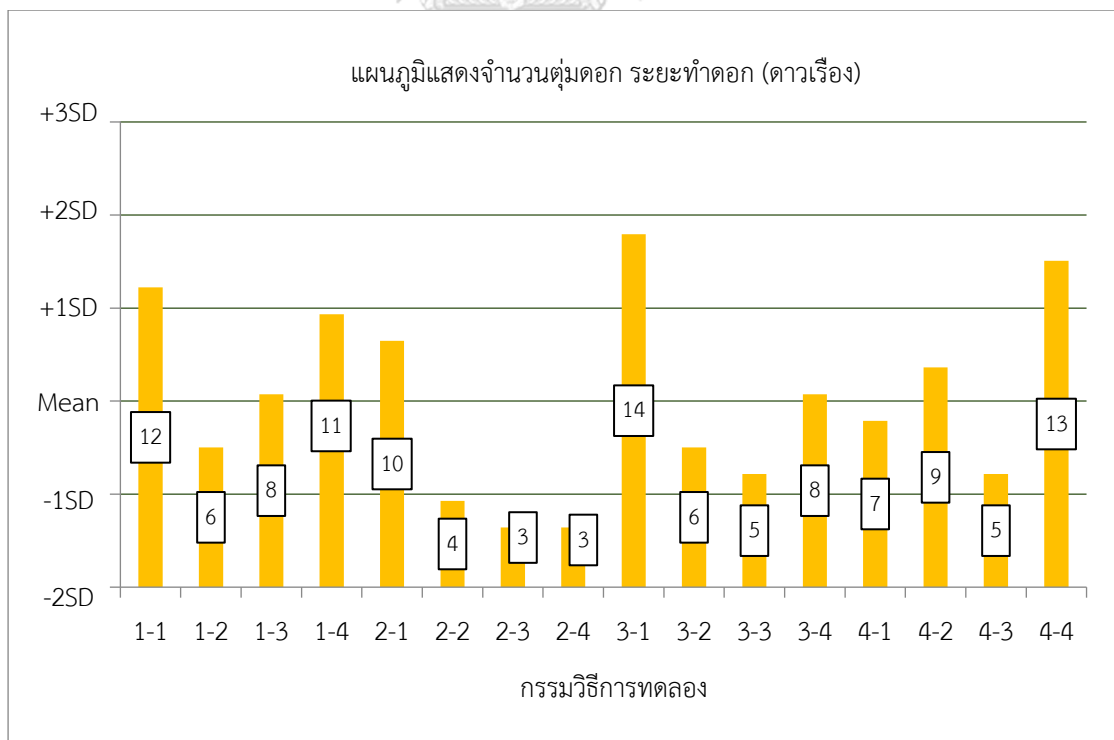
ภาพที่ 59 แผนภูมิแสดงจำนวนใบรวมทั้งต้น ระยะทำใบ (ดาวเรือง)



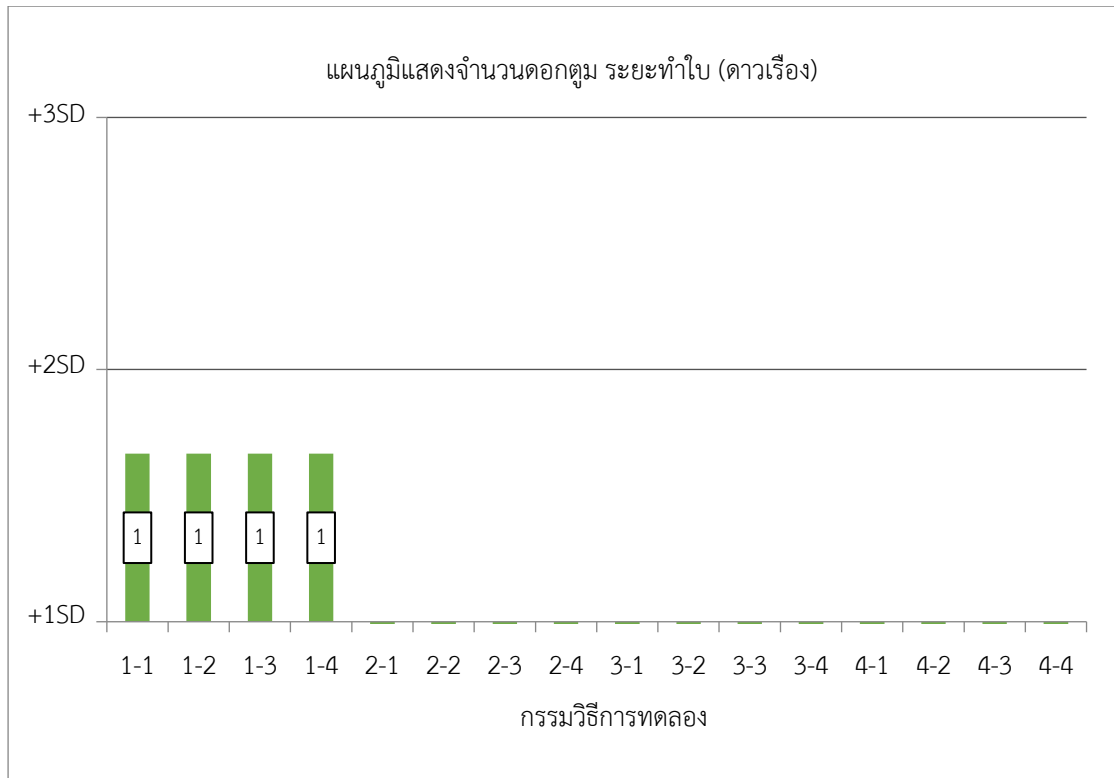
ภาพที่ 60 แผนภูมิแสดงจำนวนใบรวมทั้งต้น ระยะทำดอก (ดาวเรือง)



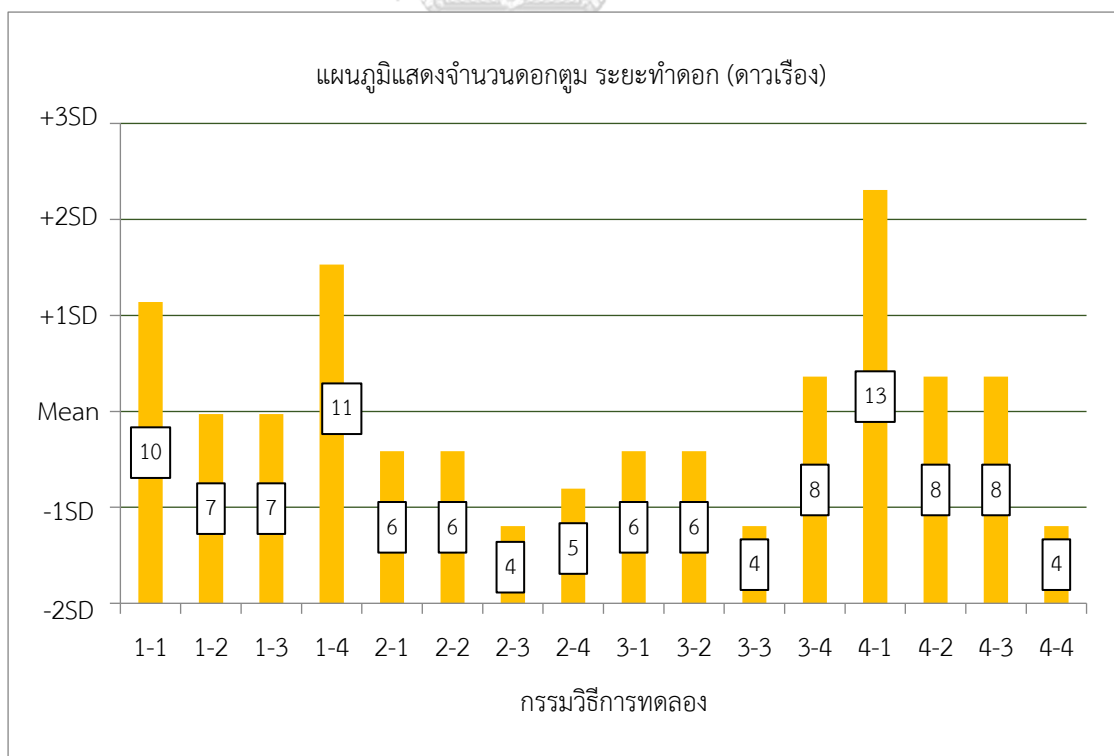
ภาพที่ 61 แผนภูมิแสดงจำนวนตุ่มดอก ระยะทำใบ (ดาวเรือง)



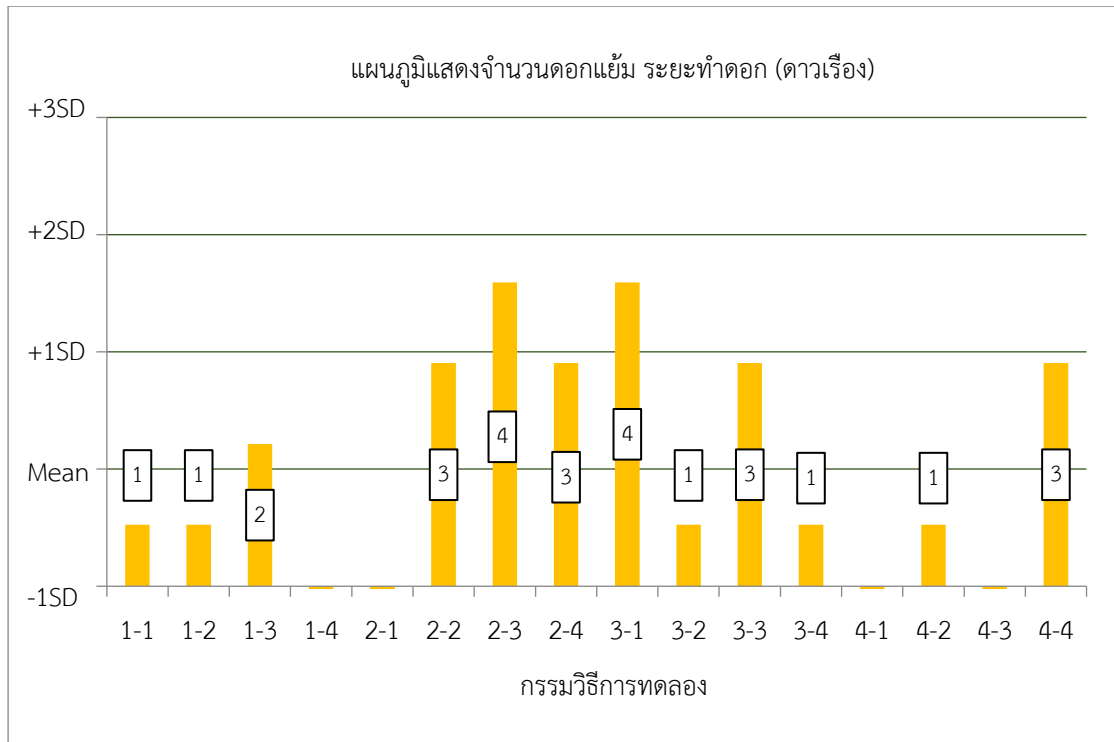
ภาพที่ 62 แผนภูมิแสดงจำนวนตุ่มดอก ระยะทำดอก (ดาวเรือง)



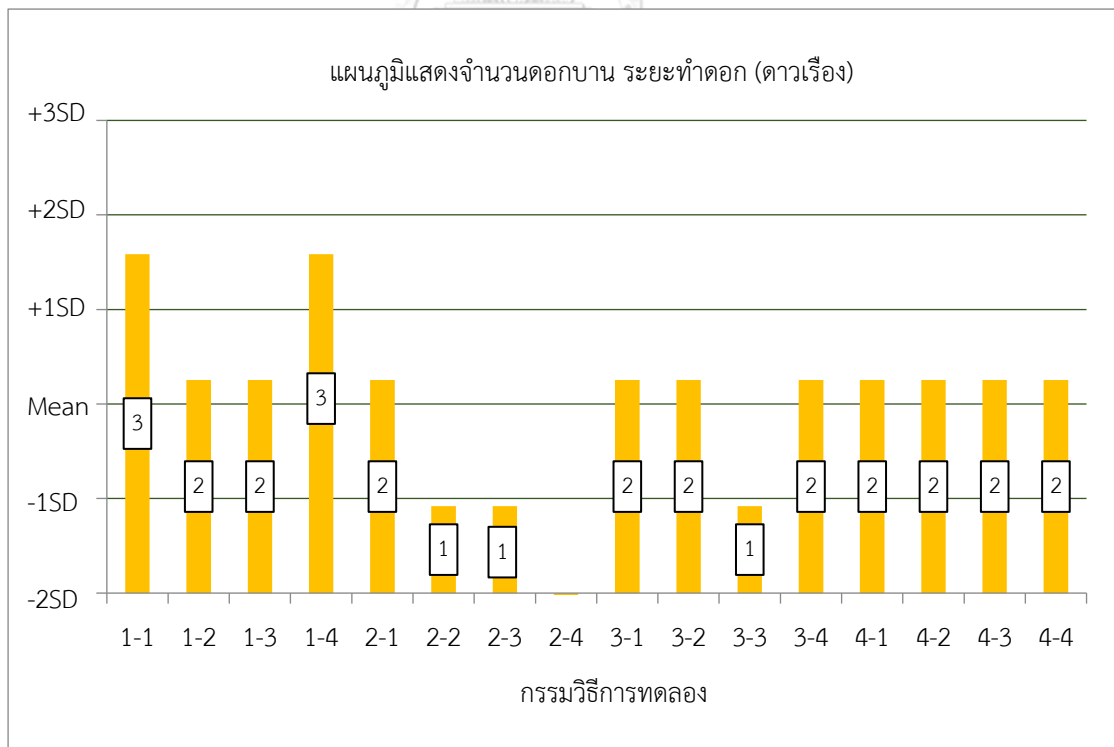
ภาพที่ 63 แผนภูมิแสดงจำนวนดอกตูม ระยะทำใบ (ดาวเรือง)



ภาพที่ 64 แผนภูมิแสดงจำนวนดอกตูม ระยะทำดอก (ดาวเรือง)

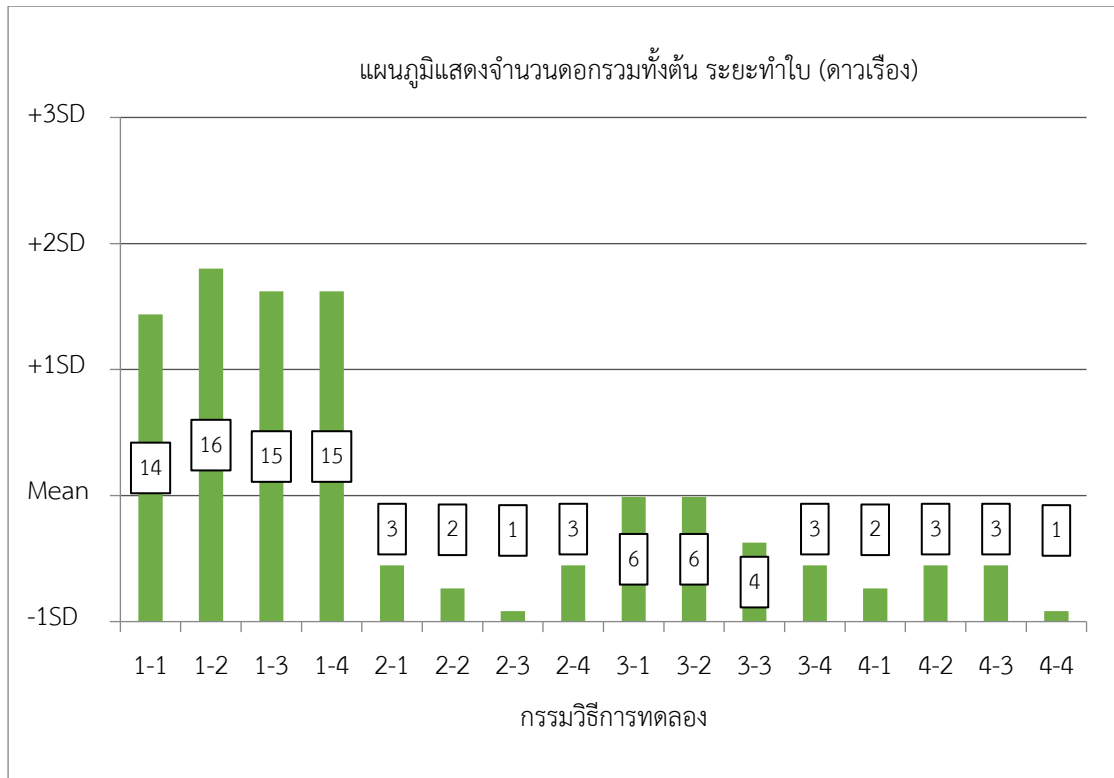


ภาพที่ 65 แผนภูมิแสดงจำนวนดอกแย้ม ระยะทำดอก (ดาวเรือง)

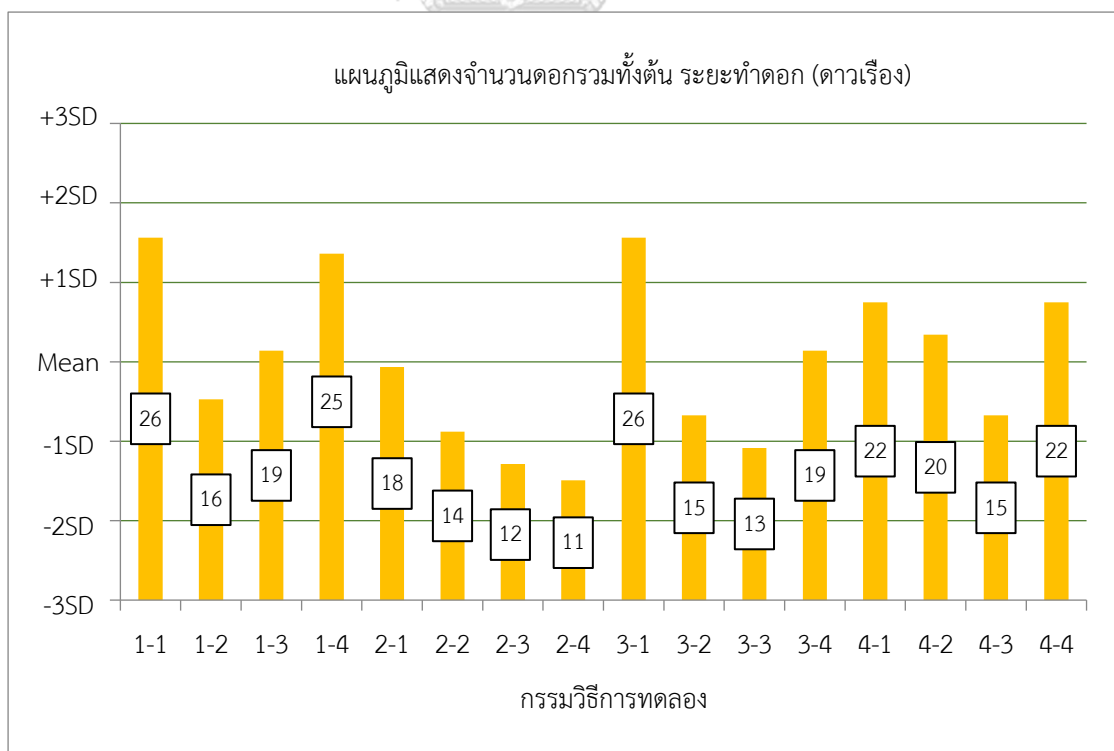


ภาพที่ 66 แผนภูมิแสดงจำนวนดอกบาน ระยะทำดอก (ดาวเรือง)

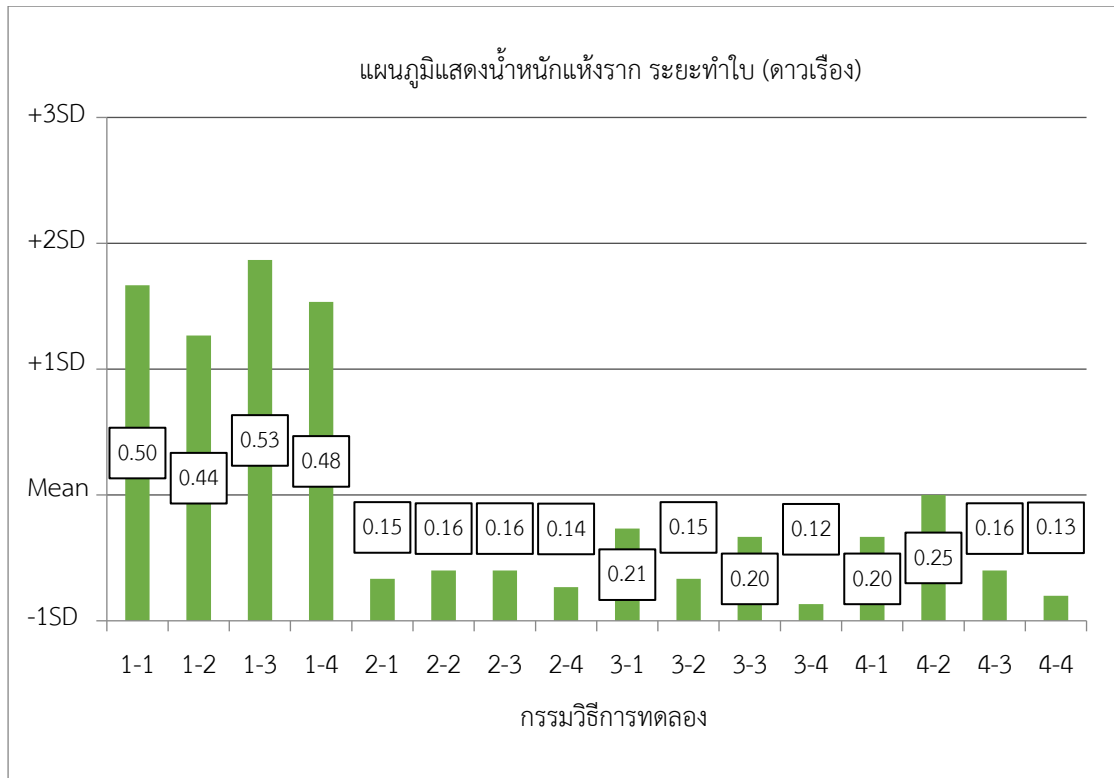




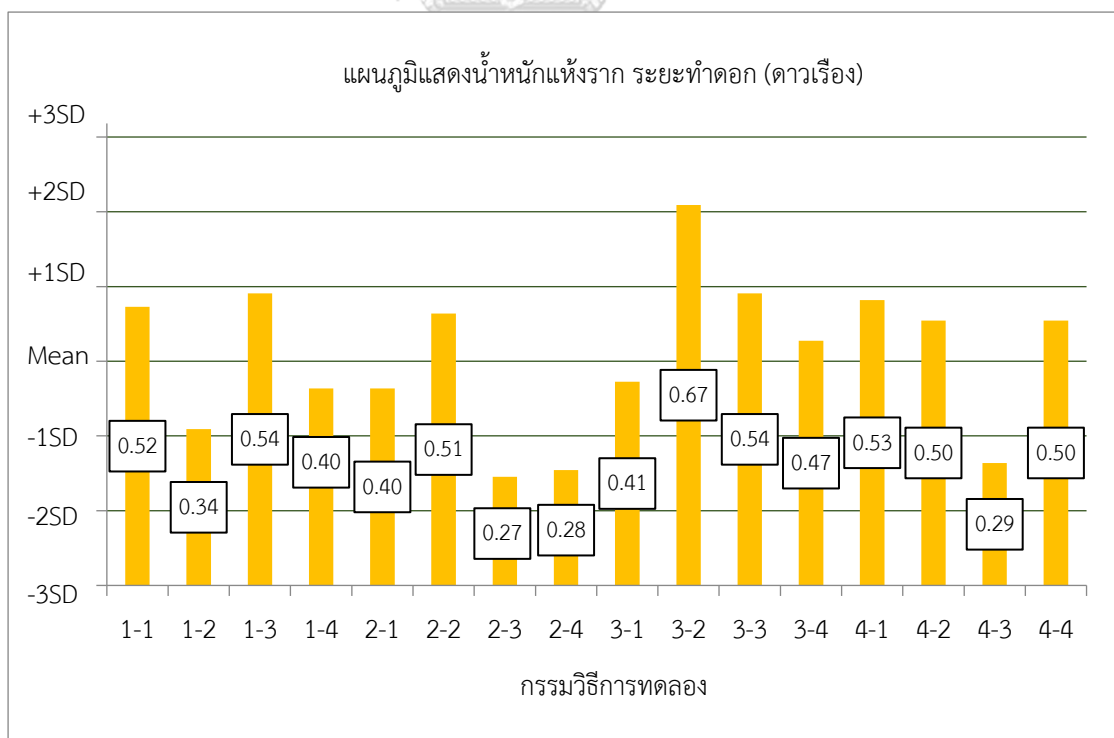
ภาพที่ 67 แผนภูมิแสดงจำนวนดอกรวมทั้งต้น ระยะทำใบ (ดาวเรือง)



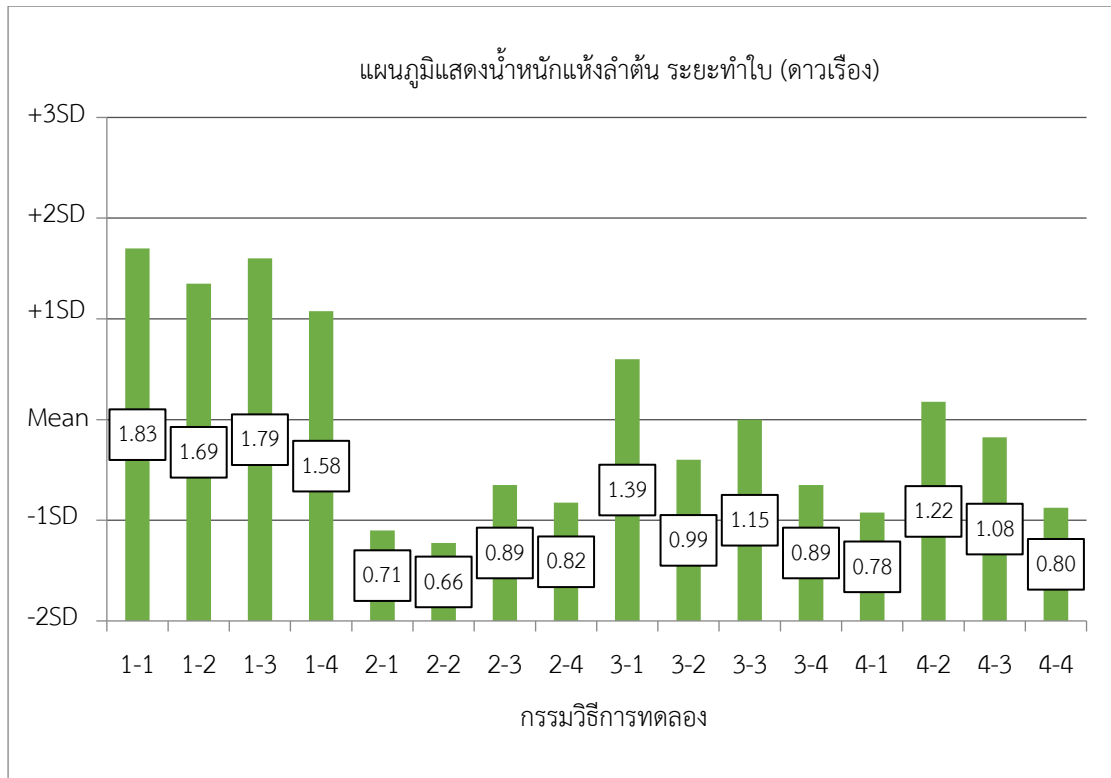
ภาพที่ 68 แผนภูมิแสดงจำนวนดอกรวมทั้งต้น ระยะทำดอก (ดาวเรือง)



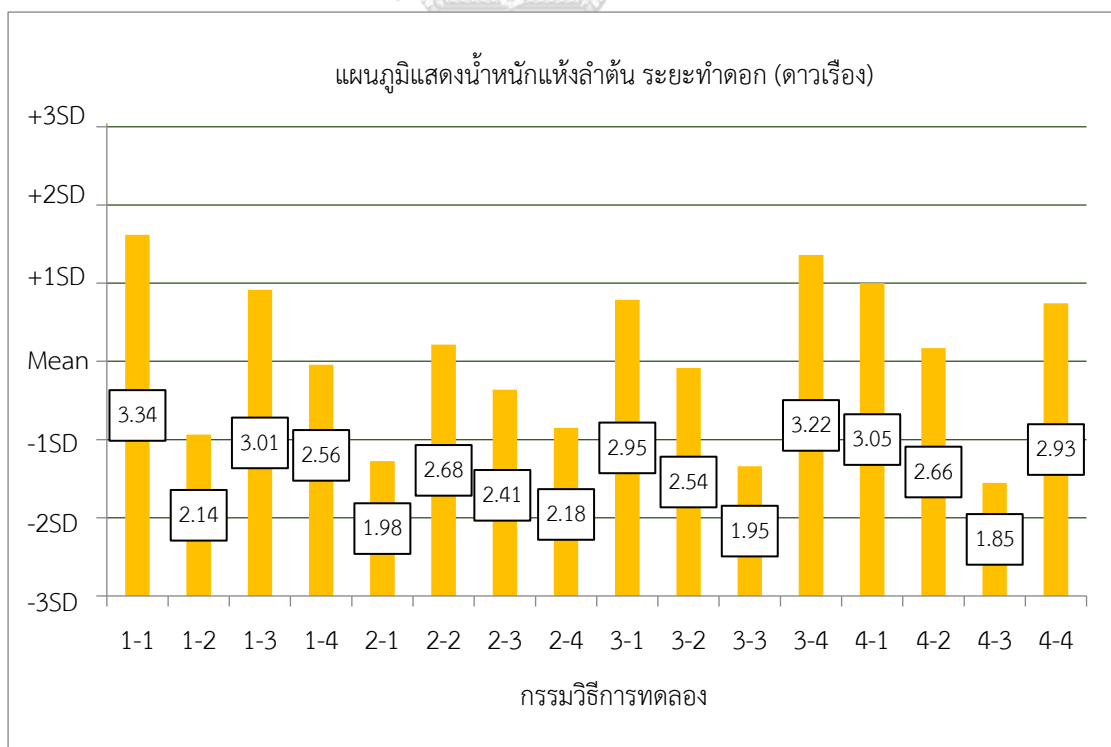
ภาพที่ 69 แผนภูมิแสดงน้ำหนักราก ระยะทำใบ (ดาวเรือง)



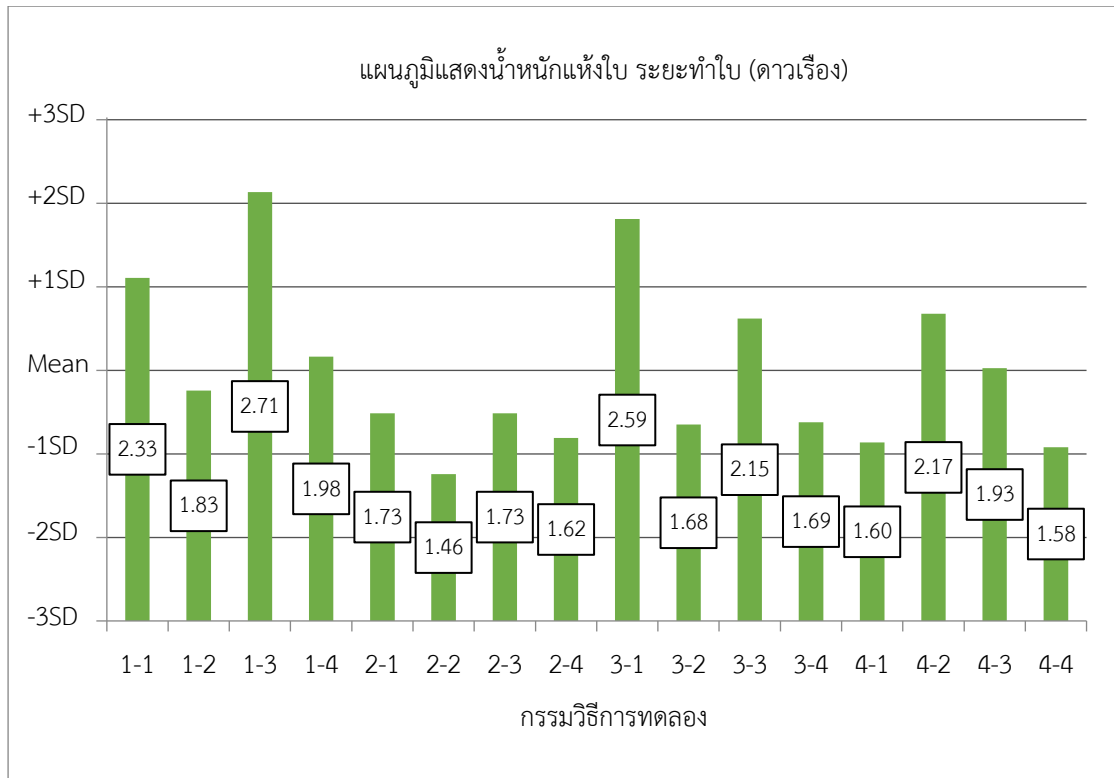
ภาพที่ 70 แผนภูมิแสดงน้ำหนักราก ระยะทำดอก (ดาวเรือง)



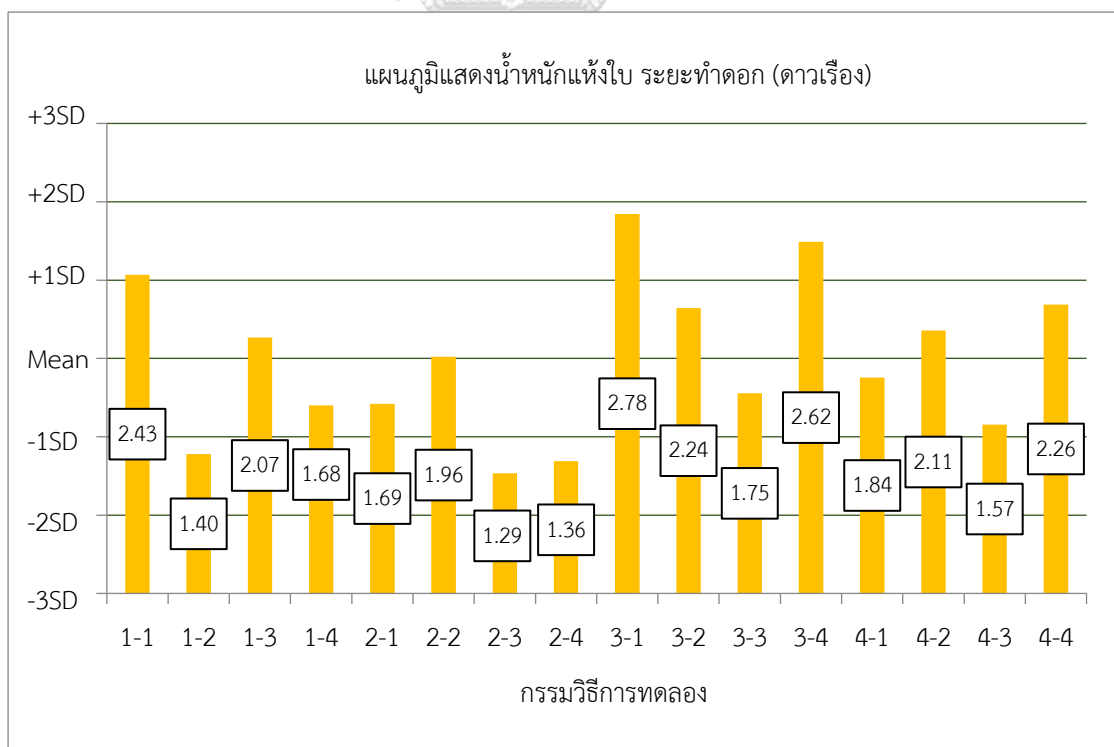
ภาพที่ 71 แผนภูมิแสดงน้ำหนักแห้งลำต้น ระยะทำใบ (ดาวเรือง)



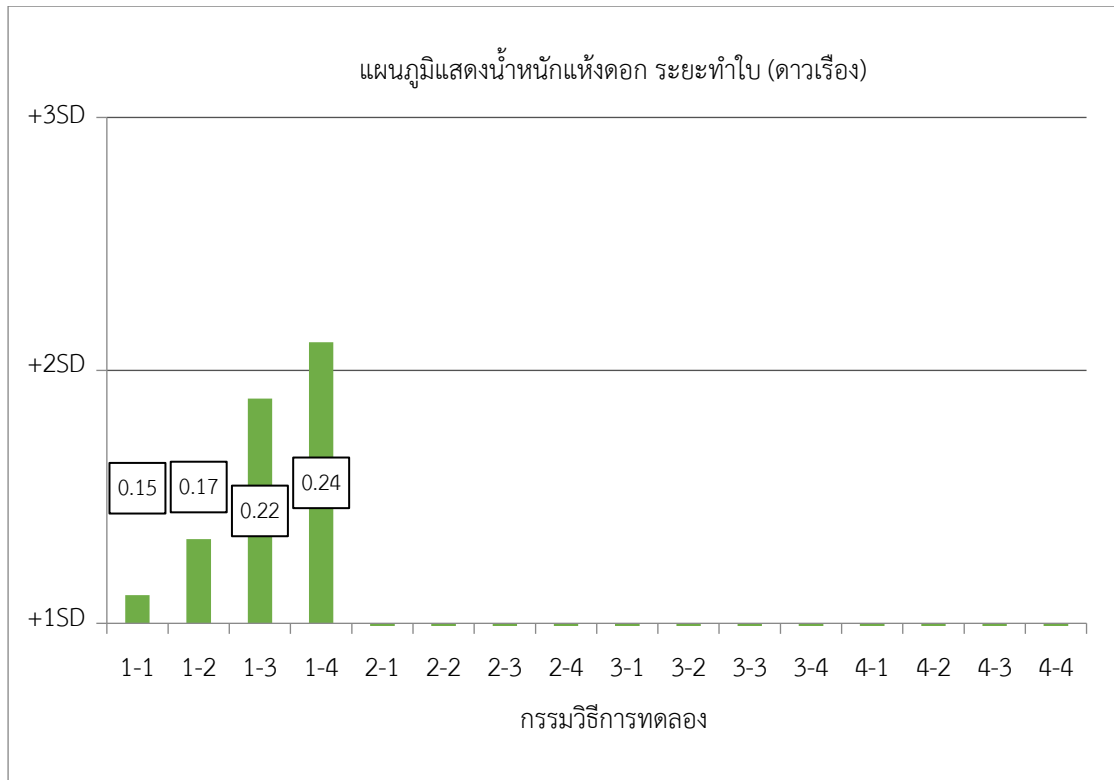
ภาพที่ 72 แผนภูมิแสดงน้ำหนักแห้งลำต้น ระยะทำดอก (ดาวเรือง)



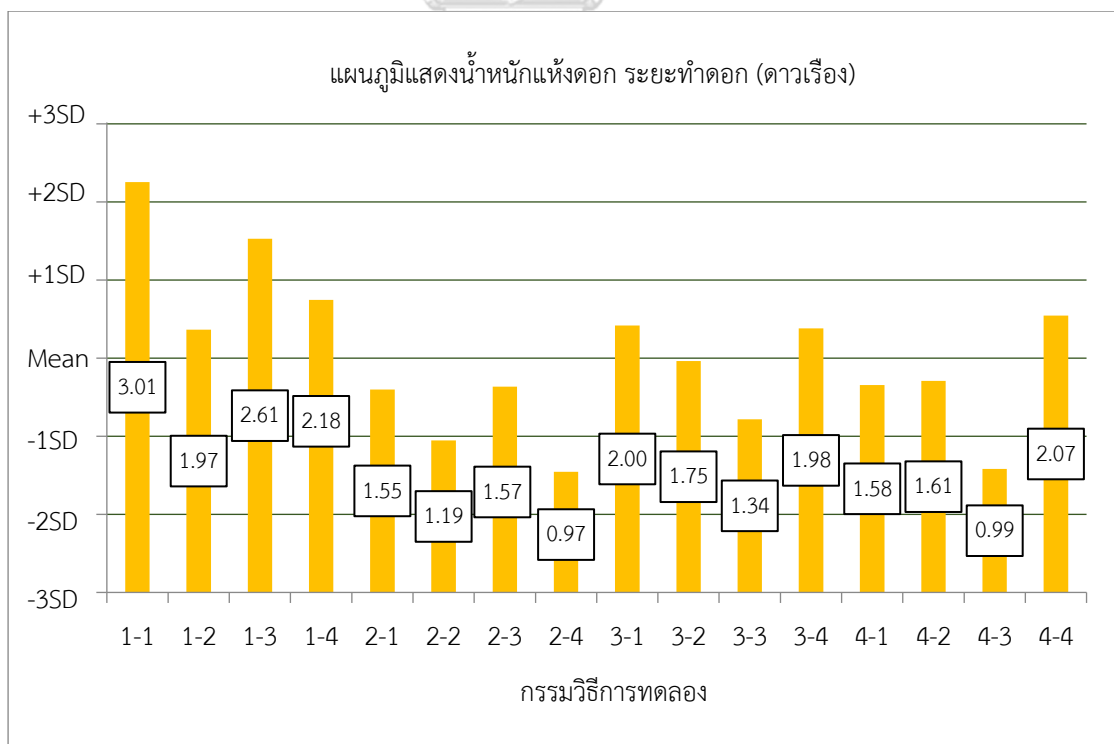
ภาพที่ 73 แผนภูมิแสดงน้ำหนักแห้งใบ ระยะทำใบ (ดาวเรือง)



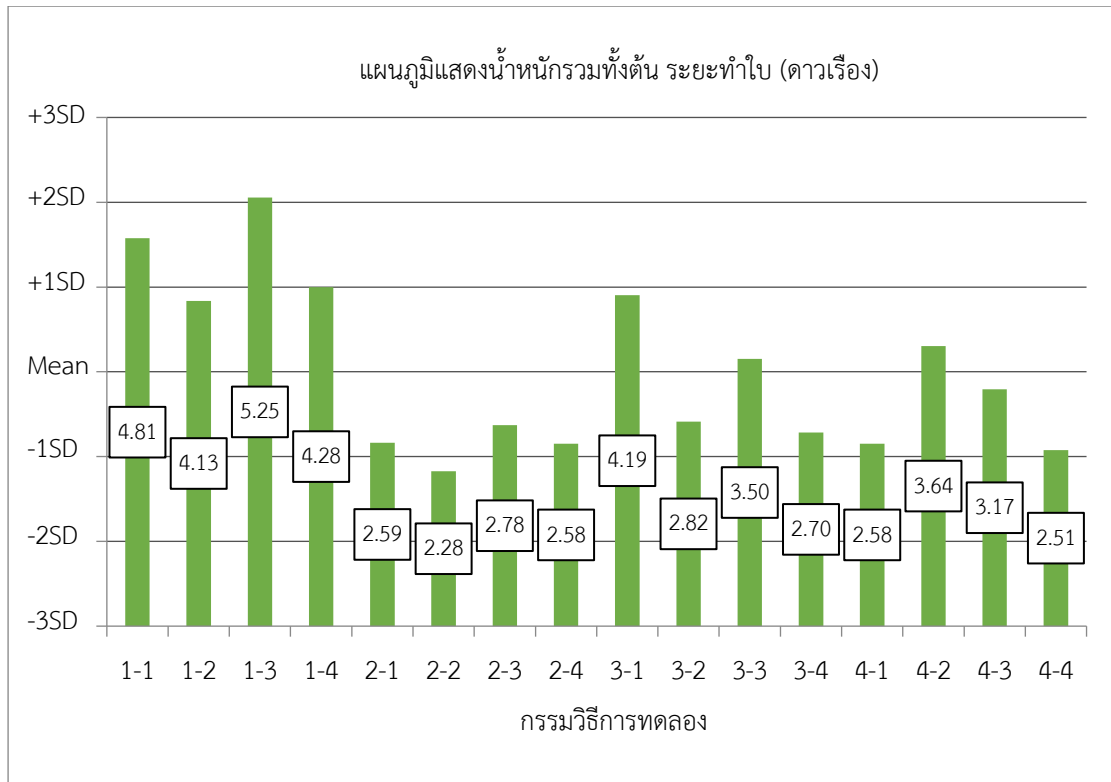
ภาพที่ 74 แผนภูมิแสดงน้ำหนักแห้งใบ ระยะทำดอก (ดาวเรือง)



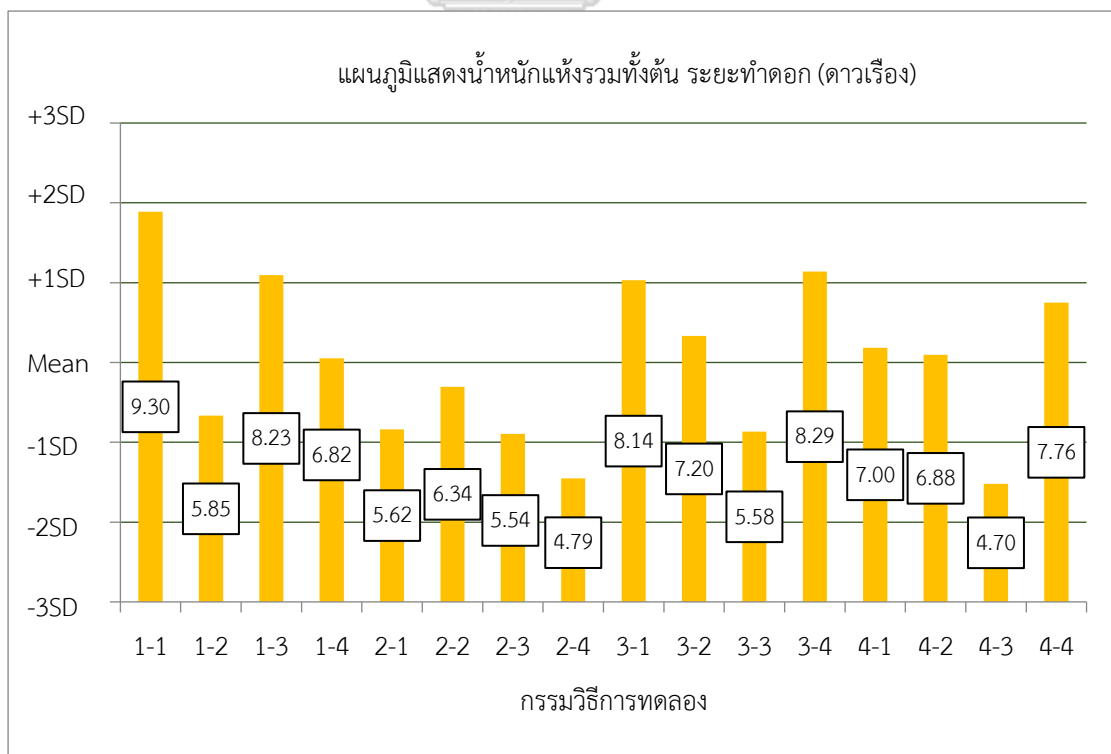
ภาพที่ 75 แผนภูมิแสดงน้ำหนักแห้งดอก ระยะทำใบ (ดาวเรือง)



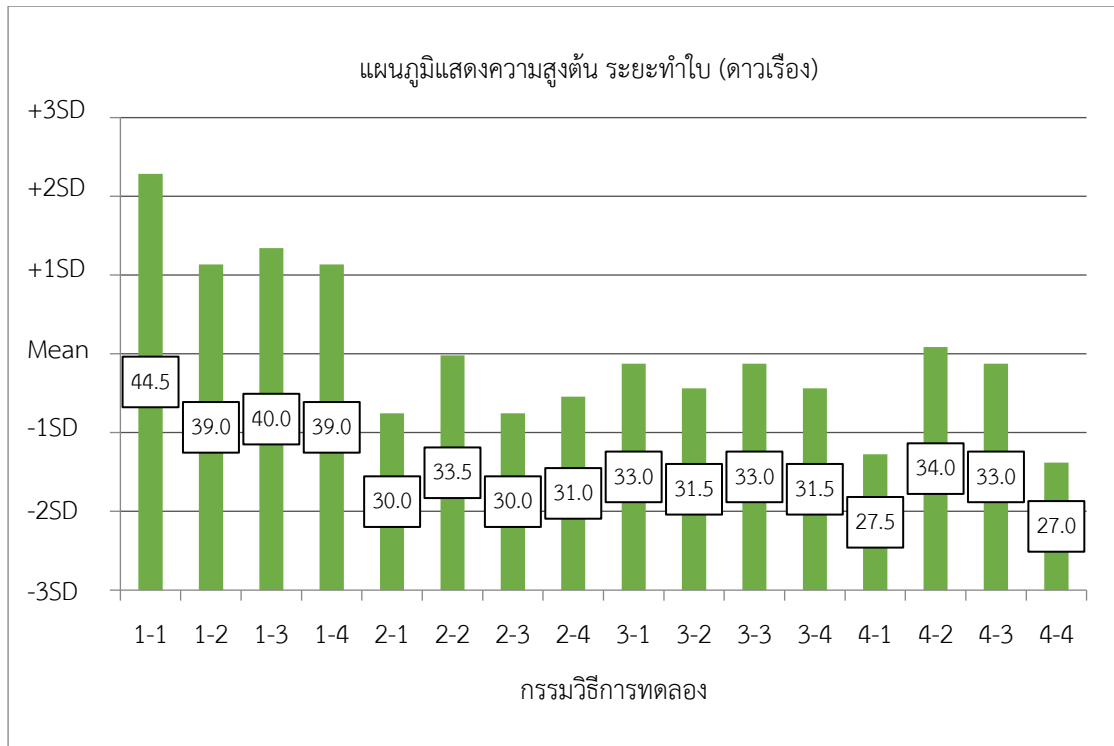
ภาพที่ 76 แผนภูมิแสดงน้ำหนักแห้งดอก ระยะทำดอก (ดาวเรือง)



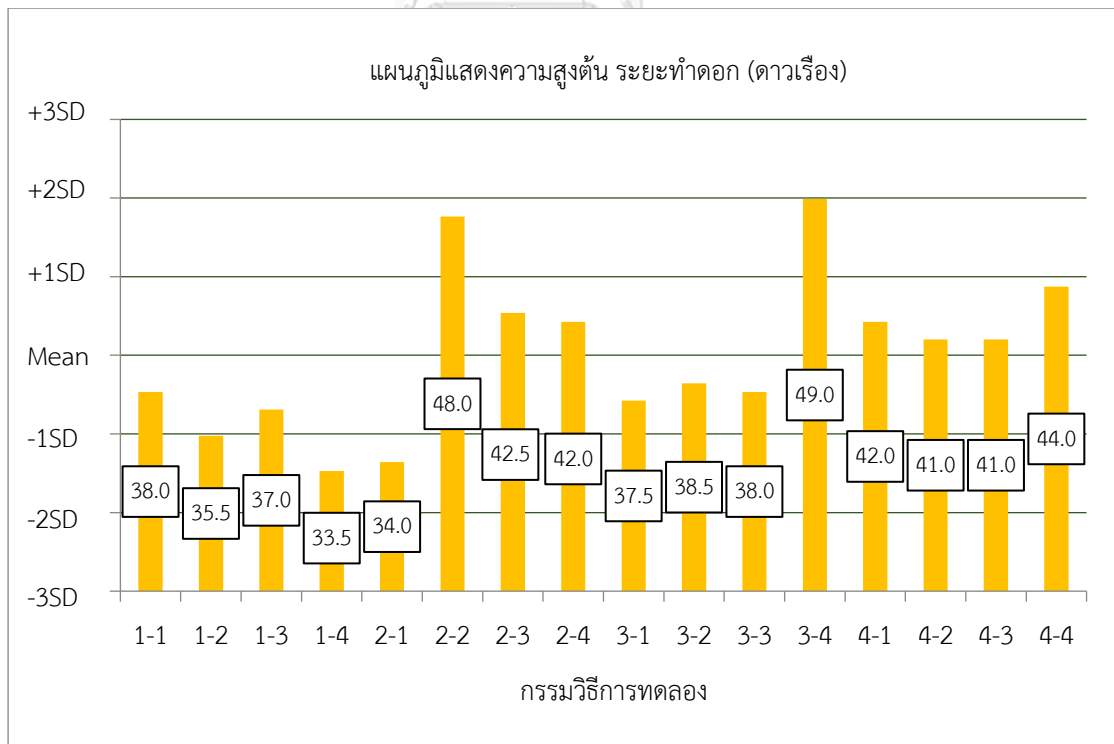
ภาพที่ 77 แผนภูมิแสดงน้ำหนักแห้งรวมทั้งต้น ระยะทำใบ (ดาวเรือง)



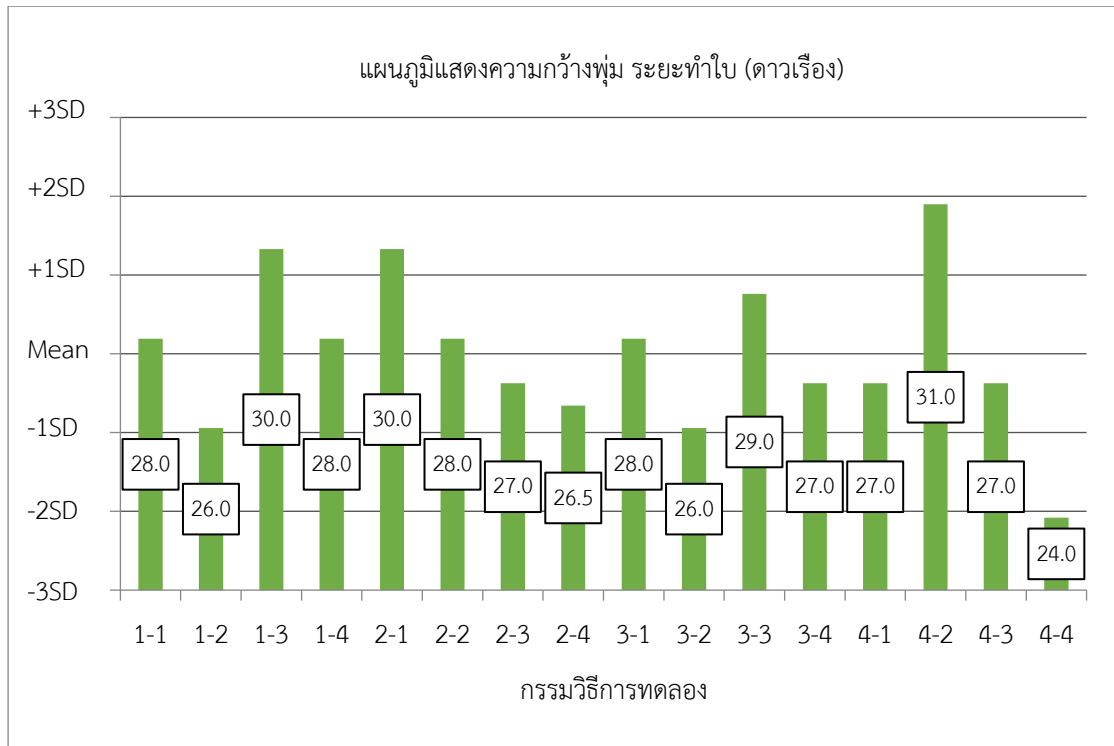
ภาพที่ 78 แผนภูมิแสดงน้ำหนักแห้งรวมทั้งต้น ระยะทำดอก (ดาวเรือง)



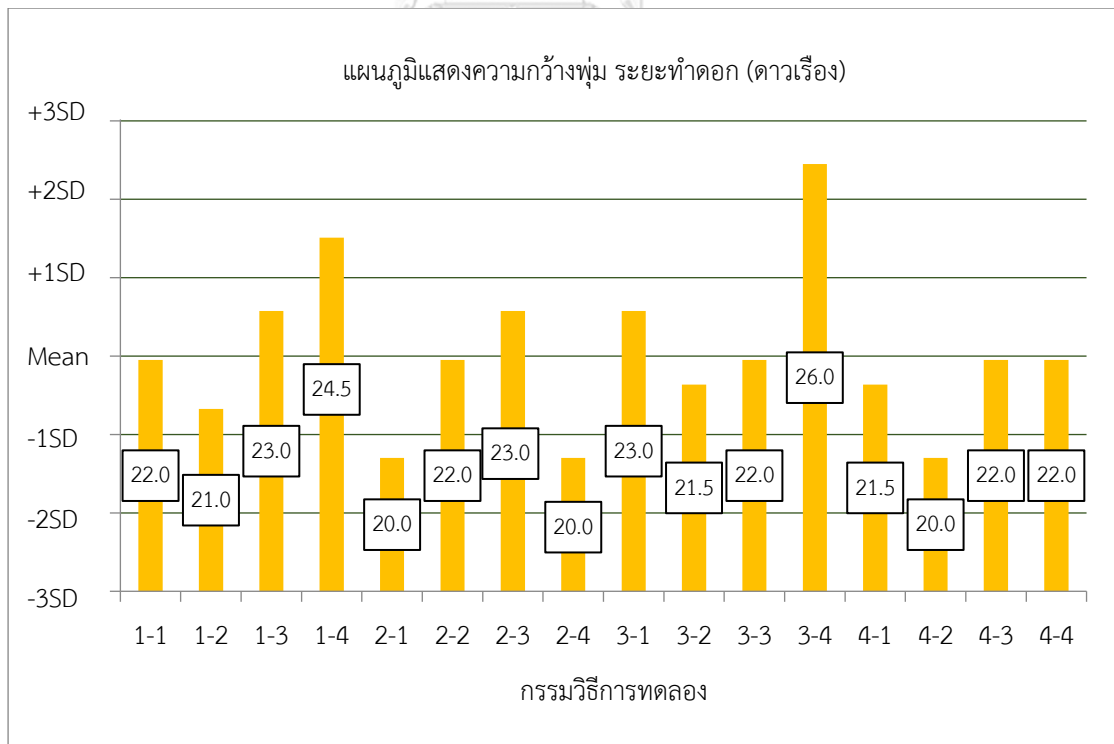
ภาพที่ 79 แผนภูมิแสดงความสูงต้น ระยะทำใบ (ดาวเรือง)



ภาพที่ 80 แผนภูมิแสดงความสูงต้น ระยะทำดอก (ดาวเรือง)

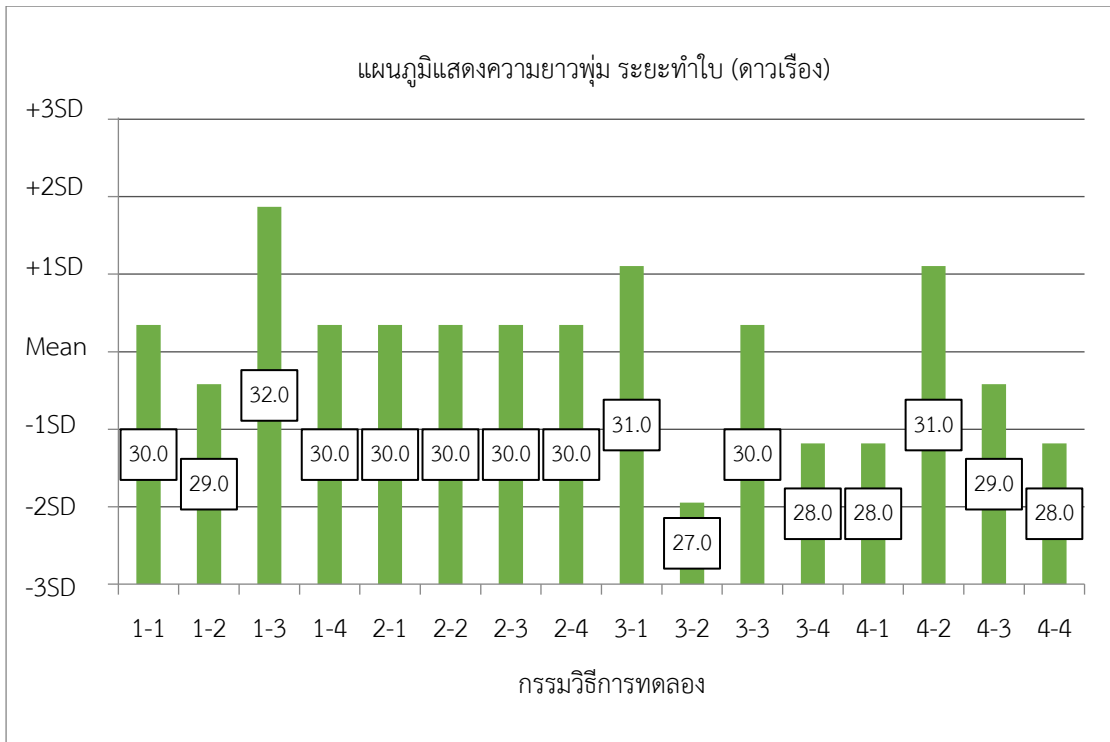


ภาพที่ 81 แผนภูมิแสดงความกว้างพุ่ม ระยะทำใบ (ดาวเรือง)

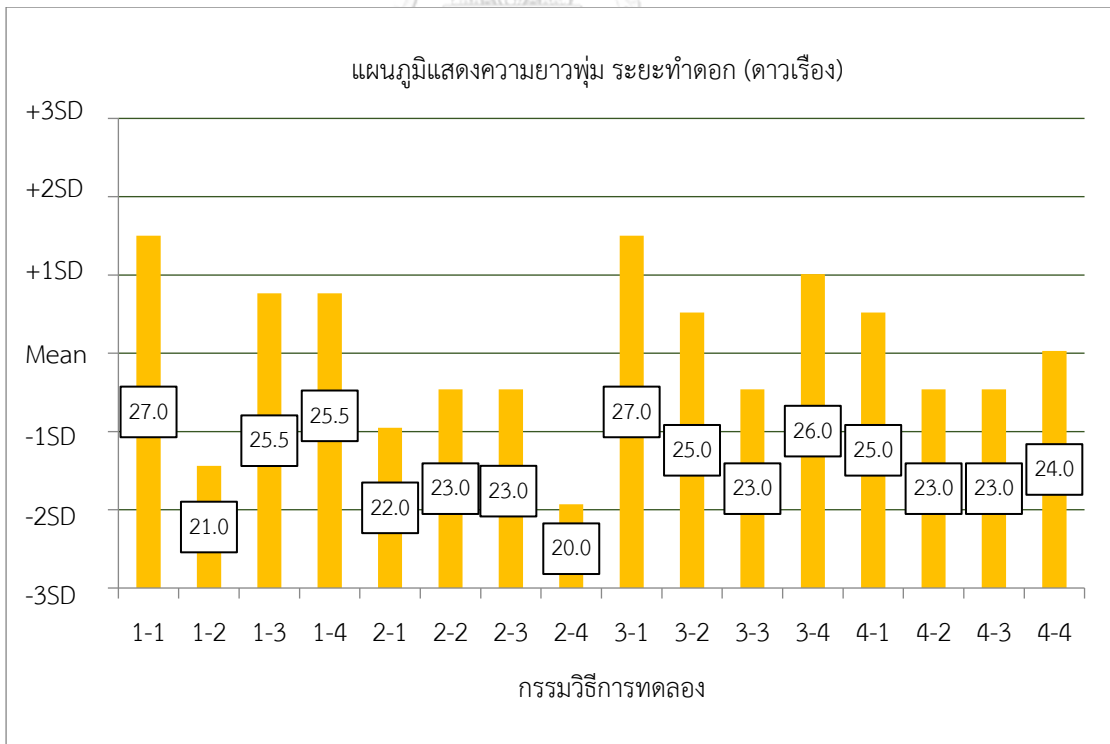


ภาพที่ 82 แผนภูมิแสดงความกว้างพุ่ม ระยะทำดอก (ดาวเรือง)

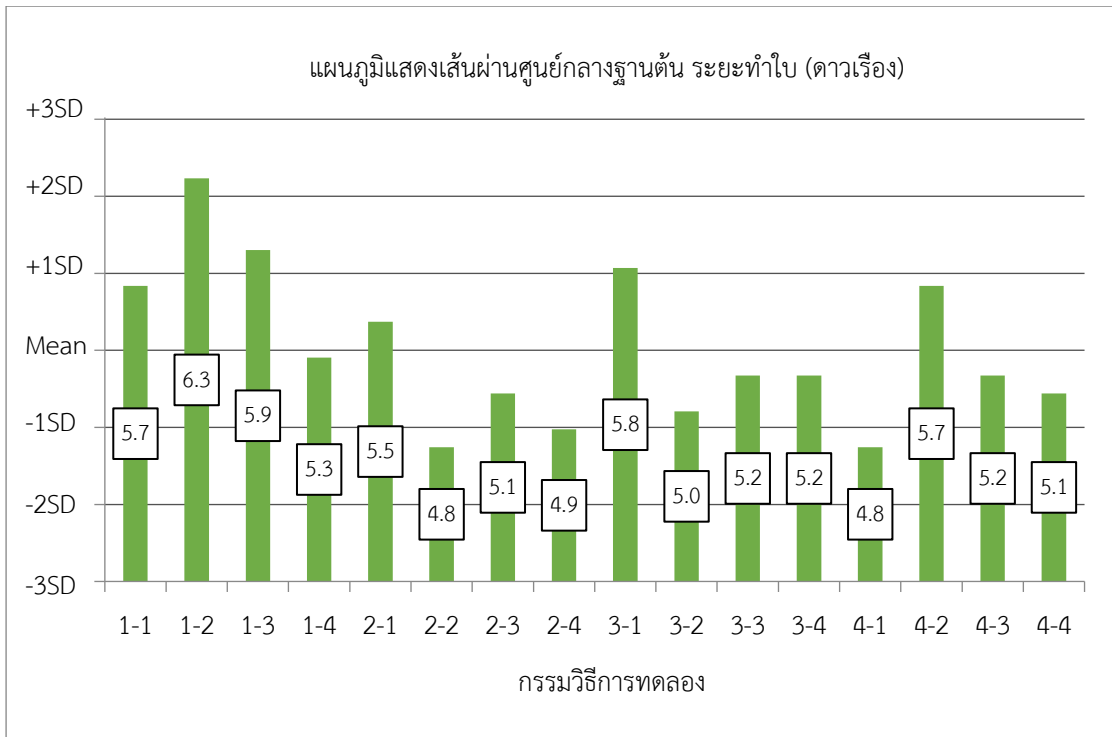




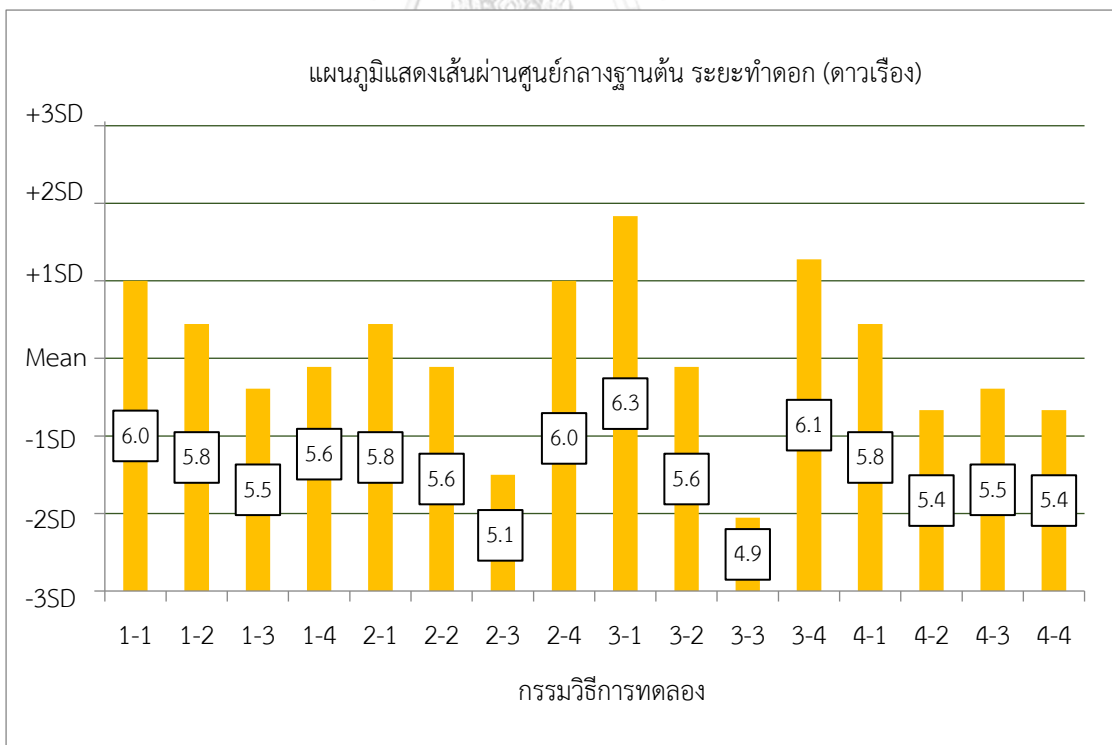
ภาพที่ 83 แผนภูมิแสดงความยาวพุ่ม ระยะทำใบ (ดาวเรือง)



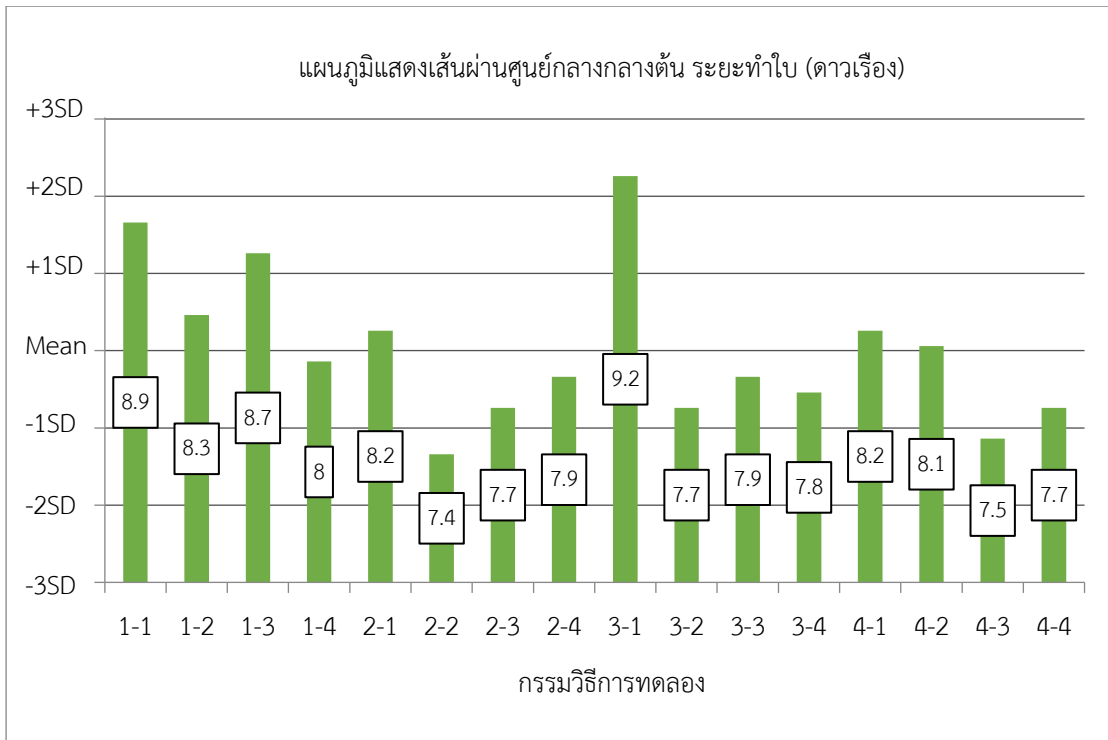
ภาพที่ 84 แผนภูมิแสดงความยาวพุ่ม ระยะทำดอก (ดาวเรือง)



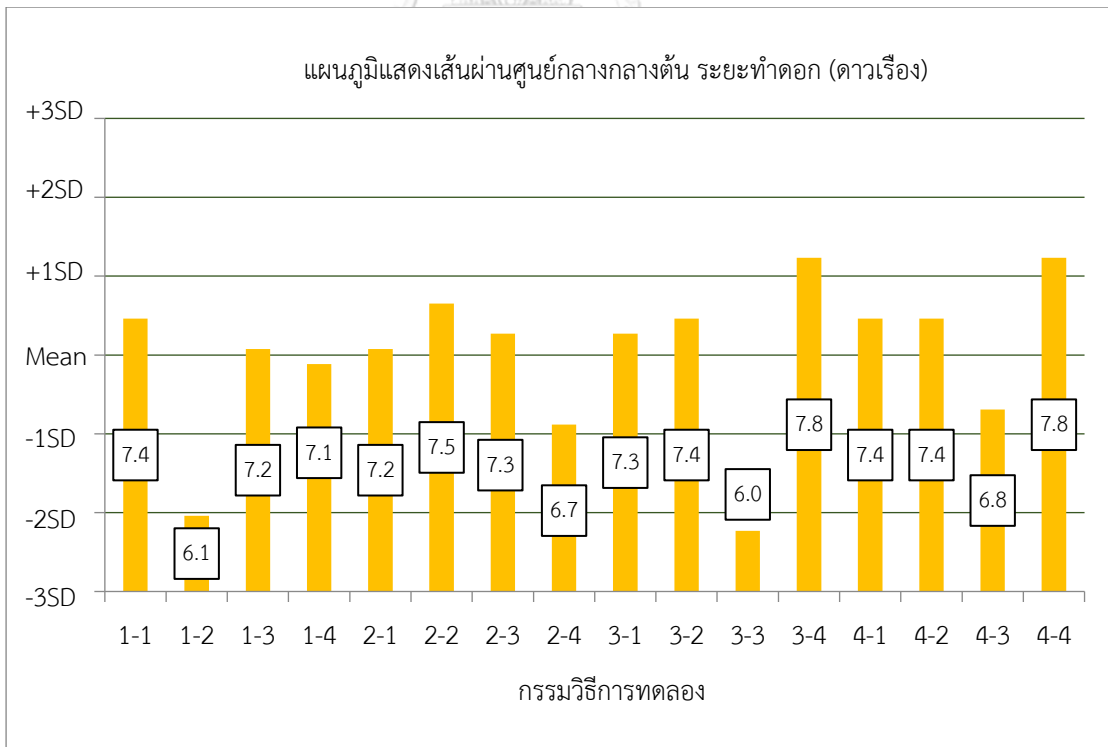
ภาพที่ 85 แผนภูมิแสดงเส้นผ่านศูนย์กลางฐานต้น ระยะทำใบ (ดาวเรือง)



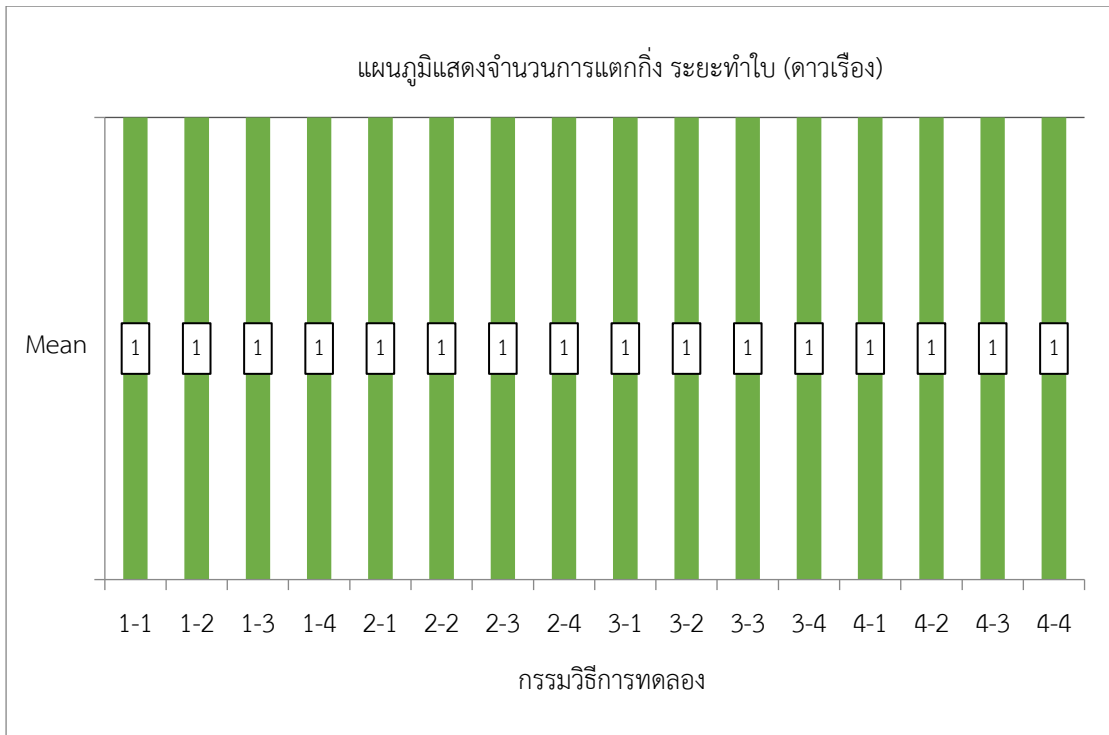
ภาพที่ 86 แผนภูมิแสดงเส้นผ่านศูนย์กลางฐานต้น ระยะทำดอก (ดาวเรือง)



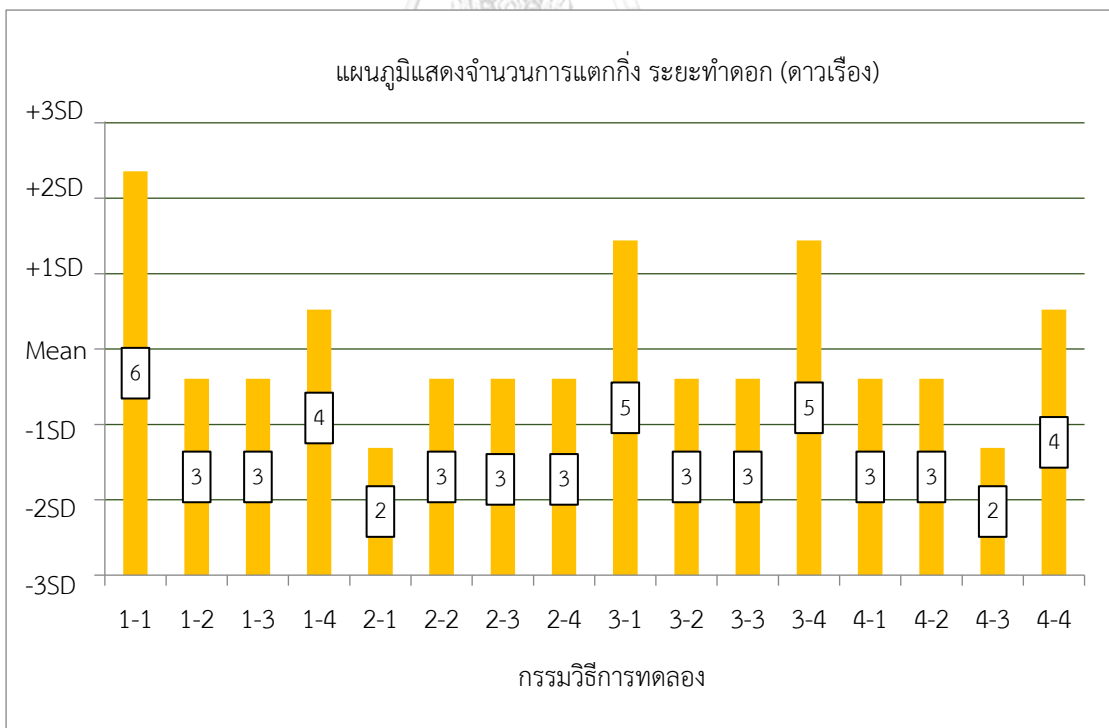
ภาพที่ 87 แผนภูมิแสดงเส้นผ่านศูนย์กลางกลางกลางต้น ระยะทำใบ (ดาวเรือง)



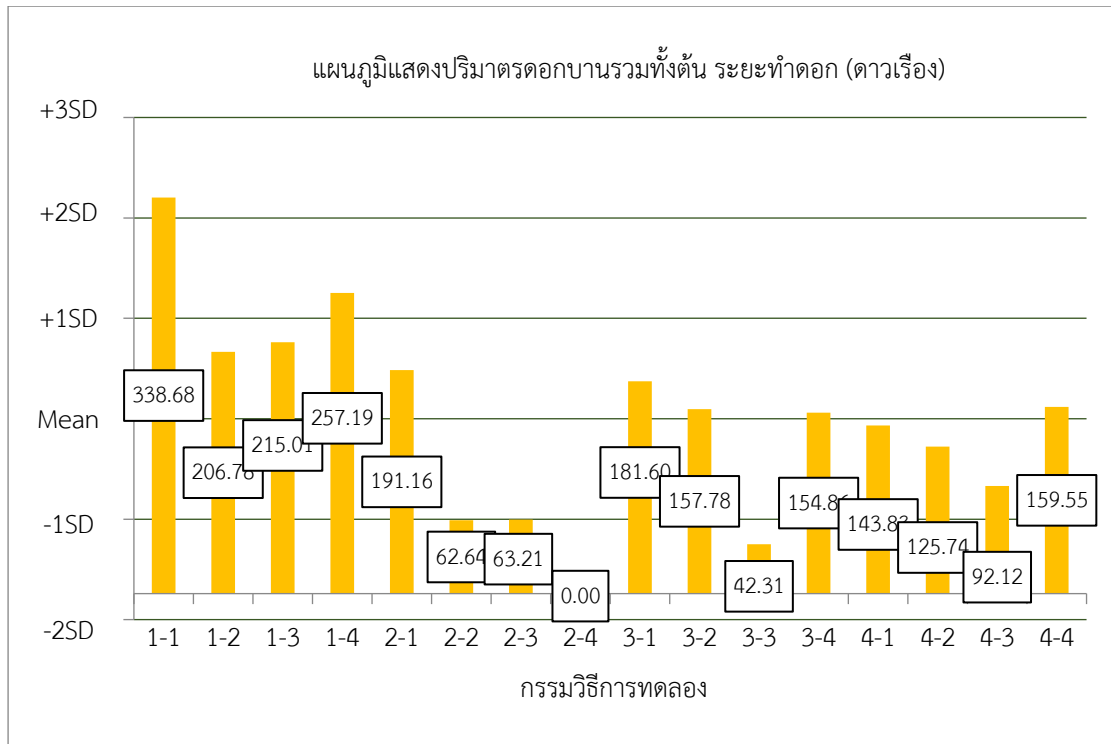
ภาพที่ 88 แผนภูมิแสดงเส้นผ่านศูนย์กลางกลางกลางต้น ระยะทำดอก (ดาวเรือง)



ภาพที่ 89 แผนภูมิแสดงจำนวนการแตกกิ่ง ระยะทำใบ (ดาวเรือง)



ภาพที่ 90 แผนภูมิแสดงจำนวนการแตกกิ่ง ระยะทำดอก (ดาวเรือง)



ภาพที่ 91 แผนภูมิแสดงปริมาณรดอกบานรวมทั้งต้น ระยะทำดอก (ดาวเรือง)

## ประวัติผู้เขียน

ชื่อ-สกุล	จุลพัฒน์ ไม้แก้วธนวัฒน์
วัน เดือน ปี เกิด	5 เมษายน 2535
สถานที่เกิด	กรุงเทพมหานคร
ที่อยู่ปัจจุบัน	1/438 หมู่บ้านเพชรมณฑลกรีน ซอย6 ถนนมาเจริญ แขวงหนองแขม เขต หนองแขม กรุงเทพมหานคร 10160



จุฬาลงกรณ์มหาวิทยาลัย  
CHULALONGKORN UNIVERSITY